

YILDIZ TEKNİK ÜNİVERSİTESİ
FEN BİLİMLERİ ENSTİTÜSÜ

**KAMAŞMA VE KAMAŞMANIN
BELİRLENMESİNDE
KULLANILAN YÖNTEMLERİN
İNCELENMESİ**

Mimar Esra KILIÇ

**F.B.E. Mimarlık Anabilim Dalı Yapı Fiziği Programında
hazırlanan**

YÜKSEK LİSANS TEZİ

Tez Danışmanı : Doç. Dr. Rengin ÜNVER

Istanbul, 1994

İÇİNDEKİLER

TÜRKÇE ÖZET

İNGİLİZCE ÖZET

GİRİŞ

1. GÖRSEL KONFOR ÖLÇÜTLERİ VE KAMAŞMA	2
1.1. Görme Organı Yapısı ve İşleyişi	2
1.2. Gözün Uyması	7
1.3. Görme Alanı	8
2. GÖRSEL ALGILAMA	11
2.1. Karşılık	11
2.1.1. Işıklılık Karşılığı	12
2.1.2. Renk Türü Karşılığı	14
2.2. Karşılığın Algılanması	14
2.3. Görme Keskinliği	17
2.4. Karşılık Geriverim İndeksi	18
3. KAMAŞMA	26
3.1. Kamaşmanın Türleri	27
3.1.1 Konforsuzluk Kamaşması	28
3.1.2 Yetersizlik Kamaşması	29
3.1.3 Körelticici Kamaşma	31
3.1.4 Dolaysız ve Yansımayla Kamaşma	32
3.2. Gün Işığı ve Kamaşma	34
3.2.1 Gün Işığı ve Konforsuzluk Kamaşması	34
3.2.2 Gün Işığı ve Yetersizlik Kamaşması	36
3.2.3 Gün Işığından Ötürü Oluşan Kamaşmaya Karşı Alınabilecek Önlemler	37

4. KONFORSUZLUK KAMAŞMANIN DEĞERLENDİRİLMESİİNDE KULLANILAN YÖNTEMLER	39
4.1. CIBSE Kamaşma İndeksi (GI) Yöntemi	40
4.1.1 Kamaşma İndeksi	41
4.1.1.1 Kamaşma Değişmezinin Hesaplanması	41
4.1.1.1.1 Kamaşma Değişmezi Değerine Göre	
Konforsuzluk Kamaşmasının Değerlendirilmesi	48
4.1.1.1.2 Kamaşma İndeksinin Hesaplanması	49
4.1.1.2.1 Kamaşma İndeksi Değerine Göre	
Konforsuzluk Kamaşmasının değerlendirilmesi	49
4.1.2 Kamaşma İndeksi Hesabının Kolaylaştırılması	50
4.1.2.1 Düzeltilmemiş Kamaşma İndeksinin Hesabı İçin Yapılan Varsayımlar	50
4.1.2.2 Düzeltilmemiş Kamaşma İndeksi	51
4.1.2.3 Belli bir Aydınlatma Aygıtının Düzeltilmemiş Kamaşmaİndeksi Çizelgesinin Oluşturulmasında İzlenebilecek İşlem Sırası ve Bir Örnek	58
4.1.3 Düzeltilmemiş Kamaşma İndeksi Çizelgelerinden Kamaşma İndeksinin Bulunması	7-
4.1.4 UGI ve Dönüşüm Değerlerini Kullanarak Ortamdaki Konforsuzluk Kamaşmasının Belirlenmesi	79
4.2. Görsel Konfor Olasılığı (VCP)	84
4.2.1 Görsel Konfor Olasılığının (VCP) Hesaplanması	85
4.2.1.1 Görsel Konfor Olasılığı (VCP) Değerlerine Göre Konforsuzluk Kamaşmasının Değerlendirilmesi	89
4.2.2 Görsel Konfor Olasılığı (VCP) Yönteminin Kolaylaştırılması	90
4.2.2.1 VCP Çizelgelerinin Oluşturulması için Yapılan Varsayımlar	90
4.2.2.2 Kamaşma Değişmezi Formülünün Yeniden Düzenlenmesi	92
4.2.2.3 VCP Çizelgelerindeki Değerlerin Hesaplanması	102
4.2.2.4 Belli Bir Aydınlatma Aygıtının VCP Çizelgesinin Oluşturulmasında İzlenebilecek İşlem Sırası ve Bir Örnek	111

4.3. Kamaşma İndeksi (GI) ve Görsel Konfor Olasılığı (VCP)	
Yöntemlerinin Karşılaştırılması	128
4.3.1 GI ve VCP Yöntemlerinin Değerlendirilmesi	128
4.3.1.1 CIBSE Kamaşma İndeksi Yönteminin Değerlendirilmesi	129
4.3.1.2 Görsel Konfor Olasılığı Yönteminin Değerlendirilmesi	129
4.3.2 GI ve VCP Yöntemlerinin Karşılaştırılması <i>ve Bir Örnek</i>	130
5. KONFORSUZLUK KAMAŞMANIN DENETİMİ	132
5.1 Dolaysız Konforsuzluk Kamaşmasının Denetimi	133
5.2 Yansımaya Konforsuzluk Kamaşmasının Denetimi	137
6. SONUÇ	139
KAYNAKLAR	141
ÖZGEÇMİŞ	

ÖZET

İnsan dış dünya ile olan ilişkisini büyük oranda görsel algılama aracılığı ile gerçekleştirir. Bundan ötürü, bir ortamda, görsel algılama için gerekli olan iyi görme koşullarının ya da başka bir deyişle, görsel konforun sağlanması büyük önem taşır.

İyi görme koşulları ise ortamda oluşturulan aydınlığın, nicelik ve niteliğine bağlıdır. Bu çalışmada, bir ortamda, görsel konfor açısından, varlığı kabul edilemez olan kamaşma türleri ve kamaşmanın değerlendirilmesi konuları incelenmiştir. Ancak, konunun daha iyi anlaşılmaması açısından, kamaşmanın oluşumunda önemli birer etken olan, görme organı, işleyiş biçimini ve görsel algılamanın temelini oluşturan, karşılık konularına da değinilmiştir.

Kamaşmanın oluşumunu inceleyerek, buna bağlı olarak yapılan değerlendirmeleri ve alınabilecek önlemleri kapsayan bu çalışma 5 bölümden oluşmaktadır.

1. bölümde, kamaşma olayının oluşmasında büyük bir etken olan, görme organı ve özellikleri incelenmiştir.
2. bölümde, görsel algılamanın koşulu olan ancak, belirli sınırları geçmesi durumunda, kamaşmaya neden olan karşılık konusuna değinilmiştir.
3. Bölümde ise, 1. ve 2. bölümde anlatılan, görme organının yapısı ve karşılık konularına bağlı olarak oluşan kamaşma ve kişide yarattığı duyulanmalara bağlı olarak, değişik isimler alan kamaşma türleri incelenmiştir.
4. bölümde, kapalı bir mekanda, yapay ışık kaynaklarının kullanılması durumunda, olası kamaşmanın sayısal değer olarak hesaplanması için, çeşitli ülkelerde kullanılan yöntemlerden, "CIBSE kamaşma indeksi (GI)" ve "görsel konfor olasılığı (TCP)" yöntemleri, incelenmiş ve karşılaştırılmıştır.
5. bölümde ise, oluş nedeni ve biçimini bilinen kamaşmaya karşı alınabilecek önlemlerle ilgili ana ilkeler ortaya konulmuştur.

SUMMARY

Humans realize their interaction with the outer world by visual perception to a great extend. Hence, it is very important that conditions for comfortable vision should exist in an environment.

Conditions for comfortable vision heavily depends on the quality of illumination in the environment. In this study, glare which is unacceptable in an environment from the visual comfort point of view, its types and evaluation of glare have been examined. For the sake of being more explicit, visual organ -a major factor for glare, its method of operation, and concept of contrast which forms the basis of visual perception have been emphasized.

This study examines the formation of glare, the methods of evaluation based on the formation, and possible precautions that could be taken. The study consists of 5 sections.

In the first section, visual organ -a major factor for the formation of glare, and its properties have been investigated.

In the second section, concept of contrast which is a must for visual perception, which also causes glare in the case of exceeding some defined limits, have been emphasized.

In the third section, glare caused by the anatomy of the visual organ and the concept of contrast as described in the first two sections have been investigated. The different types of glare that are named differently according to the impressions they have on humans have been examined.

In the fourth section, methods used in various countries to calculate numerical values for the glare in an environment have been investigated. Among those CIBSE Glare Index (GI) and Visual Comfort Probability (VCP) have been examined and compared in detail.

In the fifth section, main principles concerning the precautions against the glare of which reason and formation is well defined, have been put forward.

GİRİŞ

İnsan, dış dünyası ile olan ilişkisini duyu organları aracılığı ile gerçekleştirir. Görme organı ise bu ilişkinin kurulmasında %90 gibi büyük bir paya sahiptir. Yani, çevremizden haberdar olmamız, büyük oranda görsel algılama aracılığı ile gerçekleşir.

Göz, çevredeki nesnelerden yansiyarak gelen ışık erkesini, sinirsel uyartılar biçimine dönüştürerek beyne ileter. Beyin, belleğinde yardımıyla, gelen uyartıların nicelik ve niteliğine bağlı olarak bir yargıya varır. Gelen uyartıların nicelik ve nitelikte, yeterli ve doğru olması, yargı işlemini kolaylaştırdığı gibi, yargının doğruluğunu da etkiler.

Bir ortamda görsel konforun, ortamdaki aydınlığın niteliğinden ötürü zedelenmesi, yapılan işlevin niteliğini bozduğu gibi, çalışan kişilerin ruhsal ve fiziksel sağlığını da doğrudan etkiler.

Genelde ortamdaki aşırı ışıklılık ayrımlar sonucu oluşan ve görsel konfor ölçütlerinden biri olan kamaşma ise, o ortamda görsel konfor olumsuz olarak etkileyen en önemli etkenlerden biridir. Bundan ötürü kamaşma, bir ortamda aydınlığın niteliği açısından varlığı kesinlikle kabul edilemez bir olgudur.

Kamaşma, görsel algılamayı bozduğundan ve zorlaştırdığından ötürü önlenmesi gereklidir. Ancak, kamaşma kişilerin duyulanmasına bağlı olan öznel bir olgu olduğundan hesaplanması basit ve kesin değildir. Bu nedenle, bir ortamda oluşan kamaşmanın değerlendirilmesi için geliştirilen yöntemler birbirlerinden oldukça değişiktir.

Bu çalışmanın amacı, kamaşmaya neden olan etkenleri inceleyerek, kamaşmanın oluşumuna bağlı olarak alınabilecek önlemleri ilkeler halinde ortaya koymak ve yapay ışık kaynaklarının neden olduğu kamaşmanın değerlendirilmesinde, yaygın olarak kullanılan iki yöntemi inceleyerek karşılaştırmaktır.

Kamaşmanın değerlendirilmesinde kullanılan yöntemlerin incelenmesi ve alınabilecek önlemlerin belirlenebilmesi içinse, kamaşma konusunun temel özelliklerin bilinmesi gereklidir. Bundan dolayı kamaşmanın en önemli iki nedeninden biri olan gözün yapısı ve işleyisi 1. bölümde, karşılık ve görsel algılama konuları da 2. bölümde, kapsamlı olarak incelenmiştir.

I GÖRSEL KONFOR ÖLÇÜTLERİ VE KAMAŞMA

Aydınlığın niceliği, görsel konforun sağlanması için önemli bir öğe olmakla birlikte, asıl önemli olan, oluşturulan aydınlığın niteliğidir. Çünkü, çoğu kez ortamda yeterli aydınlığın sağlanmasına karşın, aydınlatma tekniği açısından var olan eksik ve hatalardan yanı, aydınlatmanın biçimindeki bozukluklardan ötürü, sözkonusu ortamda iyi görme koşulları sağlanamamaktadır.

Görsel konforun sağlanmasıının iki genel ölçütten biri olan *aydınlığın niceliği*, aydınlığın azlığını çokluğunu belirten tek boyutlu basit bir kavram olmasına karşın *aydınlığın niteliği*,

- aydınlığın dağılışı,
- durağanlığı,
- devingenliği,
- oluşturduğu gölgenin biçimini,
- aydınlığı oluşturan ışığın rengi,
- alansal yapısı,
- yayılıklık oranı,

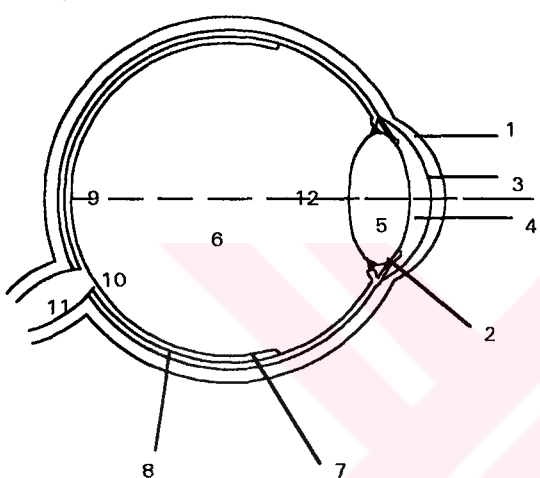
gibi birçok ögesel kavramı ve tanımı içeren oldukça karmaşık ve zor anlaşılır bir kavramdır.(Sirel Ş., Aydınlatmayı Aydınlatma adlı makaleden)

Bir ortamda özenle ve yukarıda sıralanan görsel konfor ölçütlerini göz önüne alarak oluşturulan aydınlığın, mekanın kullanma amacına, mimari karakter ve uslubuna, görünür kıldığı nesnelerin biçimsel, renksel ve dokusal özelliklerine uyması, onları gözlemciye en doğru, en güzel biçimde ve gerçek özellikleri ile göstermesi, bu özelliklere, üsluba ve karaktere yabancı kalmaması ve onu zayıflatmaması gereklidir. Ayrıca, oluşturulan aydınlık ile, görülmesi gereken ayrıntıların rahatça görülmESİ, bunların uzun süre yorulmadan incelenmesi, bu aydınlığın, kişide fizyolojik ya da psikolojik zararlı birikimlere neden olmaması gereklidir. Bir ortamda yapılan aydınlatma düzeni ile oluşturulan aydınlık ile ilgili gerçekleşmesi beklenen ve gereken tüm bu koşullar, aydınlığın nitelğini, yani görsel konfor ölçütlerini belirleyen en önemli etkenlerdir.

Görsel konfor ölçütlerinden biri olan aydınlığın dağılışı ile ilgili, ortamdaki aşırı ıshıklılık ayrımları, sonucu oluşan **kamaşma** ise, o ortamda görsel konfor olumsuz olarak etkileyen en önemli etkenlerden biridir. Kamaşma konusunu incelemeye başlamadan önce, oluşumunun en önemli etkenlerinden biri olan, görme organı ve işleyişi aşağıdaki bölümde ele alınmıştır.

1.1. Görme Organı Yapısı ve İşleyışı

Görme organı; göz, görme sinirleri ve beyinden oluşan, gelen ışık uyartılarını sinirsel uyarmalar biçimine dönüştüren ve bunlardan bir yargıya varan sistemin bütünüdür. (Sirel S.. Aydınlatma Terimleri Sözlüğü 1984) Göz, görme organının, içinde dış dünyayı görüntüsünün oluştugu ve bu görüntünün sinirsel uyarmalara dönüştüğü başlangıç parçasıdır. Gözün yapısı ise, aşağıdaki gibidir. (Ünver R.. Parıltı ve Işıklılık Terimlerinde Tarihsel Gelişme ve Bugünkü Tanımlar. 1990)



Şekil 1.1 - Gözün şematik kesiti

- 1 Saydam tabaka
- 2 İris
- 3 Gözbebeği
- 4 Ön oda
- 5 Mercek
- 6 Camsı sıvı
- 7 Ağtabaka
- 8 Göz akı
- 9 Sarı leke ve fovela
- 10 Kör nokta
- 11 Görme sinirleri
- 12 Göz eksenİ

1) **Saydam tabaka:** Gözün en dışında bulunan ve gözü çevreleyen bu katman, sert bir yapıya sahiptir. Gözün ön kısmına doğru saydam bir yapıya bürünür.

2) **İris:** Gözbebeğinin çapını değiştirir.

3) **Gözbebeği:** Bakılan nesnelerden göze gelen ışığın, niceliğini denetler. Daire şeklinde olan bu açıklık, gelen ışığın niceliğine bağlı olarak büyür veya küçülür. Bu dairenin çapı, 2-8 mm arasında değişebilir. Yani, yüksek ışıklılık düzeylerinde 2 mm, düşük ışıklılık düzeylerinde ise 8 mm kadar olabilir.

4) **Ön oda :** Gözbebeğinin hemen önünde olan bir tür koruyucu tabakadır.

5) **Mercek:** Bakılan nesnenin uzaklığuna bağlı olarak, bir takım kaslarının yardımı ile fiziksel biçimini ve dolayısıyla odak uzaklığını değiştirir ve bakılan nesnenin netlik ayarını yapar. Normal bir insan gözü, 15 cm den sonsuza kadar net görebilir.

6) **Camsı sıvı:** Göz boşluğunu doldurur ve çok saydam bir yapısı vardır.

7) **Ağtabaka:** Gözün arka tarafını kaplayan oldukça ince ve saydam bir tabakadır. Ağtabaka, üzerine gelen ışık erkesini, fotoelektrik olaylar sonucu, sinirsel uyartılar biçimine

dönüştürür. Işığın, sinirsel uyarılar biçimine dönüşmesi, niceliğine bağlı olarak değişik alıcılar tarafından gerçekleşir. Biçimlerinden dolayı, *sopacıklar ve koniler* olarak adlandırılan bu alıcıların, işlevleri de biçimleri kadar birbirinden ayırdır.

Sopacıklar, ışığa çok duyarlı olan ve fotokimyasal özellikleri iyi bilinen *görsel mor* adlı bir özdeksidir. Bu özdeksidin nedeniyle ışığa duyarlılıklarını çok fazladır. Sopacıklar üzerinde yapılan araştırmalar, ağıtabaka en duyarlı durumda iken, bir ya da iki ışık tanecikinin, bir sopaciği kimyasal yönden etkilemesi ile ışık duyulanının olduğunu göstermiştir. Işığa bu kadar çok duyarlı olan sopacıkların, renkleri algılama yeteneği yoktur, yani, sopacıklarla çevremizi, siyah beyaz film gibi görürüz. Sonuç olarak aydınlichkeit düzeyi düşük iken, başka bir deyişle, ışıklılık düzeyleri 10^{-5} ile 0.5 asb arasındayken, yalnız, renklere karşı duyarlılığı olmayan sopacıklar çalışır. Sopacıklar aracılığı ile görmeye *gece görmesi* denir.

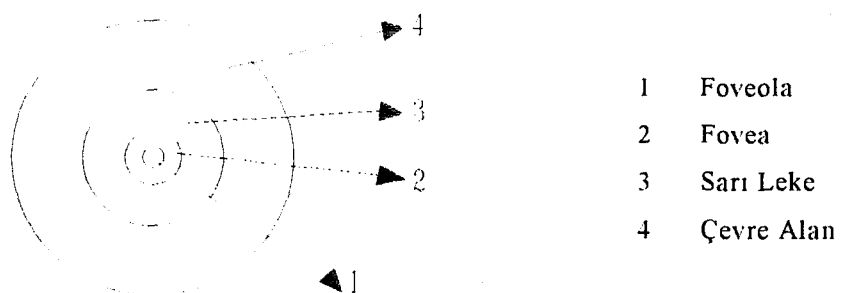
Konilerde ise görsel mor ya hiç yoktur ya da o kadar azdır ki, bunların bir duyulanma yaratılmasına için ağıtabakaya düşen ışığın niceliğinin, belli bir düzeyin üzerinde olması gereklidir. Bu alıcılar ise renklere karşı duyarlıdır ve ayrıntılarının algılanması bunlar aracılığı ile olur. Aydınlichkeit düzeyi orta ve yüksek iken, başka bir deyişle, ışıklılık düzeyleri 10 ile 10.000 asb arasındayken, yalnız koniler çalışır. Koniler aracılığı ile görmeye, *gündüz görmesi* adı verilir.

Birbirinden değişik biçimleri olan, ve değişik aydınlichkeit düzeylerinde çalışan koni ve sopacıkların duyarlı olduğu ışıklılık sınırları aşağıdaki gibidir. (W. Köhler, Lichtarchitectur)

$10^{-5} - 10^{-4}$	asb arası	: Sopacıklarla görme alt sınırı
0.05 - 0.5	asb arası	: Sopacıklarla görme üst sınırı
0.5 - 10	asb arası	: Koni ve sopacıklarla birlikte görme
10 - 12	asb arası	: Yalnız koniler çalışır.
200 - 10 000	asb arası	: En iyi görme koşulu

Koni ve sopacıkların, ağıtabaka üzerindeki dağılımları da ayırmaktadır. Ağıtabakanın tam ortasında ve göz ekseninin ağıtabakayı kestiği noktada, 0.3 mm çapında yalnızca konilerin bulunduğu *Foveola* olarak adlandırılan bölge bulunur. *Foveola*'nın çevresinde yaklaşık 0.4 ile 0.8 mm çapında *Fovea* ya da *Fovea Merkezi* adı verilen bölüm bulunur. *Fovea*'da, hemen hemen yalnız koniler bulunur. Burası, en net ve ayrıntılı görme alanıdır. *Fovea*'nın çevresinde, yaklaşık 2mm çapında, sarı renkli *Sarı Leke* adlı bölüm bulunur. *Fovea*'dan uzaklaşıkça, konilerin sayısı azalırken sopacıkların sayısı artar. Sarı lekenin çevresinde ise,

konilerin az sopacıkların çok sayıda olduğu ve *Cevre Alan* olarak adlandırılan ağıtabaka bölümü bulunur. (Bkz. Şekil 1.2.)



Şekil 1.2. - Koni ve sopacıkların ağıtabaka üzerindeki dağılımı

Herhangi bir ayrıntıyı görmek istediğimizde gözümüzü o noktaya dikip, başımızı sabit tutarak, görüntünün fovea üzerine düşmesini sağlarız. Böyle bir durumda, aydınlatma düzeyi azaltılacak olursa bu bölgede sopacıklar bulunmadığından baktığımız ayrıntıyı göremeyiz. Bu durumda bakışımızı hafifçe çevirirsek ($5^\circ \sim 6^\circ$) görüntü, sopacıkların daha yoğun olduğu bölgeye düşeceğinden ayrıntıyı yeniden algılayabiliriz.

Koni ve sopacıkların, nicelikleri ve sinirlere bağlanma biçimleri de aynı değildir. Ağıtabakada yaklaşık olarak 120 - 125 milyon sopacık, 6.5 - 7 milyon koni bulunmaktadır. Bunlar bir milyon sinir lifi ile görme merkezine bağlanmıştır. Fovea'daki tüm konilerin her biri ayrı sinir lifi aracılığıyla, görme merkezine bağlanır. Fovea'dan uzaklaşıkça bir sinir lifine bağlanan koni ve sopacık sayısı artar, hatta, çevre alanda 100 sopacığın aynı sinir lifine bağlı olduğu bölgeler vardır.

Buradan da anlaşılabileceği gibi, fovea'da bulunan her koni bir sinir lifi ile görme merkezine bağlılığı için, bakılan nesnenin görüntüsü bu bölgede oluştuğunda en net algılama gerçekleşir. Oluşan görüntü bu sınırların dışına çıktııkça, bir sinir lifine bağlanan alıcı hücre sayısı arttıkından, algılanan görüntünün netliği de bozulur.

Özetle, ağıtabaka üzerinde bulunan ve ışık erkesini sinirsel uyarılar biçimine dönüştüren, sopacıklar, düşük aydınlatma düzeylerinde, çalışırlar. Sopacıklar, nesnenin renksel özelliklerini algılayamadıkları gibi, ayrıntıları algılama nitelikleri de düşüktür. Koniler ise, orta ve

yüksek aydınlichkeit düzeylerinde çalışır. Renk ve ayrıntıları algılama, bu hücreler aracılığı ile gerçekleşir.

- 8) **Göz akı :** Ağtabakayı ve camlı sıvıyı çevreleyen katmandır.
- 9) **Sarı leke ve fovea :** Ağtabakada bulunan alıcı hücrelerden, ayrıntılı algılamayı gerçekleştiren konilerin bulunduğu bölge dir.
- 10) **Kör nokta :** Görme sinirlerinin, ağtabakaya birleştiği noktadır. Bu noktada görsel algılama olmaz.
- 11) **Görme sinirleri :** Ağtabaka tarafından, algılanan uyarıları, beyne ileten sinirlerdir.
- 12) **Görme ekseni :** Bakılan nesne ile foveayı birleştiren doğrudur. Bu eksen, ayrıca bakış doğrultusunu da belirler.

Yukarıda belirtilen, bölümlerden ve beyinden oluşan görme organının işleyışı ise kısaca aşağıdaki gibi açıklanabilir. Nesnelerden göze gelen ışık, bir tür koruyucu olan, *sayıdam tabakadan* geçtikten sonra, açılığı *iris* tarafından denetlenen *gözbebeğine* gelir. Çapı, 2 ile 8 mm arasında değişen gözbebeği, bu hareketi ile, içeriye giren ışığın nicelliğini denetler. Niceliği belli ölçülerde denetlenen ışık, koruyucu bir tabaka olan *ön odadan* geçtikten sonra, merceğe gelir. ışık, *mercekten* geçerken, bakılan noktanın uzaklığuna bağlı olarak kırılır ve ağtabaka üzerine düşer. ışık, ağtabakaya gelmeden önce, göz boşluğunu dolduran, saydam, ancak heterojen yapısından ötürü görüntünün tam olarak odaklanmasına engel olan *camlı sıvıdan* geçer. Tüm bu katmanlardan geçen ışık, *ağtabakaya* gelir.

Ağtabakaya gelen ışık, niceligine bağlı olarak, sopacıklar veya koniler aracılığı ile algılanarak beyne iletilmeye uygun bir biçimde dönüştürür. Dönüşüm işleminin bitmesiyle görme organının, başlangıç bölümü olan gözün işlevi sona erer. Beynin algılayacağı biçimde dönüşen ışık erkesi, daha sonra, görme sinirleri aracılığı ile, beynin, görme ile ilgili merkezine iletilir. Beynin görme merkezi ise, gelen uyarılara göre belleğin de yardımıyla bir yargıya varır ve böylece görme olayı tamamlanır.

1.2. Gözün Uyması

Yaşayan organizmaların karşılaştıkları ortam değişikliklerine alışma özelliklerine, bilimsel dilde *uyma (adaptasyon)* adı verilir (Sirel Ş..Aydınlatma Terimleri Sözlüğü 1984). Gözün ise:

- 1) renksel uyma ve
 - 2) ışıklılık uyması
- olmak üzere iki tür uyması söz konusudur.

Gözün renksel uyması:

Gözün renksel uyması, ağtabakada yer alan alicıların, ışığın dalga boyuna, başka bir deyişle, renklere olan duyarlılıklarını değiştirmesi sonucu oluşur. Bu, bir bakıma renklere alışma biçiminde düşünülebilir. Gözün renksel uyması, nesnenin görünen renksel doymuşluğuna duyarlığını azaltması olarak da tanımlanabilir. Gözün renksel uyması, bu çalışmanın kapsamına girmediği için, bu konu kapsamlı olarak incelenmemiştir.

Gözün ışıklılık uyması :

Gözün ışıklılık uyması, genel olarak, karanlığa alışma, karanlıkta ya da karanlıktan aydınlığa çıktıduğunda görmeye başlama, aydınlığa alışma biçiminde tanımlanır.

Göz birbirinden çok değişik aydınlichkeitlerinde çevresini algılayabilir. Buna, kişinin, açık, güneşli bir günde ve ay ışığı altında - aynı nitelikte olmasa da - çevresini algılayabilmesi, örnek olarak verilebilir. Bu iki değişik koşulda, ortalama aydınlichkeit düzeyleri arasındaki oran, bir milyon kadardır. Buradan da anlaşılabileceği gibi görme organı, aralarında, büyük ışıklılık ayırmaları olan ortamlarda, çevresini algılama yetisindedir ve bu yeteneğine, *gözün ışıklılık uyması* denir.

Gözün ışıklılık uyması, değişen ortam ışıklılıklarının oranına bağlı olarak, gözbebeği ve ağtabaka, olmak üzere görme organının iki ayrı bölümünde oluşur.

1) Gözbebeğinin ışıklılık uyması:

Gözbebeğinin, ortamın değişik ışıklılıklarına uymak, için büzülüp genişlemesidir. Gözbebeğinin çapı, değişik ışıklılıklar altında 4 kat, yani yüzey alanı olarak 16 kat değişebilir. Bu değişim, ışıklılıklar arasında çok büyük ayırım olmadığı durumlarda, görsel algılama için yeterlidir. Ancak, karanlıktan, yüksek aydınlığa çıkışması gibi, ışıklılıkların çok büyük değişim gösterdiği durumlarda, gözbebeğinin hareketleri, görsel algılamanın gerçekleşmesi için yeterli değildir. Bu durumda, gözün çevreyi algılaması, ağtabakanın ortama uyması ile gerçekleşir.

2) Ağtabakanın ışıklılık uyması

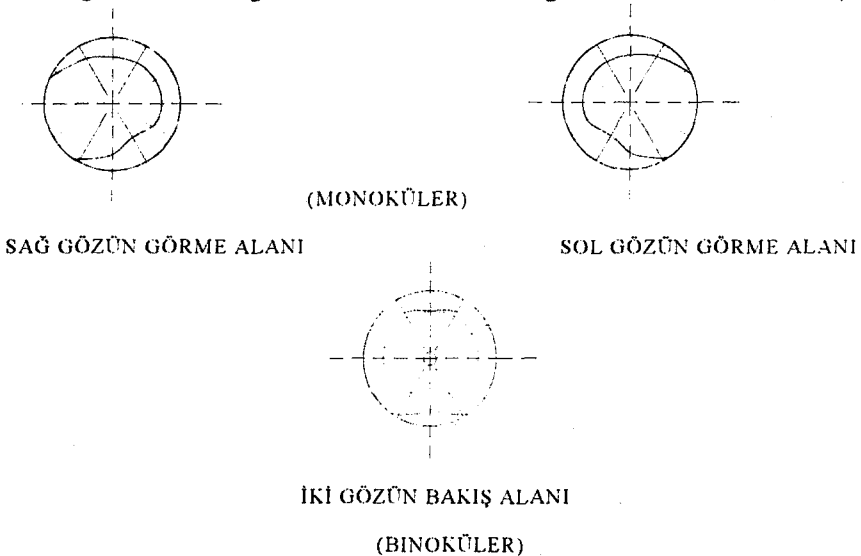
Karanlıktan aydınlığa ya da aydınlıktan karanlığa geçmek gibi, ortamların ışıklılıklarında ani ve büyük değişimlerin olması durumunda, görme organının, yeni ortamda çevresini algılaması değişik sürelerde (zaman dilimlerinde) gerçekleşir. Geçen süre içinde, ağtabakada görsel algılamayı gerçekleştiren, alıcı hücrelerin türü değişir. Bunun sonucunda, görsel algılamanın gerçekleşmesine ise, *ağtabakanın ışıklılık uyması* denir. Ağtabakanın ışıklılık uyması, gözbebeğinin ışıklılık uymasına göre, daha ağır ve de zor gerçekleşen ve günlük hayatta daha az karşılaşılan bir durumdur.

Görme organı devamlı olarak ortamın genel ışıklılığına uymaya yapmaya çalıştığından, görme alanında bulunan ışıklılıkların dağılımı, yukarıda anlatılan gözün ışıklılık uyması bakımından büyük önem taşır.

1.3. Görme Alanı

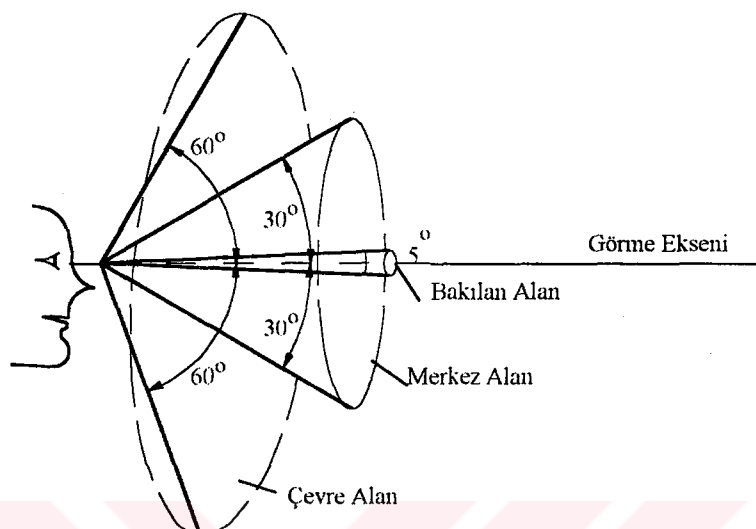
Görme alanı, gözün, hareket etmediği durumlarda görebildiği noktaların tamamıdır. Bu alan, gözün tepe noktası olduğu ve açısı yaklaşık 120 derece olan bir koninin, kaş ve burunla sınırlanan eğri tabanıdır.

Sağ ve sol gözün birbirinden farklı görme alanları vardır. Bir gözle görülen alana *monoküler* görme alanı, iki gözle birlikte görülen alana *binoküler* görme alanı denir. (Bkz Şekil 1.3)



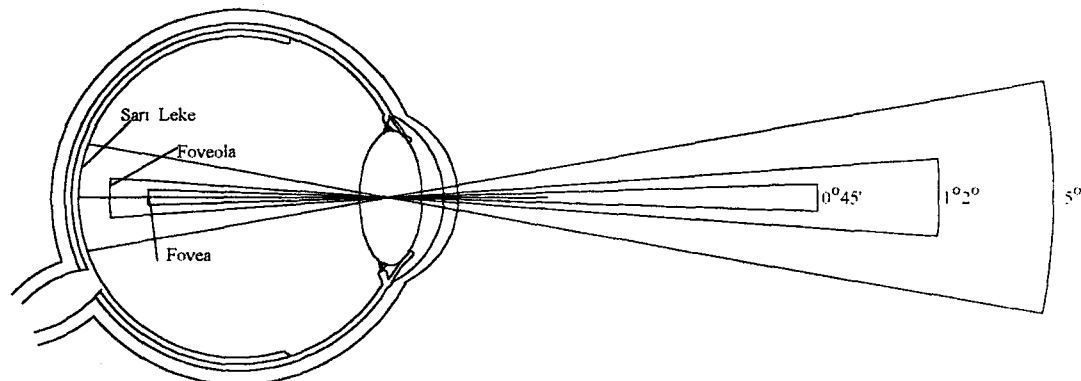
Şekil 1.3.-Sağ sol ve iki gözün beraber görme alanı (Robbins, Daylighting Design and Analysis, 1986)

Görme alanın her yerinde görüntüyü algılama niteliği aynı değildir. Görme niteliğine bağlı olarak, söz konusu koninin içinde, içice ve birbirini kesmeyen bir takım koniler bulunur. Bu konilerin tepe açıları, görme açılarını oluşturur.(Bkz. Şekil 1.4)



Şekil 1.4.- Görme alanının sınırlarını belirleyen görme açıları (Sirel Ş., Konutlarda Sun'i Aydınlatma 1974)

Söz konusu açıları, sopacık ve konilerin ağtabaka üzerindeki yerleşimi belirler (Bkz. Şekil 1.5). Görme açısı küçük iken, yani görüntü fovea'nın üzerindeyken ayrıntılı görme gerçekleşir. Açı büyündükçe, görüntü foveanın dışına çıkar ve görüntünün netliği bozulur.



Şekil 1.5. - Ağtabakada yer alan bölgeler ve bunların görüş açıları.(Ünver R.. Parıltı ve İşıklılık Terimlerinde Tarihsel Gelişme ve Bugünkü Tanımlar, 1990)

Buradan da anlaşılabileceği gibi, bakılan nesne, görme alanında merkezden kenara doğru gittikçe, algılanan görüntünün netliği bozulur.

Örneğin, gözümüz hareketsizken, görme ekseninde tutuğumuz bir kalemi, gözüümze çok yaklaştırsak kalemin tümünü net bir şekilde göremeyiz. Kalem gözüümzden uzaklaştıkça, bütünüünü net bir şekilde görürüz. Bunun nedeni, kalem gözüümze çok yakın olduğunda ağtabaka üzerinde oluşan görüntünün foveanın dışına çıkmasıdır. Bu örnekten de anlaşılabileceği gibi, büyülüğü görme açıları ile değişen görme alanı, ayrıca nesnenin gözden uzaklığına bağlı olarak da büyür veya küçülür.



2. GÖRSEL ALGILAMA

Nesneden yansıyarak veya geçerek nicel ya da nitel değişimlere uğrayan ışığın, göze gelmesi, ağıtabaka aracılığıyla sinirsel uyarılar biçimine dönüştürülmesi ve bunların beynin ilgili merkezine gönderilmesi sonucu gerçekleşen *görsel algılama*, görme organı, ışık ve nesne üçlüsünün varlığına bağlıdır.

Ancak, görme olayı için gerekli olan bu koşul, her zaman görsel algılamanın gerçekleşebilmesi için yeterli değildir. Örneğin, düzgün olarak aydınlatılmış, beyaz bir zemin üzerindeki, beyaz bir kağıttan göze ışık uyarıları gelmesine karşın, kağıt görsel olarak algılanamayabilir. Bunun nedeni, ağıtabakada tamamen düzgün yayılmış bir aydınlichkeit olması ve bunların sinirsel uyarılar olarak bir ayrımlı göstermemesi, bunun sonucunda da beynin, kağıdı ve çevresini, beraber ve aynı olarak değerlendirmesidir.

Sonuç olarak, **görsel algılama**, görme alanındaki nesnelerin, görme olayı sonucu varlıklarının anlaşılmasıdır. Eğer, görme alanındaki değişik bölgelerden, göze gelen ışıkta nicel veya nitel herhangi bir ayrımlı yoksa, yani, bakılan alan ışıklılık ve renk türü bakımından bir bütün oluşturuyorsa, ve bu durum zaman içinde değişmeyorsa, görsel algılamadan bahsedilemez.

Buradan da anlaşılabileceği gibi, görsel algılamanın gerçekleşebilmesi için, görme alanında, ışıklılık ve/ ya da renk türü bakımından ayrımlar olmalıdır. Görme alanında bulunan bu tür ayrımlara ise *karşılık* denir.

2.1. Karşılık

Karşılık özneli olarak; özellikle, mekan ya da zaman içinde, (aynı anda ya da art arda) yan yana duyumsal uyarınlarda, nicel yada nitel bir karşı olma etkisi olarak tanımlanır.

Görme alanı içinde oluşabilecek iki türlü karşılık vardır :

- 1) Işıklılık karşılığı
- 2) Renk türü karşılığı

2.1.1. Işıklılık Karşılığı

Işıklılık karşılığı, nesne ile arkaplan ışıklılıklarının oranıdır ve genellikle aşağıdaki formül ile tanımlanır.(IES Lighting Handbook Ref. Volume. 1984)

$$C = \frac{L_n - L_b}{L_n} \quad (2.1)$$

Burada; L_n : Nesnenin ışıklılığı.

L_b : Arkaplanın ışıklılığı.

olarak gösterilmiştir.

Örneğin, ortalama aydınlatma düzeyi 300 lm/m^2 olan beyaz ($r= 0.9$) bir masanın üzerindeki orta grilikteki ($r= 0.6$) bir nesnenin karşılığı aşağıdaki gibi hesaplanır.

1- Nesnenin ışıklılığı $L_n = 0.6 \times 300 = 180 \text{ asb}$

2-Araplanın ışıklılığı $L_b = 0.9 \times 300 = 270 \text{ asb}$

3- Karşılık $C = \frac{180 - 270}{180} = 0.5$

Yani, ışıklılığı 180 asb olan nesnenin, ışıklılığı 270 asb olan arkaplan ile karşılığı % 50 dır.

Genel olarak ışıklılık karşılığı yukarıdaki formül ile tanımlanmasına karşın, ışıklılığın tanımından dolayı, özel durumlar için değişik formüller de yazılabilir. Işıklılık, yüzeylerin yansıtma çarpanları ile üzerinde bulunan aydınlatma düzeyinin çarpımı ($L = E \times r$) olduğuna göre; karşılık, nesne ve arkaplanın yansıtma çarpanına ya da aydınlatma düzeyine bağlı olarak da tanımlanabilir. Bu durumda,

- Eşit aydınlatma düzeyleri ve değişik yansıtıcılıklar için, karşılık,

$$C = \frac{r_b - r_k}{r_b} \quad (2.2)$$

formülü ile gösterilir.(IES Lighting Handbook Ref. Volume. 1984)

Burada; r_b : Büyük yansıtma çarpanı.

r_k : Küçük yansıtma çarpanıdır.

Örneğin yukarıdaki formül uyarınca, beyaz kağıdın ($r = 0.80$) üzerindeki siyah boyanın ($r = 0.05$) karşılığı.

$$C = \frac{0.8 - 0.05}{0.8} = \frac{0.75}{0.8} = \%94 \text{ dır.}$$

• Eşit yansıtıcılık ve değişik aydınlatık düzeyleri için karşılık;

$$C = \frac{E_b - E_k}{E_b} \quad (2.3)$$

formülü ile gösterilir.

Burada: E_b : Yüksek aydınlatık düzeyi.

E_k : Düşük aydınlatık düzeyidir.

Örneğin, açık renkli bir odada, oda ile aynı renkte bir masa, üzerindeki masa lambası ile aydınlatılmış olduğunda ve odada başka ışık kaynağı bulunmaması durumunda, ışık kaynağının, masa kenarına uzaklığı 70 cm ve masanın kenarından görünen döşeme parçasına uzaklığı ortalama 250 cm ise, masanın kenarı ile döşeme arasındaki karşılık söz konusu iki noktanın aydınıkları arasındaki oran uzaklığa bağlı olarak, $70^2/250^2 = 1/3$ olup masanın kenarı, döşemeden 13 kez daha aydınlatır.)

$$C = \frac{13 - 1}{13} = \frac{12}{13} = \%92 \text{ olur.}$$

• Karşılığın hesaplanmasıında kullanılan başka bir formül ise aşağıdaki gibidir.

$$C = \frac{L_q - L_t}{L_q} \quad (2.4)$$

Burada: L_q : Yüksek ışıklılık.

L_t : Düşük ışıklılık dır.

Bu formül, özellikle, siyah çizgili beyaz kağıt gibi, bakanın hedefin nerede bittiği, arkaplanın nerede başladığı belli olmayan düzenler için kullanılır.(IES Lighting Handbook Ref.1984)

2.1.2 Renk Türü Karşılığı

Görme alanı içinde nesne ile arkaplanı arasında, ışıklılık karşılığına ek olarak, görsel algılamayı kolaylaştırın ve hızlandıran renk türü karşıtlıkları da bulunabilir. Renk türü karşılığı özellikle, ışıklılık karşılığının düşük olduğu durumlarda, görsel algılamanın kolaylığı açısından önem kazanır.

Renk türü karşıtlıkları günlük hayatı sürekli olarak yüzeye olduğumuz bir durumdur. Işıklılıkların birbirine yakın olduğu durumlarda, daha da önem kazanan renk türü karşılığının sayısal anlatımı pek olsak olmamakla birlikte, (2.1 nolu) çizelgede renk türü karşıtlıkları büyükten küçüğe doğru sıralanmıştır. (Şerefhanoglu M., Konutlarda Aydınlatma 1972)

Çizelge 2.1 - Renk türü karşıtlıklarının büyükten küçüğe sıralanması

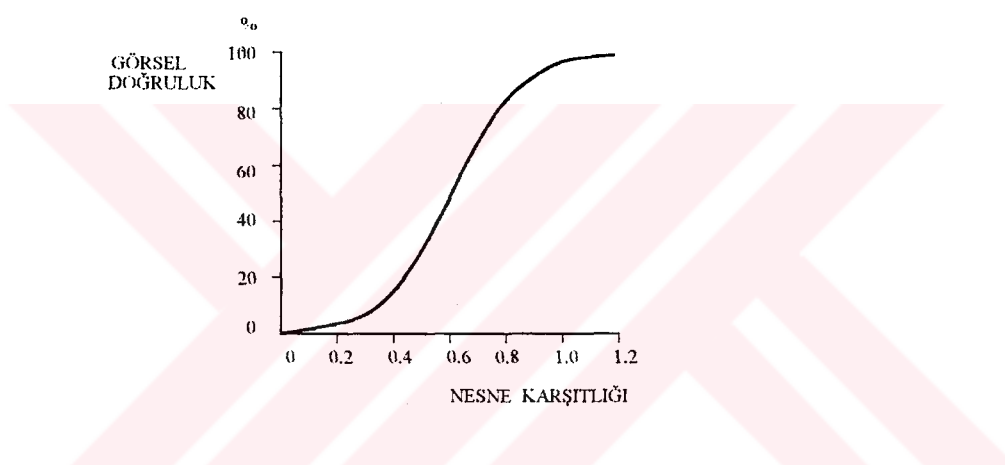
1	Sarı	üzerine	siyah
2	Beyaz	üzerine	yeşil
3	Beyaz	üzerine	kırmızı
4	Beyaz	üzerine	mavi
5	Mavi	üzerine	beyaz
6	Beyaz	üzerine	siyah
7	Siyah	üzerine	sarı
8	Kırmızı	üzerine	beyaz
9	Yeşil	üzerine	beyaz
10	Siyah	üzerine	beyaz
11	Sarı	üzerine	kırmızı
12	Kırmızı	üzerine	yeşil
13	Yeşil	üzerine	kırmızı

2.2. Karşılığın Algılanması

Bölüm 2'de de belirtildiği gibi, görmenin temelini, görme alanında bulunan karşılığın algılanması oluşturur. Görme alanında bulunan karşılıkların niceliği ise, görsel algılamanın hızı ve niteliği ile doğrudan ilişkilidir.

Bu ilişki konusunda yapılan çalışmalarda, görsel algılamanın gerçekleştiği en küçük karşılık değeri ile görsel algılamanın hızı ve niteliğinin birbirini nasıl etkilediği araştırılmıştır.

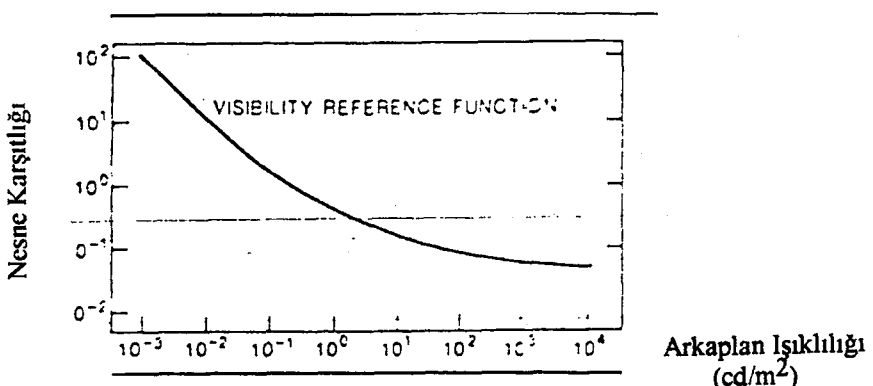
Işıklılığı belli bir arkaplan üzerinde bulunan ve ışıklılığı belirli bir değerde olan nesne, belli bir zaman dilimi içinde, kişiye belli sayıda tekrarlanarak gösterilmiştir. Aynı işlem, arkaplan ışıklılığı ve üzerindeki nesnenin ışıklılığı değiştirilerek, değişik koşullarda birçok kişiye uygulanmıştır. Belli bir bakma süresi içinde, belli ışıklılıkta bir arkaplan üzerinde, sözkonusu nesnenin ışıklılığı değiştirilerek, değişen her yeni koşulda, nesnenin algılanabilme yüzdesini saptamayı amaçlayan bu çalışmalar sonucunda da, şekil 2.1 deki eğri elde edilmiştir.(IES Lighting Handbook Ref.1984)



Şekil 2.1 - Karşılık arttıkça, gösterilme sayısına bağlı olarak, nesnenin doğru olarak görülebilme sayısı artar. Bu artış, nesnenin doğru algılanma sayısı, gösterilme sayısına eşit olana kadar devam eder.(IES Lighting Handbook Ref.1984)

Bu eğriye göre, görsel algılamanın doğruluk yüzdesi, yani, nesnenin her gösterimde doğru olarak algılama sayısı, nesnenin arkaplanla olan karşılığı arttıkça, artmaktadır ve bu artış bakılan nesnenin doğru olarak görülmeye sayısı, gösterim sayısına eşit olana kadar devam etmektedir.

Bakılan nesnenin algılanması, verilen sürenin 1/2'si gibi bir bölümünde gerçekleşiyorsa, bu karşılığa *Eşik Karşılığı (Threshold contrast)* denir. Eşik karşılığı, kişiden kişiye, zamana, nesnenin boyutlarına ve arkaplanın ışıklılığına bağlı olarak ayırmalar gösterir. Eşik karşılığının, arkaplan ışıklılığına bağlı değişimi şekil. 2.2 de görülmektedir.

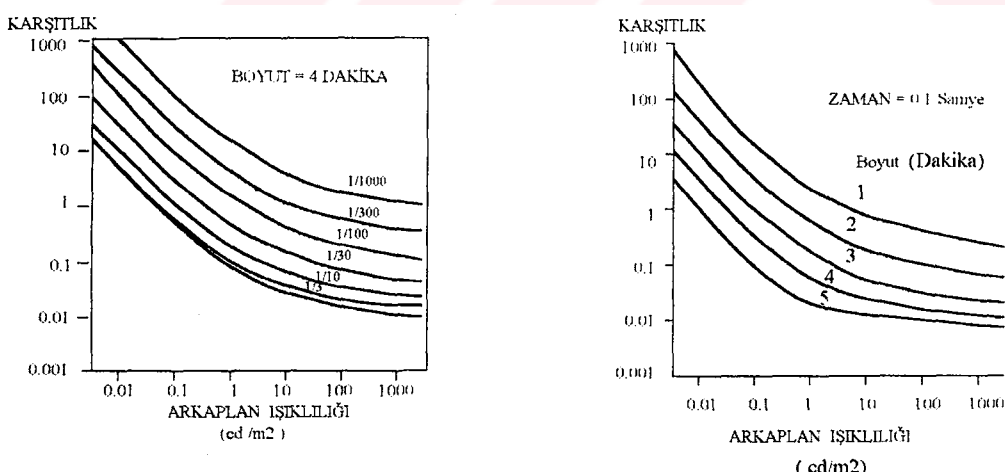


Şekil 2.2 -.Görsel referans eğrisi. (visual reference) 4 dakika büyülüğündeki ışıklı bir diskin 1/5 saniye süre içinde, değişik arkaplan ışıklılıklarında, görülebilmesi için gerekli eşik karşılık değerleri.(IES Lighting Handbook Ref.1984)

Yukarıdaki eğriden de anlaşılabilecegi gibi, arkaplan ışıklılığı arttıkça, görsel algılama için gerekli, eşik karşılığı değeri düşmektedir.

Bu eğrinin biçimini, denetimli ortamlarda ve basit görsel algılama işlevleri için hemen hemen değiştiremezdir. Hatta, bu eğrinin harflerin ya da kelimelerin görülebilmesi gibi, daha karmaşık görsel işlevlerin gerçekleşmesi için de bilgi verebileceği varsayılmaktadır.

Ancak, bakılan nesnenin boyutlarının ve bakma eyleminin süresinin de, nesnenin algılanabilmesi için gerekli karşılık düzeyini etkilediği unutulmamalıdır. Bunların, eşik karşılığını nasıl etkilediği 2.3a ve 2.3b nolu şekillerde görülmektedir.



Şekil-2.3(IES Lighting Handbook Ref.1984)

- a) Aynı boyutta, değişik ışıklılıktaki nesnelerin arkaplan ışıklılığına bağlı olarak değişen eşik karşılığı değerleri
- b) Eşit bakma süresinde, boyutları birbirinin katı olan nesnelerin arkaplan ışıklılığına bağlı olarak değişen eşik karşılığı değerleri

2.3. Görme Keskinliği

Görme alanı içinde bulunan ve görsel algılamanın koşulu olan karşıtlıklar, niceliklerine bağlı olarak, her zaman nesnenin ayrıntılarının algılanmasına yetmez. Yani, her karşılık düzeyi, görme keskinliği için yeterli değildir. Karşılığın niceliği, görsel algılamayı olduğu gibi, görme keskinliğini de doğrudan etkiler.

Görme keskinliği, nitel olarak, birbirine çok benzer gibi görünen iki nesneyi ayrı olarak algılayabilme yeteneği, nicel olarak ise, yine birbirine çok benzer gibi görünen iki nesneyi, gözün ayrı olarak algılayabildiği, en küçük açının dakika türünden değerinin tersidir. (TDK Aydınlatma Terimleri Sözlüğü, 1973)

Örneğin, siyah bir kağıt üzerine, siyah kalemlle yazılan yazı görülemezken, aynı kağıdın üzerine koyu gri kalemlle yazılan yazı, kolay olmasa da okunabilir. Kalemin renksel değeri artıkça, görsel algılama hem kolaylaşır hem de hızlanır. Kalem beyaz olduğunda ise görsel algılama ve keskinlik, kolaylık ve hız bakımından en üst düzeydedir.

Ancak görsel keskinlik, karşılığın algılanması ile karşılaşıldığında, daha karmaşık bir işlevdir.

Görme keskinliğinin iki ayrı bileşeni vardır .

1) *Çözülüm (karar verme) keskinliği*: Görme alanında bulunan iki değişik uyartının, birbirinden ayrı olduğunu algılanabilmesidir. Yani, görme alanında iki tane olan nesnelerin ayrı ayrı görülebilmesidir. İki ayrı nesnenin, iki değişik uyartı olarak algılanabildiği en küçük açı görsel keskinliğin sınırını oluşturur. Bu sınır, özneldir ve ışıklılık, karşılık, bakma süresi, boyut gibi niceliklere bağlı olarak değişiklik gösterir. (IES Lighting Handbook Ref.1984)

2) *Tanımlama keskinliği*: Bakılan nesnenin ayrıntılarının algılanması ve doğru olarak tanımlanabilmesidir. Örneğin, 'C' ve 'G' harflerinin arasındaki ayrılmın algılanması veya bir sekizgen ile bir çemberin birbirinden ayrı olduğunu algılanması gibi. Tanımlama keskinliği, her ne kadar çözüm keskinliği ile aynı gibi görünse de, çözüm keskinliği ile bağlantılı olmayan, karmaşık bir olaydır.(IES Lighting Handbook Ref.1984)

Yukarıdaki bölümlerde ayrıntılı olarak belirtildiği gibi, bir nesnenin görülebilmesi için, ışık ve göz gerekli, ancak, yeterli değildir. Nesneyi görünür kıلان, o ve arkaplan arasındaki renk türü veya ışıklılık ayırmalarıdır. Ancak bu ayırmaların varlığı, görsel algılamanın doğruluğu açısından, her koşul için yeterli değildir. Bir nesnenin ayrıntılarıyla algılanması, yani, görsel keskinlik ise, karşılığının niceliğine, süreye ve bakılan nesnenin boyutlarına bağlıdır.

Bu nedenle, bir nesnenin görülebilirliğini doğrudan etkileyen değişkenler genel olarak aşağıdaki gibi sıralanabilir.(IES Lighting Handbook Ref. 1984)

- 1) nesnenin ışıklılığı
- 2) arka plan ışıklılığı
- 3) karşılık (1 ve 2 nin sonucudur.)
- 4) nesnenin boyutları
- 5) eylemin süresi
- 6) nesnenin bakış doğrultusuyla olan konumu
- 7) nesnenin hareketliliği
- 8) nesne ve arkaplandaki düzgün olmayan ışıklılık

Ayrıca, bakılan nesnenin görünürüğünün iyi olması, yukarıdakilere ek olarak, kişinin dikkatine, bekłentisine ve alışkanlığına da bağlıdır.

Sonuç olarak, bakılan nesnenin arkaplanıyla olan karşılığı azaldığında görme keskinliği düşer ve buna bağlı olarak görsel algılama zorlanır. Bir ortamda bulunan yüzeylerin, yansıtma biçimleri izotrop yayınık yansımıya olmadığı durumlarda ise, nesne karşılığının değerlendirilmesinde *karşılık geriverim indeksinden* yararlanılır.

2.4. Karşılık Geriverim İndeksi

İzotrop yayınık yansımıya yapan nesnelerin (mat) karşılığı, ve buna bağlı olan görünürlüğü, tamamen yüzeylerinin ve önünde bulunduğu arkaplanın ışık yansıtma özelliklerine bağlıdır.

Ancak, mat olmayan, yani, gelen ışığı değişik doğrultulara, değişik oranlarda yansitan yüzey ve nesnelerin, ayrı doğrultudaki karşılıkları ve buna bağlı olarak görünürükleri değişir. Bu tür ortamlarda karşılık, kişinin, nesnenin ve ışık kaynağının konumuna göre değişik değerler alır.

Karşılığın, nesnenin yansıtma özelliklerine bağlı olduğu durumlarda, kişinin nesnenin ya da ışık kaynağının yeri değiştirildiğinde, karşılık değişir. Bunun nedeni, nesnenin ışık yansıtma biçimine bağlı olarak, ışığın her yöne eşit yansımamasıdır. Böyle ortamlarda, değişen her konum için yeni değerler alan, ve bir tür karşılık oranı olan, *karşılık geriverim indeksinden* yararlanılır.(Code for Interior Lighting, 1984)

Karşılık geriverim indeksi (Contrast Rendering Factor, CRF), bir nesnenin karşılık oranıdır. Bu, belirli bir aydınlatma düzenindeki, belirli bir nesnenin, belirli bir bakış doğrultusunda ve belirli bir aydınlatma düzeyi altındaki, ışıklılık karşılığı ile, ölçün ortamda, aynı nesnenin, aynı bakış doğrultusunda ve aynı aydınlatma düzeyi altındaki, ışıklılık karşılığı arasındaki oran olup, 2.6 nolu formülde verilen biçimde hesaplanır.

Sözü edilen ölçün ortamda, ortam yüzeylerinin yansıtma biçimini izotrop yayınıktır ve aydınlatma düzeyi, yüzeylerde tamamen düzgün yayılmıştır. Buradan da anlaşılabileceği gibi, bu tür ortamda bulunan nesnelerin arkaplama ile olan karşılığı, sıradan bir ortamdaki karşılığı ile karşılaştırıldığında, algılama bakımından en üst düzeydedir.

$$\left| \text{CRF} = \frac{C_1}{C_2} \right| \quad (2.6)$$

Burada: C1 : Bakılan nesnenin sözkonusu aydınlatma düzenindeki ışıklılık

karşılığı

C2 : Bakılan nesnenin ölçün ortamının, aydınlatma düzenindeki ışıklılık
karşılığıdır

Yukarıda da belirtildiği gibi, CRF değeri, belirli bir nesne belirli bir bakış doğrultusu ve belirli bir aydınlatma düzenine aittir. Bu ölçütlerden birinin değişmesi, hesaplanan CRF değerini doğrudan etkiler. Yani, ölçütlerden birinin değişmesi ile oluşan her yeni durum için, özellikle izotrop yayınık yansıma yapmayan nesnelerin, karşılık oranını veren, ayrı bir karşılık geriverim (CRF) değeri bulunur.

Sonuç olarak, bakılan nesnenin ışık yansıtma biçimini izotrop yayınık yansımadan, düzgün yansımaya gittikçe ve/ya da ışık kaynağı küçülüp, ışıklılığı arttıkça, bir ortamdaki, olası karşılık geriverim indeksi sayısı artar.

Örneğin, parlak yüzeylerin, küçük ışık kaynakları ile aydınlatıldığı ortamlarda, birbirinden değişik çok sayıda CRF değeri oluşur. Mat yüzeylerin bulunduğu, ve ışıklı tavanlar gibi düzgün yayılmış aydınlichkeit oluşturan kaynakların bulunduğu ortamlarda ise, CRF sayısı oldukça azdır.

CRF değerleri her zaman 0 dan büyük değerler alır. Ancak bu değererin 0'a yaklaşması veya Iden daha büyük değerler alması, nesne karşılığının görsel keskinlik açısından değerlendirilmesinde büyük önem taşır.

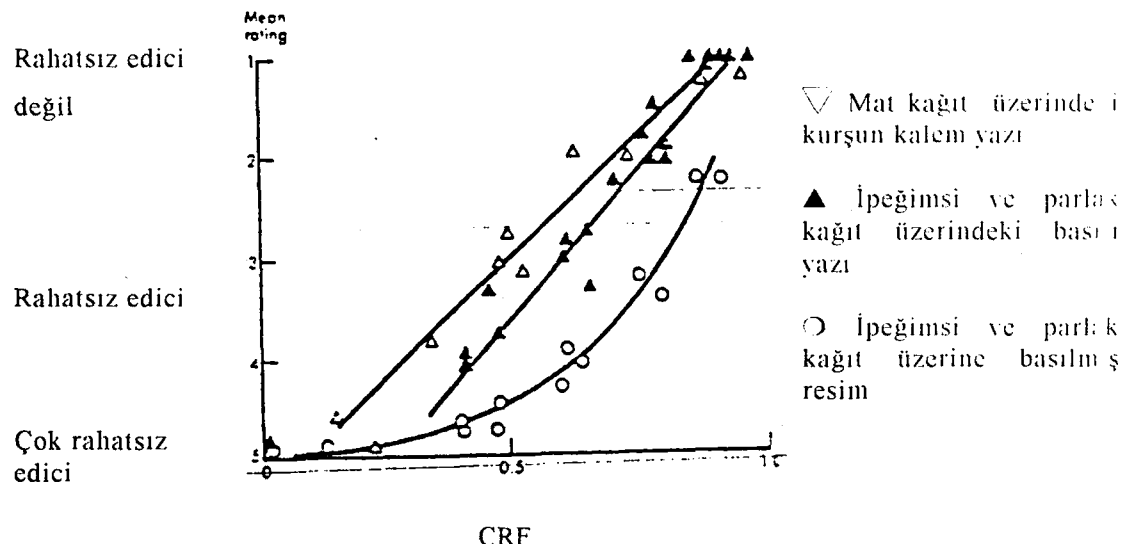
CRF, bakılan nesnenin söz konusu düzen içindeki karşılığı, ölçün düzendeki karşılığından büyük olduğunda, 1 den büyük; bakılan nesnenin söz konusu düzen içindeki karşılığı, ölçün düzen içindeki karşılığı ile hemen hemen aynı olduğunda, 1'e yakın; bakılan nesnenin söz konusu düzen içindeki karşılığı, ölçün düzen içindeki karşılığının daha küçük olduğunda ise, 0 'a yakın değerler alır.

Karşılık Geriverim Değerlerinin Etkileri

CRF, 1 ve 1 den büyük değerler aldığında nesne karşılığı, görsel algılama bakımından, konfor sınırları içindedir. Ancak, CRF 'nin 1 den küçük ve özellikle 0'a yakın olması nesnenin bakılan doğrultudaki ışıklılık karşılığının az olması demektir. Bölüm 2.2 ve 2.3'de anlatıldığı gibi, karşılığın az olması ise nesnenin özellikle ayrıntılarının algılanmasını zorlaştırır veya olaiksız hale getirir. Bu da görsel konfor açısından, olumsuz bir etki yaratır. Bir ortamda CRF'nin düşük değerler alınmasına ise, kusurlu bölgeler ve maskeleme yansımaları neden olur.

Karşılık geriverimi değerinin düşük olması, görsel algılamayı zorlaştırdığından, hem görsel konforu olumsuz etkiler hem de iş veriminin düşmesine neden olur. CRF değerinin düşük olması, çoğu durumda, konumun değiştirilmesi ile iyileştirilebileceğinden önemsiz gibi görünebilir. Ancak, çalışma düzeninin ve bakış doğrultusunun değişmez olduğu ortamlarda büyük önem kazanır.

Değişik yansıtma özellikleri olan nesnelerin çeşitli karşılık oranları için yapılan deneyler ile, kişilerin görsel algılamaları araştırılmış ve sonuçta şekil 2.4 deki eğri elde edilmiştir. (Code for Interior Lighting, 1984)



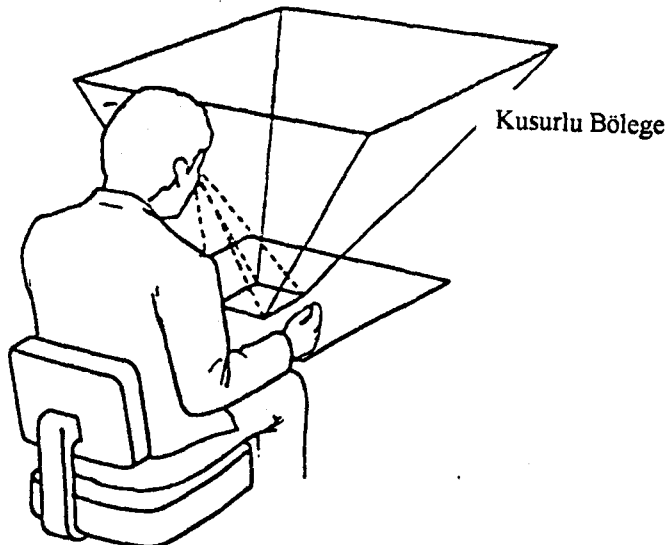
Şekil 2.4 -Değişik karşıtlık geriverim değerleri ve değişik gereçler için. maskleme yansımalarının neden olduğu rahatsızlık duyulanmasının değerlendirilmesi

Bu eğriden de anlaşılabileceği gibi, CRF 1 ve 1 den büyük değerler alması durumunda rahatsızlık söz konusu olmazken, CRF değeri düştüp 0'a yaklaşıkça, bakılan nesnenin ışık yansıtma özelliklerine de bağlı olarak, duyulan rahatsızlık artmaktadır. Bir ortamda görsel konforun sağlanması için, o ortamda bulunan CRF değerlerinin en az 0.7 olması gereklidir.

Kusurlu Bölge (Offending Zone)

Yüzey ışık yansıtma biçiminin, ortamın her yerinde izotrop yayınık yansımıma olmadığı durumlarda, bakılan nesneye gelen ışığın, yansıyarak göze gelmesine neden olan yüzeylerle, bu yüzeylerin ışık aldığı kaynakları bulunduğu alanların oluşturduğu bölgeye *kusurlu bölge* (*offending zone*) denir. Başka bir deyişle, kusurlu bölgeler, bakılan nesnenin karşılığını düşeren yansımaların olduğu alanlar olarak tanımlanır. (Bkz. Şekil 2.5)

Bakılan nesnenin ışık yansıtma biçimini, düzgün yansımaya yaklaşıkça, kusurlu bölgenin sınırları daralırken, etkileri artar. Bakılan nesnenin ışık yansıtma biçimini izotrop yayınık yansımaya yaklaşıkça, kusurlu bölgenin sınırları genişlemekle birlikte etkileri azalır.



Şekil 2.5 - Kusurlu bölgenin şematik olarak görünüşü (Code for Interior Lighting 1984)

Maskeleme Yansımları (Veiling Reflections)

Maskeleme yansımaları, bakılan nesnenin karşıslığını düşüren, ışıklılığı yüksek yansımalarıdır. Bu olay, bir örnekle şöyle açıklanabilir. Bakılan nesne ile göz arasına, buzlu cam veya çok ince yağılı kağıt gibi, düzgün geçme yapmayan, bir engel konulduğunda, nesneden yansırak göze gelen ışık, aradaki engelden geçerken biraz yutulur ve büyük oranda dağıılır. Bunun sonucunda bakılan nesnenin karşıslığı düşer, algılanması zorlaşır. Maskeleme yansımaları, verilen örnekteki engelin, bakılan nesne karşıslığı üzerinde yaptığı azalmaya benzer bir etki yapan yansımalarıdır.

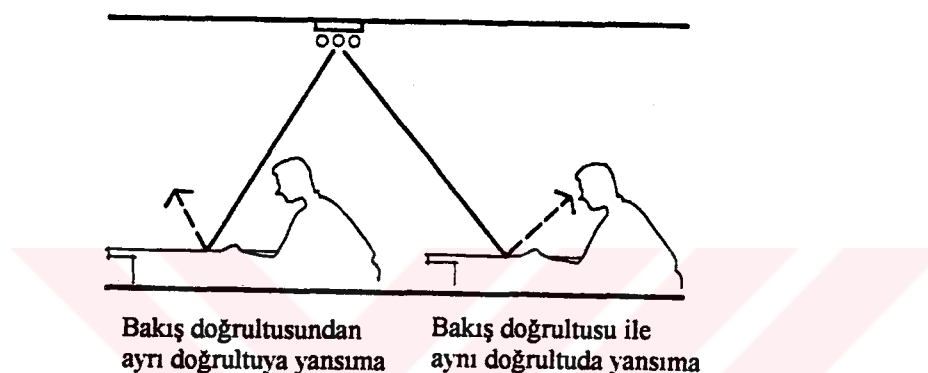
Bakılan nesne ve çevre yüzeylerinin yüksek ışıklılıkta ve parlak olması maskeleme yansımalarını oluşturur. Yüzey ışıklılıklarının artması, yüzeyin ışık yansıtma biçiminin izotrop yayınıktan düzgün yansımaya doğru gitmesi, bu yansımaların etkilerini artırır.

Sonuç olarak maskeleme yansımalarının etkileri.

- 1) Bakılan nesnenin yüzey özellikleri yani yansıtma biçimini ve yansıtma çarpanı.
- 2) Kusurlu bölgenin ışıklılığı.
- 3) Göz, ışık kaynağı ve bakılan nesnenin yerleşimi yani, birbirleriyle olan konumu. olmak üzere 3 değişkene bağlıdır.

Ayrıca, bakılan nesnenin ya da yakın çevresinin yansıtma çarpanı büyükçe, kusurlu bölgenin ışıklılığı artıkça ve yüzeyin ışığı yansittığı doğrultu, ile bakış doğrultusu birbirine yaklaşıkça maskeleme yansımalarının etkileri artar.

Işık kaynağının, bakış doğrultusuna göre olan konumu, maskeleme yansımalarının doğrultusu ve buna bağlı olarak etkisi bakımından da büyük önem taşır. (Bkz. Şekil 2.6)



Şekil 2.6-(Flynn J.. et. al. Architectural Lighting Graphics, 1983)

Işık kaynağı kişinin arkasında olduğunda, maskeleme yansımalarının doğrultusu göze doğru olmadığını, nesnenin karşılığını, dolayısı ile görsel konforu önemli derecede etkilemez. Ancak, ışık kaynağı kişinin üstünde ve önünde olduğu durumlarda, çalışma düzleminden yansyan ışıklar göze doğru geleceğinden, oluşan maskeleme yansımaları, bakılan nesnenin görünürüğünü, büyük oranda olumsuz olarak etkiler.

Maskeleme yansımalarının: yüzey ışık yansıtma biçimine, ışıklılıklarına, ve kaynağı konumuna göre, nesne karşılığını nasıl etkilediğine ilişkin bir örnek Şekil 2.7'de verilmiştir.

at this provision has been increased—this provision has been increased—
has led to a deterioration in its led to a deterioration in its provisions.

Reason for this deterioration and reason for this deterioration and the
by reviewing lighting design method by reviewing lighting design method
against a changing climate. Against a changing climate, its traditional building service
its, traditional building service traditional building service
action in lighting. action in lighting.

What much will be improved what much will be improved what
cylindrical as to horizontal illumination cylindrical as to horizontal illumination
of the review, from 1950 to the review, from 1950 to 19
over a time when many changes over a time when many changes

1) Konumu, gözlemeçinin üstü ve arkası olan ışık kaynağı ile aydınlatılmış, mat kağıt üzerindeki mat mürekkep yazı

2) Konumu, gözlemeçinin üstü ve önü olan ışık kaynağı ile aydınlatılmış, mat kağıt üzerindeki mat mürekkep yazı

which has led to a deterioration in
electrical lighting

for this deterioration
in explanation by
sent and judging
led by market
industry procedure

3) Konumu, gözlemeçinin üstü ve arkası olan ışık kaynağı ile aydınlatılmış, mat kağıt üzerindeki kurşun kalem yazı

4) Konumu, gözlemeçinin üstü ve önü olan ışık kaynağı ile aydınlatılmış, mat kağıt üzerindeki kurşun kalem yazı

Şekil 2.7 - Değişik aydınlatma düzenlerinde, ışık yansıtma biçimleri ayrı iki nesnenin maskeleme yansımalarından etkilenme biçimleri. (Code for Interior Lighting, 1984)

Bir numaralı resimde mat kağıt üzerindeki mat yazı, hem yüzey özelliğinden hem de kaynağın konumundan ötürü, çok az maskeleme yansımıası oluşturmaktadır. İki numaralı resimde ise, aynı nesne ve arkaplan, kaynağın yerinin değişmesinden ötürü, daha çok maskeleme yansımıası oluşturmakta ve bu da, yazının karşılığını düşürmektedir. Bunun nedeni, kaynaktan gelen ışığın gözlemcinin gözüne doğru yansımasıdır. Şekil 3 ve 4 deki kurşun kalemlle yazılan metin ise kurşun kalemin yansıtma özelliğinden ötürü, aynı şekilde aydınlatılmış olmasına karşın, maskeleme yansımalarından daha çok etkilenmiştir.

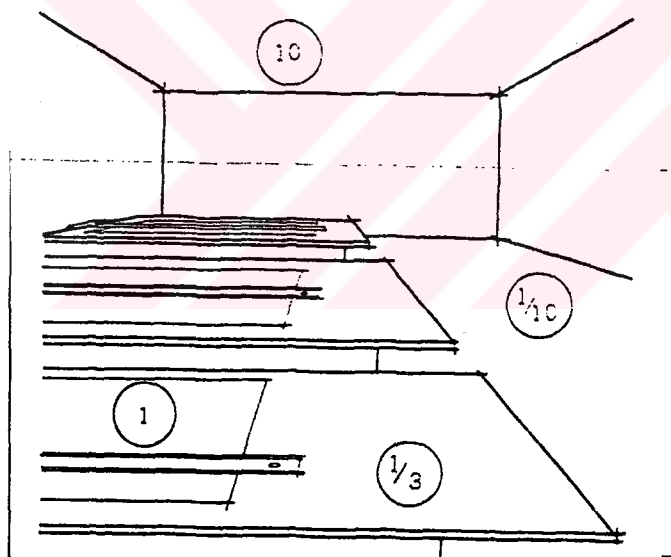


3. KAMAŞMA

Karşılık, bir ortamda görsel algılamanın olabilmesi için gerekli bir etkendir ve bölüm 2.3 de değinildiği gibi karşılığın oranı, görsel keskinliği doğrudan etkiler. Ancak bir ortamda görsel konforun sağlanması için, karşılıklar arasında belli oranların aşılmaması gereklidir. Karşılıklar arasında olabilecek en büyük oranlar şöyledir. (Concepts and Practice of Architectural Daylighting, 1985)

Bakılan nesne ile yakın çevresi arasındaki karşılığın oranı:	3 : 1
Bakılan nesne ile uzak ve karanlık bölgeler arasındaki karşılığın oranı:	10 : 1
Bakılan nesne ile uzak ve ışıklı bölgeler arasındaki karşılığın oranı:	1/10 : 1
Birincil ışık kaynakları ile yakın çevresi arasındaki karşılığın oranı :	20 : 1
Görme alanındaki herhangi bir yerdeki karşılığın oranı:	40 : 1

(Bkz. Şekil 3.1)



Şekil 3.1 (Flynn et al. Lighting Graphics, 1983)

Karşılıkla doğru orantılı olan, *görsel keskinlik*, karşılığın yukarıda verilen oranları geçmesi durumunda, azalmaya başlar, yani orantı tersine döner. Bunun sonucunda ise, bir ortamda varlığı istenmeyen **kamaşma** olayı oluşur.

1.bölümde belirtildiği gibi ağıtabaka ve gözbebeği, devamlı devinim halindedir ve sürekli olarak görme alanının ortalama ışıklılığına uyum göstermeye çalışır. Eğer görme alanındaki ışıklılık karşılıkları çok yüksekse, göz ortalama ışıklılığa uyacağından, özellikle ışıklılığı

düşük yüzeylerin ayrıntılarını algılayamaz. Karşılıkların niceligiye göre, gözün ışıklılık uymasından ötürü oluşan görsel algılamadaki bu azalmaya ve/ya da zorlanmaya **kamaşma** denir.

Yani, kamaşma, bir ortamda karşılıkların çok artması nedeniyle, bakılan nesnenin, kendi karşılığının azalması sonucu, görme olayının zorlanması ya da olanaksız duruma gelmesi olarak tanımlanır. Bir başka deyişle, ışıklılıkların uygun olmayan dağılışı, çok yüksek ışıklılıklar ya da zaman veya mekan içinde aşırı ışıklılık ayrımları sonucunda nesneleri ayırt etme yeteneğindeki azalma veya görmenin zorlanması ya da, her ikisinin aynı anda olması kamaşma olayını doğurur.

Kamaşma konusuna genel olarak bakıldığından, kamaşmaya neden olan etkenler aşağıdaki gibi sıralanabilir.

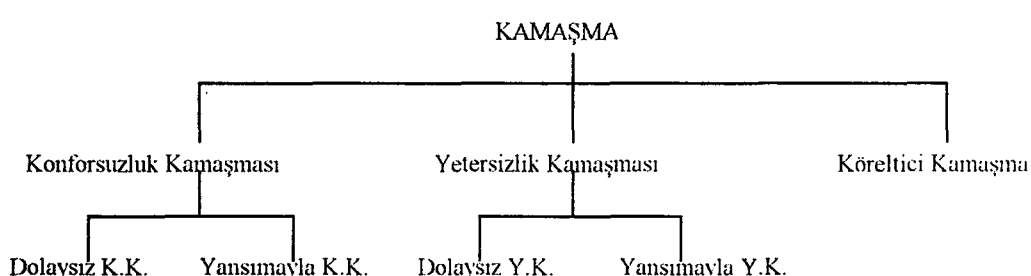
- 1) Kamaşma kaynağının büyülüğu ve ışıklılığı.
- 2) Kamaşma kaynağının, ilgili doğrultudaki ışık yoğunluğu.
- 3) Kamaşma kaynağının, görme alanındaki konumu.
- 4) Ortamın genel ışıklılığı.
- 5) Görsel işlevin süresi.

3.1 Kamaşmanın Türleri

Yukarıdaki etkenlere bağlı olarak oluşan kamaşma, kişide yarattığı duyulanların niteliğine göre:

- 1) Konforsuzluk kamaşması (psikolojik kamaşma)
- 2) Yetersizlik kamaşması (fizyolojik kamaşma)
- 3) Köreltici kamaşma

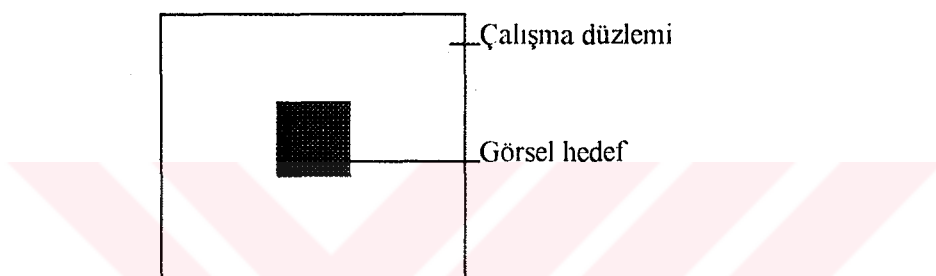
olmak üzere 3 farklı isim altında toplanır. Bu kamaşma türleri ise oluş biçimlerine göre, *dolaylı* ve *yansımayla* kamaşma olarak kendi içlerinde ikiye ayrılır. (Bkz. şema 3.1)



Şema 3.1- Kamaşma ve türleri

3.1.1 Konforsuzluk Kamaşması (Discomfort Glare)

Konforsuzluk kamaşması, karşılığın artması sonucu gözbebeğinin, büyüyüp küçülerek, ortamda değişik ışıklılıklara uyumaya çalışması, bunun sonucunda da görme organının aşırı zorlanmasından ve yorulmasından kaynaklanır. Ortamda ışıklılıkların arasındaki oranlar, olması gerekenden daha fazla olduğunda göz, ortalama ışıklılığa uyum göstermeye çalışırken, gözbebeği, gelen ışığın nicelidine göre sürekli olarak değişir. Kişiin görme organında, denetiminin dışında ve sürekli olan bu hareketler, kişide, hemen belli olmayan, yorgunluk, rahatsızlık, dikkatin dağıılması gibi olumsuz etkilere neden olur. Kişiide bu tür ruhsal ve fiziksel bozukluklara neden olan kamaşmaya **konforsuzluk kamaşması** denir.



Şekil 3.2

Örneğin, şekil 3.2 deki gibi bir çalışma düzeninde, görülmesi istenen nesnenin ışıklılığı çok düşük, yakın çevresinin ışıklılığı ise oldukça yüksektir. Böyle bir durumda kişi, hedefe baktığında, gözbebeği ayrıntıları görebilmek için açılır. Bu arada, göz çok hareketli bir organ olduğundan ve bakış doğrultusunu sürekli olarak değiştirdiğinden, görsel hedefin yakın çevresi de sürekli olarak görme alanına girer. Yakın çevrenin ışıklılığına bağlı olarak gözbebeği yeni bir ayarlama yapma gereği duyar ve tekrar büzülür. Böyle bir ortamda, gözbebeği, değişik ışıklılıklara uyma yapabilmek için sürekli olarak biçim değiştirir. Bu arada ağıtabaka da, sürekli olarak hareket eder ve değişen koşullara uymaya zorlanır. Görme organında sürekli olan ve kişinin denetimi dışındaki bu tür hareketler, zaman içinde kişide rahatsızlık ve yorgunluğa neden olur.

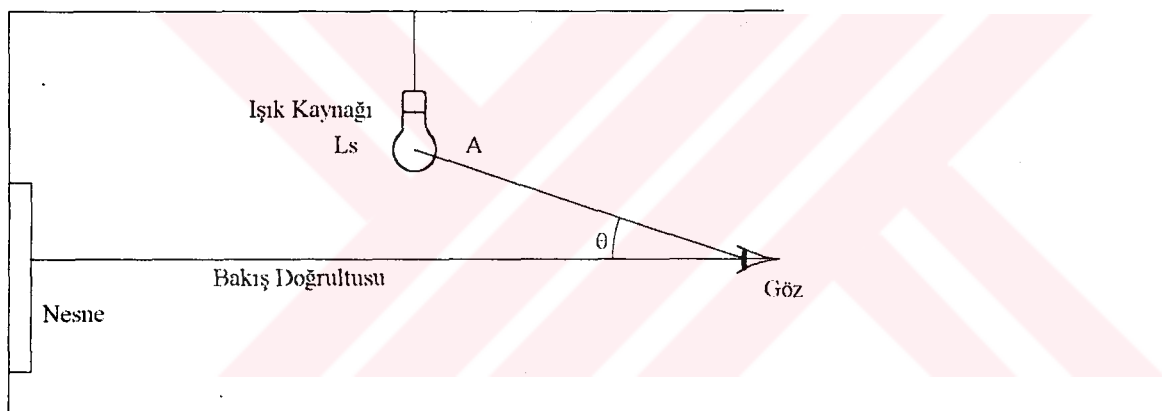
Ayrıca, bakılan nesne ile yakın çevrenin ışıklılığı arasında bir etkileşim söz konusudur. Yüksek ışıklılıklar, düşük ışıklılıkları devamlı olarak maskeler. Yani, yüksek ışıklı bölgeler, aynı doğrultuda olan ışıklılığı düşük nesnelerin ayrıntılarının görülmесini engeller. Bu ise kişinin eylemi gerçekleştirebilmesi için, daha çok çaba harcamasını gerektirir. Kişi düşük karşılıktan ötürü daha çok çaba harcadıkça, daha çok yorulur. Daha çok yoruldukça da, daha

çok çaba harcaması gereklidir. Kişinin içine girdiği bu kısır döngü, zamanla sinir bozukluğu, verim düşüklüğü, hata olasılığının artması gibi olumsuz etkiler yaratır.

Genel aydınlatma düzeyi çok düşük veya aydınlatılmamış bir ortamda, masa lambası ile aydınlatılan bir düzlemede çalışmak, ya da, çalışma düzleminin üzerine veya yakınına güneş ışığının düşmesi konforsuzluk kamaşmasına örnek olarak gösterilebilir.

3.1.2 Yetersizlik Kamaşması (Disability Glare)

Yetersizlik kamaşması, kişide hoş olamayan bir duyulanma yaratması zorunlu olmayan, ancak görsel algılamayı bozan ve ayrıntıların seçilmesini olanaksız hale getiren kamaşma türüdür. Başka bir deyişle, yetersizlik kamaşması, normalin üzerinde çaba harcamadan görsel algılamanın gerçekleşmesini, olanaksız hale getiren kamaşma türüdür.



Şekil 3.3- (Architectural Physics Lighting, 1963)

Gözün karşılık duyarlılığının düşmesi olarak da tanımlanabilen yetersizlik kamaşması, kaynağın, bakış doğrultusundaki ışık yoğunluğu ve alanı ile doğru orantılı aradaki açı ile ters orantılıdır. (Bkz. Şekil 3.3) Buradan yola çıkılarak yapılan çalışmalar sonucunda, yetersizlik kamaşması hesabı için üretilen en basit ve genel eşitlik aşağıda verilmiştir. (CIBSE Code for Lighting, 1984)

$$YK = \frac{L_s \times A}{\theta^2} \quad (3.1)$$

Burada: L_s : kaynağın ıshıklılığı
 A : kaynağın görünen alanı
 θ : kaynakla göz arasındaki açı
 olarak gösterilmiştir.

Bu eşitlikten de anlaşılabileceği gibi, göz ile kaynak arasındaki açı büyüdüükçe kamaşma azalırken, kaynağın ıshıklılığının ve görünen alanını büyüdüükçe kamaşma artar.

İshıklılık karşıtlıklarının çok fazla artması durumunda oluşan ve konforsuzluk kamaşmasının ileri durumu olan yetersizlik kamaşması temelde.

- 1) gözün ıshıklılık uyması.
- 2) gözün yapısı (camsı sıvı)
gibi iki etkeden ötürü oluşur.

1) Gözün ıshıklılık uymasına bağlı olarak oluşan yetersizlik kamaşması:

Ortamda, karşıtlığın çok ve/ya da ani olarak artması durumunda, görsel algılamanın gerçekleşebilmesi için, gözbebeğinin çabaları yeterli gelmez. Çevrenin algılanabilmesi için ağtabakanın, ortamın ıshıklılığına uyması gereklidir. Ağtabakanın ıshıklılık uyması ise değişik durumlarda ayrımlar göstermekle birlikte, zaman alan bir işlem olduğundan, bir süre için çevreyi görmek olanaksız olabilir.

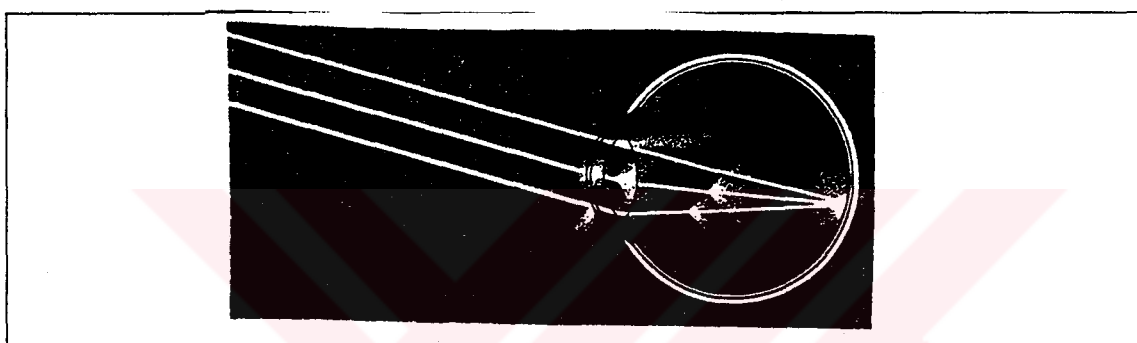
- Gece karşından gelen arabanın farlarından yayılanan ışıklardan ötürü, araba ve çevrenin görülememesi.
- Uzun süre karanlıkta kaldıktan sonra, aydınlığa çıktığında çevrenin bir süre algılanamaması.
- Güneşli ve parlak bir günde dışardan karanlık bir ortama - bodrum veya az ıshıklı bir oda gibi - girildiğinde etrafın algılanamaması ve ayrıntıların görülemesi gözün ıshıklılık uymasına bağlı olarak oluşan yetersizlik kamaşmasına örnek olarak verilebilir.

Ancak yapay aydınlatma yapılmış ortamlarda, bu gibi durumlarla, çok az karşılaşıldığından bu olay, genellikle aydınlatma teknüğünü dışında kalır.

2) Gözün yapısından ötürü oluşan yetersizlik kamaşması:

Göze gelen ışık, ağıtabakaya gelmeden önce, camsı sıvıdan geçerken, camsı sıvının heterojen yapısına bağlı olarak dağılır. Işığın gözün içinde dağılması ağıtabakanın üzerine düşen görüntünün karşılığının düşmesine neden olur. Bu da, nesnenin ayrıntılarının görülmemesini olanaksız kılar.

Gözün yapısından ötürü, nesnenin karşılığında oluşan bu azalma nedeniyle, kişinin görsel iş yeteneği düşer ve büyük çaba harcamadan iş yapması olanaksızlaşır.



Şekil- 3.4- Işığın camsı sıvıdan ötürü gözün içinde dağılması

Bu durum için aşağıdaki örnekleri verebiliriz.

- Çiplak bir ışık kaynağı ile aynı doğrultuda olan ayrıntıların seçilememesi
- Bina girişlerinde, girişi aydınlatmak için konulan çok ışıklı kaynaklardan ötürü çevrenin görülememesi

Sonuç olarak yetersizlik kamaşması: bir iç mekanda, varlığı kesinlikle istenmeyen, bakılan nesnenin ayrıntılarını örten, görsel eylemi olanaksız kıyan kamaşma türüdür.

3.1.3 Körelticici Kamaşma

Körelticici kamaşma, kamaşmanın en uç durumudur ve kişinin görme işlevini bir süre için engeller. Genelde acı veren ve etrafi görmeyi bir süre için olanaksız kıyan kamaşma türüne **körelticici kamaşma** denir. Işıklılığı çok yüksek olan kaynaklara, doğrudan ve çiplak gözle bakıldığından körelticici kamaşma oluşur. Örneğin, öğle vaktinde, güneşe doğrudan

bakıldığında, gözde bir acı hissi oluşur ve göz, başka yere çevrildiğinde bile güneşin görüntüsü bir süre gözün önünden gitmez. Gözümüzün önünde patlayan bir flaşın yarattığı duyulanma da aynıdır.

Bu tür kamaşma, bir aydınlatma düzenden, çok nadir karşılaşılabilecek bir durum olduğundan, aydınlatma tekniği ile ilgili çalışmaların kapsamına girmez.

3.1.4 Dolaysız Ve Yansımayla Kamaşma (Direct and Reflected Glare)

3.1.1. ve 3.1.2. nolu bölümlerde anlatılan kamaşma türleri, oluş biçimlerine göre değişik isimler alır.

- 1) dolaysız kamaşma
- 2) yansımayla kamaşma

Dolaysız kamaşma :

Kamaşma, birincil ışık kaynaklarından ötürü oluşuyorsa buna **dolaysız kamaşma** denir. Bu da kişide oluşturduğu duyulanmaya göre ikiye ayrılır :

- 1) Dolaysız konforsuzluk kamaşması
- 2) Dolaysız yetersizlik kamaşması

Eğer ışık kaynağı, kişinin görsel algılamasını bozmuyor, ancak, rahatsızlığa neden oluyorsa, buna **dolaysız konforsuzluk kamaşması** denir.

Karanlık bir ortamda televizyon seyretmek veya bilgisayarla uğraşmak bu durum için verilebilecek en güncel örneklerdir. Her iki eylemi de gerçekleştirirken görsel keskinlik ve konsantrasyon en üst düzeydedir. Ancak, böyle ortamlarda uzun süre çalışmak kişide yorgunluğa neden olur.

İşıklılıkların düzensiz dağıldığı ve sürekli değiştiği diskotek ve gece klubleri gibi mekanlarda yorucu ve rahatsız edicidir.

Eğer birincil ışık kaynakları görüşü bozup, ayrıntıların görülmemesini olanaksız hale getiriyorsa buna **dolaysız yetersizlik kamaşması** denir.

Vitrinlere konan ışık kaynaklarından ötürü, sergilenen nesnelerin iyi görülememesi, masada bulunan ışıklı bir elemandan dolayı - bu mum veya masa lambası olabilir - karşısında oturan kişinin veya bulunan bir nesnenin iyi görülememesi, bu durum için verilebilecek örneklerdir.

Yansımayla kamaşma :

Kamaşma, birincil ışık kaynağından ötürü oluşmuyorsa, yani kamaşma kaynağı, ışığın yansıdığı bir yüzey ise, bu durumda oluşan kamaşmaya **yansımayla kamaşma** denir.

Yansımayla kamaşmanın oluşumuna bölüm 2.4 de anlatılan *maskeleme yansımaları* (veiling reflections) neden olur. Bu yansımalar, bakılan nesnenin karşılığını düşüren dolayısıyla ayrıntılarını örten, ışıklılıkları yüksek yansımalar olduğundan görsel algılamayı etkiler.

Bölüm 2.4 de anlatılan etkenlere bağlı olarak, maskeleme yansımalarının ışıklılığı artıkça etkileri de artar.

Yansımayla kamaşma da kişide oluşturduğu duyulanmaya göre ikiye ayrılır.

- 1) Yansımayla konforsuzluk kamaşması
- 2) Yansımayla yetersizlik kamaşması

Yansıyan ışık, kişide görselliği bozmadan, rahatsızlığa neden oluyorsa bu durum **yansımayla konforsuzluk kamaşması** olarak adlandırılır.

Eğer maskeleme yansımalarının ışıklılıkları çok artarsa, bu durumda kişinin ayrıntıları görmesi olanaksız hale gelir, bu durum ise **yansımayla yetersizlik kamaşması** biçiminde tanımlanır. Bu durum genelde, yansıtma biçimini yayınk veya düzgün olan yüzeylerin, görsel hedef olduğu durumlarda oluşur.

Parlak sayfalı bir dergiyi okurken, sayfanın konumunu değiştirmeye çalıştığımız çok olmuştur. Bunun nedeni, yazıları görmemize engel olan maskeleme yansımalarının doğrultusunu değiştirmeye çalışmaktadır. Güneşli bir günde, mağaza vitrinlerinde oluşan aynalasma olayı, maskeleme yansımalarına en uç örneklerden biridir. Bilgisayarlarla çalışan ortamlarda, ışık kaynağının görüntüsünün ekran üzerinde oluşu, yansımayla kamaşmanın en çok sorun olduğu ve çözümü için bir çok çalışmanın yapıldığı bir durumdur. Gece televizyon seyredenken, ışık kaynaklarının ekran üzerinde, seyredilen programdan daha çok görülmesi, başka bir örnek olarak verilebilir.

3.2 Gün Işığı ve Kamaşma

Bölüm 3.1 de anlatıldığı gibi kamaşma, insan gözünün yapısı ve işleyine, ortamdağı ışık kaynağının ışıkölçümsel özelliklerine ve ortamdağı ışıklılık dağılımına bağlı olarak oluşur. Yapay ışık kaynaklarının kullanıldığı aydınlatma düzenlerinde, kamaşma kaynağı genellikle ortamda kullanılan aygıtlardır. Ancak, gün ışığından yararlanılan ortamlarda, görme alanına giren gök de, kamaşma kaynağı olarak sıkça karşımıza çıkar.

Güneş ve/ya da göğün kamaşma kaynağı olması durumunda da bölüm 3.1 de anlatıldığı gibi neden olduğu duyulanmaya göre kamaşma:

- Konforsuzluk kamaşması.
- Yetersizlik kamaşması.
- Köreltici kamaşma

olarak 3'e ayrılır

3.2.1 Gün ışığı ve konforsuzluk kamaşması:

Konforsuzluk kamaşması bilindiği gibi, ortamda bulunan karşılık ayrımlarına ve ortamın ışıklılık derecesine bağlı olarak oluşur. Bilindiği gibi, gün ışığı, gök ışığı ya da gök + güneş ışığından oluşur. Buradan da anlaşılabileceği gibi, gün ışığından yararlanılan ortamlarda kamaşma kaynağı güneş ve/ ya da gök'tür.

Genelde, gök ışığının yayınık bir ışık alanı oluşturmasından ötürü, açık havada aşırı ışıklılık karşılıklarına bağlı olarak konforsuzluk kamaşması oluşmaz. Ancak, gök ışığının, güneş ışığının varlığından ötürü çok yüksek ışıklılıklara çıkması son derece rahatsız edici kamaşmalara neden olabilir. Örneğin açık güneşli bir günde, karla kaplı yüzeylerde aşırı ışıklılık karşılıkları pek oluşmazken, yüzeyin aydınlığını yüksek olmasına bağlı olarak oluşan çok yüksek ışıklılık düzeyi oldukça rahatsız edicidir ve konforsuzluk kamaşmasına neden olur.

Kapalı mekanlarda ise konforsuzluk kamaşması pencerelerin konumuna ve boyutlarına bağlı olarak oluşur.

Yapılan çalışmaların sonucunda, bir ortamda, gün ışığının neden olabileceği kamaşmanın derecesi,

- Pencereden görünen gögün ıshıklılığı.
 - Pencereden görünen gögün alansal büyülüklüğü, yani oluşturduğu hacim açısı.
 - Pencereden görünen gögün bakış doğrultusuna göre konumu.
 - Ortamın genel ıshıklılığı.
- gibi etkenlere bağlanmıştır.

Yukarıda sıralanan etkenler göz önüne alınarak yapılan çalışmalar sonucunda, kamaşma derecesinin değerlendirilebilmesi için, aşağıdaki 3.2 nolu formül geliştirilmiştir.(Hopkinson R. G. et. al. Daylighting, 1980)

$$g = \frac{B_S^{1.6} \cdot \omega^{0.8}}{B_B^{1.0}} \cdot P \quad (3.2)$$

Burada:

g : Kamaşmayı derecesini değerlendiren *kamaşma değişmezi*

B_S :Pencereden görünen gök parçasının ıshıklılığı.

ω : Pencereden görünen gök parçasının oluşturduğu *hacim açısı (str.)*

B_B : Ortamın genel ıshıklılığı

P : Konum indeksi

olarak tanımlanmıştır.

3.2 nolu formülden de anlaşılabileceği gibi, gün ışığından ötürü oluşan konsorsuzluk kamaşmasının etkileri, gögün ıshıklılığı ve pencere boyutu büyütükçe artarken, ortamın genel ıshıklılığı - içeriye giren ıshık akısı miktarına ve ortam yüzeylerinin yansıtma çarpanlarına bağlı olarak- artıkça azalmaktadır.

Yukarıda 3.2 nolu formül aracılığı ile bir pencere için hesaplanan kamaşma değişmezi (g). kamaşmadan ötürü duyulan rahatsızlık duyulanmasının özneli karşılığıdır. Ortamda bulunan her pencere için hesaplanan kamaşma değişmezi değerlerinin 3.3 nolu formül uyarınca toplanmasıyla ise, ortamın *Kamaşma İndeksi (GI)* değeri bulunur.

$$GI = 10 \log_{10} \sum g \quad (3.3)$$

Yapılan çalışmalar sonucunda, ortamda gerçekleştirilen eylemin niteliğini bağlı olarak, kamaşma indeksi değerine, çizelge 3.1 de verilen sınırlamalar getirilmiştir. (Hopkinson R. G., et. al., 1980)

Çizelge 3.1- Ortamda gerçekleştirilen işlevle bağlı olarak, izin verilen en yüksek kamaşma indeksi değerleri

Bina ve Eylem Niteliği	En Fazla Kamaşma İndeksi Değeri
<i>Fabrikalar</i>	
Kaba iş	28
Parça montajı	25
İnce montaj	22
Makina montajı	19
Kişilerin çalıştığı tarım binaları	25
Mücevher montajı	10
Laboratuvarlar	19
Müzeler	16
Sanat galerileri	10
<i>Ofisler</i>	
Genel	19
Çizim	16
<i>Okullar</i>	
Sınıflar v.b.	19
Dikiş odaları	16
Hastane odaları	13

Yukarıda verilen 3.1 nolu çizelgeden de anlaşılabilceği gibi, dikkat ve konsantrasyonun önemli olduğu eylemlerde, kamaşma indeksinin düşük olması gerekmektedir.

3.2.2 Gün Işığının Yetersizlik Kamaşması

Gün ışığından ötürü oluşan yetersizlik kamaşması, gök ve/ya da güneş ışığının, ortamda bulunan pencereden doğrudan görülmeye durumunda, ışığın ağıtabaka üzerine dağılması sonucu, görsel algılamaada oluşan, azalma ve aşırı zorlanmadır.

Gün ışığından ötürü yetersizlik kamaşması, genelde yetersiz aydınlatılmış kapalı hacimlerde oluşur. Örneğin, yalnızca sonundaki pencereden aydınlanan uzun bir koridorda yetersizlik kamaşmasının oluşması gibi. Bu tür ortamlarda kamaşma, hem karşılığın aşırı artışından, hem de ışığın göz içinde dağılmasından ötürü gerçekleşir. Ortamın, ışık kaynağı bir tek pencere olduğundan, pencereye uzak kalan yerlerde aydınlatım düzeyi oldukça düşük iken pencere kenerleri ve pencere alanı oldukça aydınlatır ve ışıklıdır. Karşılık oranındaki bu ucu durum, görsel algılama ciddi bozukluklara neden olur. Ayrıca, bakış doğrultusu, pencereye doğru olduğunda, pencereden gelen ışık akısı göz içinde dağılacağinden görme hemen hemen olanaksız hale gelir ve yetersizlik kamaşması oluşur. Bu durum, pencere boyutu küçültüp, koridor uzadıkça daha da kötü bir durum alır. İç ortamlarda, bu tür durumlar, önlenmesi gereken büyük kusurlar olarak değerlendirilir.

3.2.3 Gün ışığından ötürü oluşan kamaşmaya karşı alınabilecek önlemler

Gün ışığının bileşenleri olan, gök ve güneş ışığının neden olduğu kamaşma, kapalı ortamlarda çalışanları olumsuz olarak etkilediğinden, kesinlikle önlenmelidir. Buna karşı Alınabilecek önlemler,

- Gök ışığına karşı alınabilecek önlemler.
 - Güneş ışığına karşı alınabilecek önlemler
- olarak iki ana bölüme ayrıılır. (IES Technical Report No 4, 1972)

Gök ışığına karşı alınabilecek önlemler:

Kapalı bir mekanda pencereden görünen göğün neden olduğu kamaşmayı engellemek ya da azaltmak için, uygulanabilecek yöntemler aşağıdaki gibi sıralanabilir.

I) İç ortam ışıklılığını yükseltmek.

İç mekanda yeterli düzeyde yapay aydınlatılarak ya da, pencerelerin boyutları küçültüp, sayısı çoğaltılarak, iç ortam ışıklılığı yükseltiliblir. Ancak, ikinci koşulun, tasarım sırasında göz önüne alınması gereken bir konu olduğu açıktır. Ayrıca, iç düzenlemede kullanılan mobilya ve eşyaların renklerinin ve de iç yüzey yansıtma çarpanlarının, yüksek değerli olmasının da, iç ortam ışıklılığının yükselmesine katkı sağlayacağı unutulmamalıdır.

2) Pencereden görünen göğün ışıklılığını düşürmek.

Pencerelerin önöne, perde jaluzi gibi, örtücü elemanların yerleştirilmesi ile pencerelerin ışıklılığı düşürülebilir. Başka bir yöntem ise, geçirgenliği düşük camların ya da benzer etki sağlayan film gibi gereçlerin pencerelerde kullanılmasıdır.

3) Kamaşma kaynağını görme alanından uzaklaştmak.

Bakış doğrultusuna yakın yerlerdeki pencerelerden görünen göğün, kamaşmayı artıracığı açaktır. Bu durum göz önüne alınarak yapılan iç düzenlemeler ile, kullanıcıların genel bakış doğrultuları pencerelerden uzaklaştırılarak, göğün neden olduğu kamaşma azaltılabilir.

Güneş ışığına karşı alınabilecek önlemler:

Güneş ışığının doğrudan kullanıcının gözüne gelmesi ya da, iç yüzeyleri aydınlatması sonucu, yüksek ışıklılık ve ışıklılık karşılıkları oluşmasıyla, güneş ışığından ötürü, kamaşma olur. Böyle ortamlarda güneş ışığı, kamaşma kaynağı olarak büyük bir sorundur. Güneş ışığına karşı alınabilecek önlemler, aşağıdaki gibi sıralanabilir.

1) Genel tasarım sürecinde, güneş ışığının göz önüne alınması.

Binanın işlevine ve mekanların kullanma amacına göre, bina yönlenmesinin doğru olarak yapılabilmesi ile, kamaşma ve bir çok sorun çözümlenebilir.

2) Güneş ışığının içeriye girmesini önleyecek elemanların kullanılması

Perde, panjur, tente, yada güneş kırıcı benzeri elemanların kullanılması ile, güneş ışığı büyük oranda engellenebilir. Bu elemanların pencerenin içinde ya da dışında olması, kamaşma açısından önem taşımamakla birlikte, hacimdeki ısı kazançları bakımından önem taşır.

Sonuç olarak, gün ışığından yararlanılan okul, büro gibi çalışma ortamlarında, gün ışığı kamaşma açısından büyük önem taşır. Bu bakımından, gerek tasarım aşamasında, gerekse iç düzenleme sırasında, gün ışığı dikkate alınması gereken önemli bir konudur. Bu konu ile ilgili olarak çeşitli ülkelerde bir çok çalışma yapılmıştır. Ancak, bu tezde yapay ışık kaynaklarının neden olduğu kamaşma incelendiğinden, gün ışığının neden olduğu kamaşmaya ilişkin çalışmalar, ele alınmamıştır.

4. KONFORSUZLUK KAMAŞMASININ DEĞERLENDİRİLMESİİNDE KULLANILAN YÖNTEMLER

Bir ortamda, yapay ışık kaynaklarından ötürü oluşan konforsuzluk kamaşmasının değerlendirilmesi ve saptanmasıyla ile ilgili, yıllardan beri değişik ülkelerde, bir çok araştırma yapılmıştır. Bu araştırmaların amacı, ortamdaki ışıklılıkların, dağılımını ve oranlarının neden olduğu konforsuzluğun nicelliğini belirleyebilmektir.

Ancak, insan gözü ve yüzünün özelliklerdeki bireysel ayrımlar nedeniyle, kişilerin aynı ortamlardaki duygusal izlenimleri aynı olmamaktadır. Bundan ötürü, konforsuzluk kamaşmasının değerlendirilmesi için kullanılan nicelikler, deneysel yöntemlerle bulunur.

Yapılan bir çok deney ve çalışma sonucunda, ortamda tek bir ışık kaynağının neden olduğu kamaşmanın değerlendirilmesinde kullanılan yöntemlerde belli bir uzlaşma sağlanmış olmakla beraber, genel olarak değişik ülkelerde birbirinden ayrı formüller ve yöntemler geliştirilmiştir. Sözkonusu formüllerin, değişik olmasının nedeni ise, yukarıda da belirtildiği gibi, konforsuzluk kamaşmasının öznel olması ve bu formüllerin deneysel yöntemlerin sonucunda geliştirilmiş olmasıdır.

Konforsuzluk kamaşmasının belirlenmesinde kullanılan yöntemlerin temelini, genelde, ortamdaki bir ışık kaynağının oluşturduğu kamaşmayı nicelik olarak hesaplamayı olanaklı kıalan bir formül oluşturur. Bu formüldeki değişkenler ise genelde, kişinin bakış doğrultusu ve konumu, oda yüzeylerinin ışık yansıtma çarpanları, oda boyutları, aygıtların ışık yoğunluk diyagramları, konumları ve boyutlarıdır.

Konforsuzluk kamaşması niceliğinin, söz konusu formüller aracılığı ile hesaplanması bir çok matematiksel işlemler gerektirir. Hesaplama sırasında, bir bilgisayar ve uygun bir yazılım programı kullanılmadığı sürece bu tür uygulamalar kolay değildir. Bu nedenle, yapılan çalışmalar sonucunda, belli varsayımlara dayandırılan ve temelini söz konusu formüllerin oluşturduğu, daha kısa ve kolay yöntemler de geliştirilmiştir.

Konforsuzluk kamaşmasının değerlendirilmesinde kullanılan bazı yöntemler,

- 1) CIBSE Kamaşma İndeksi (GI)
- 2) GörSEL Konfor Olasılığı (VCP)
- 3) CIE Kamaşma İndeksi

- 4) Avrupa Kamaşma Denetleme Yöntemleri
 - 5) Işıklılık Eğrisi Yöntemi
- olarak sıralanabilir;

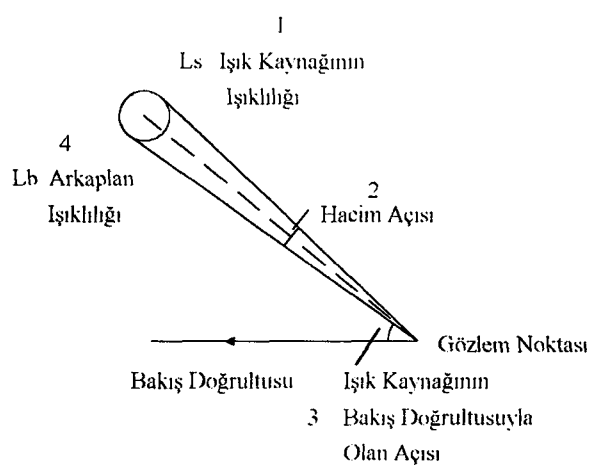
Bu çalışma içinde, konforsuzluk kamaşmasının değerlendirilmesi ile ilgili olarak, "CIBSE Kamaşma İndeksi" ve "Görsel Konfor Olasılığı (VCP)" adlı iki değerlendirme yöntemi ele alınmıştır.

4.1. CIBSE KAMAŞMA İNDEKSİ

CIBSE Kamaşma İndeksi. CIBSE (The Chartered Institution of Building Services Engineers) tarafından geliştirilen ve 1985 yılında Technical Memoranda 10'da yayımlanan, yapay ışık kaynakları ile aydınlatılan ortamlarda, bu kaynakların oluşturabileceği konforsuzluk kamaşmasının nicelliğini hesap edebilmek için kullanılan bir yöntemdir

Bölüm 3'de belirtildiği gibi, konforsuzluk kamaşmasının oluşumunu etkileyen başlıca etkenler; (Bkz. şekil 4.1)

- 1) ışık kaynağının ışıklılığı.
- 2) ışık kaynağının görünen büyüklüğü.
- 3) ışık kaynağının görme alanındaki yeri.
- 4) ortamın genel ışıklılığıdır.



Şekil 4.1

Sözkonusu etkenler, yapay ışık kaynakları ile aydınlatılan bir ortamda oluşabilecek, konforsuzluk kamaşmasının nicelğini hesap etmek için, **kamaşma değişmezi** olarak adlandırılan bir formülde, uygun bir biçimde bir araya getirilmiştir.

Kamaşma değişmezi, yalnız bir ışık kaynağının, belli bir gözleme noktasına göre, oluşturacağı, kamaşma değerini hesaplar. Eğer ortamda birden fazla ışık kaynağı varsa, ortamda oluşacak kamaşmanın nicelliğini bulmak için, herbir ışık kaynağının, kamaşma değişmezinin ayrı ayrı hesaplanması gereklidir.

Ortamdaki her ışık kaynağı için ayrı ayrı hesaplanan kamaşma değişmezi değerleri, logaritmik olarak toplanarak, söz konusu gözleme noktasındaki **kamaşma indeksi** değeri bulunur. Bir ortamın kamaşma indeksinin bu biçimde hesaplanması ile, ortamdaki ışık kaynaklarının her türlü yerleşimi ve kişinin değişen her konumu için, oluşabilecek kamaşmanın niceliği bulunabilir.

Ancak bu yöntem, yöntemin dayandığı temel eşitlige aykırı olduğu için, ışıklı tavan ya da geniş paletli aygıtlar gibi alanı çok büyük olan ışık kaynakları için geçersizdir. Çünkü, böyle durumlarda kaynak boyutlarını neyin belirlediğine karar vermek çok zordur.

4.1.1 Kamaşma İndeksi

Yukarıdaki bölümde belirtildiği gibi, bir ortamda birincil ışık kaynaklarının neden olduğu kamaşma indeksinin bulunabilmesi için, o ortamda bulunan tüm aygıtların kamaşma değişmezi değerlerinin hesaplanması gereklidir.

4.1.1.1 Kamaşma değişmezinin hesaplanması

Bir aydınlatma düzeneinde, yer alan her bir aygıtın neden olacağı, kamaşmanın niceliği, **kamaşma değişmezi** olarak adlandırılan formül ile hesap edilir. Bu formül aşağıdaki gibidir.

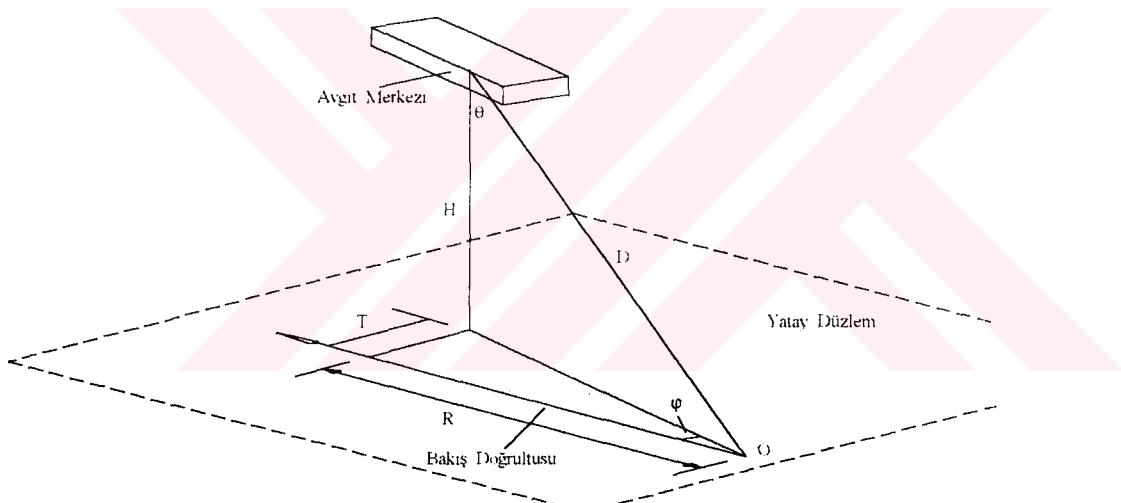
$$g = \frac{0.9 L_s^{1.6} \cdot \omega^{0.8}}{L_b \cdot P^{1.6}} \quad (4.1)$$

Burada. g :Kamaşma değişmezi

- L_s : Söz konusu ışık kaynağının (aygıtın), kişinin bakış doğrultusundaki ışık yoğunluğu (*kaynak ışıklılığı*) (cd/m^2).
- ω : Söz konusu ışık kaynağının, görünen alanını belirleyen *hacim açısı* (str.).
- L_k : Aydınlatma düzeneinde söz konusu ışık kaynağının dışında kalan, diğer ışık kaynaklarının oluşturduğu ve düzgün yayıldığı varsayılan ortamın genel ışıklılılığı (*arkaplan ışıklılığı*) (cd/m^2).
- P : Herbir ışık kaynağının bakış doğrultusuna göre konumu. (*Konum indeksi*).

olarak tanımlanmıştır.

Yukarıda tanımları verilen bu değişkenlerin hesaplanmasıında kullanılan formüller, aşağıda verilmiştir.



Şekil 4.2

Kaynak ışıklılığı:(L_s)

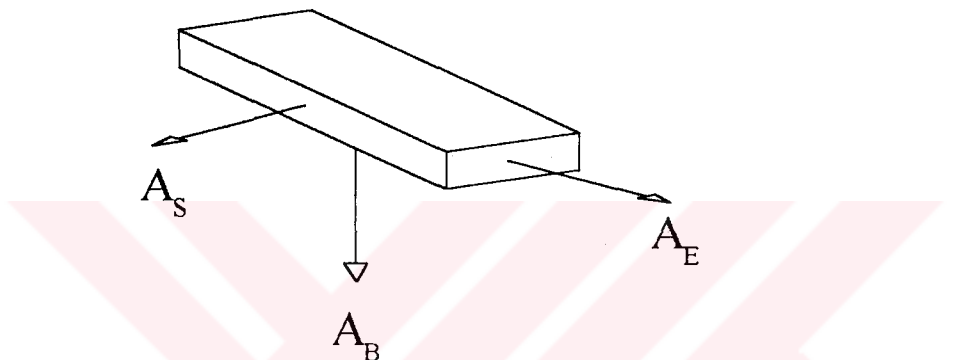
$$L_s = \frac{I_{\varphi\theta}}{A} \quad (4.2)$$

Burada: $I_{\varphi\theta}$: Şekil 1.1 de belirtildiği üzere, gözlem noktasına bağlı olarak, ışık kaynağının yatay (φ) ve düşey (θ) açılarındaki ışık yoğunliğidir. (cd/m^2)
Yatay ve düşey açıları aşağıdaki gibi hesap edilir. (Bkz.Şekil 4.2)

$$\theta = \cos^{-1} \left(\frac{H}{D} \right) \quad (4.3)$$

$$\varphi = \tan^{-1} \left(\frac{T}{R} \right) \quad (4.4)$$

($I_{\varphi\theta}$: ışık yoğunluğu çizelgelerinden, (φ) açısı için yapılan lineer interpolasyon sonrası, (θ) açısı için yapılan lineer interpolasyon ile, elde edilir.)



Şekil- 4.3

Aygıtın görünen alanı (A)

Gözlemeçinin bulunduğu 'O' konumundan, aygitin görünen yüzeyinin alanıdır. Aygitin dörtgen ve bakış doğrultusuna göre konumunun paralel olması durumunda, aygitin görülen alanı (A) aşağıdaki gibi hesaplanır. (Bkz. Şekil 4.2 ve 4.3)

$$A = A_B \frac{H}{D} + A_S \frac{T}{D} + A_E \frac{R}{D} \quad (4.5a)$$

Aygıtın bakış doğrultusun göre konumunun dik olması durumunda, 4.5a nolu formül aşağıdaki biçimini alır.

$$A = A_B \frac{H}{D} + A_S \frac{R}{D} + A_E \frac{T}{D} \quad (4.5b)$$

- Burada.
- H:** Aygit merkezinin, bakiş doğrultusundan geçen yatay düzlemden, olan düşey uzaklığı (yükseklik)
 - T :**Bakiş doğrultusu, ile aygit merkezinin yatay düzlemdeki izdüşüm noktası arasında kalan dik uzunluk.
 - R:** Aygit merkezinin yatay düzlemdeki izdüşüm noktasından, bakiş doğrultusuna çıkan dikin, bu doğruya kestiği nokta ile gözleme noktası arasında kalan uzunluk.
 - D :**Aygitin merkezinden gözleme noktasına olan eğik uzunluk. (bkz.Şekil 4.3) Bu uzunluk değeri ..

$$D = \left(H^2 + R^2 + T^2 \right)^{\frac{1}{2}} \quad (4.6)$$

olarak tanımlanmıştır.

- Gözleme noktasından, aygitin görünen alanın hesaplanması için aygitin yerleşimine bağlı olan veriler çizelge 4.1 de verilmiştir.
- Aydınlatma biçimini ve tipi değişik olan aygitların görünen alan hesabı için CIBSE'nin BS5225¹⁰ nolu yayından yararlanılır.

Hacim açısı (ω):

$$\omega = \frac{A}{D^2} \quad (4.7)$$

Buradaki A ve D değişkenleri, 4.5 ve 4.6 nolu formüllerde belirtildiği gibi hesaplanır.

(Bir ortamın kamaşma indeksinin bulunabilmesi için, aydınlatma düzeneinde kullanılan aygitların oluşturduğu en büyük hacim açısı 0.1 str. olmalıdır.)

Kaynağın konum indeksi: (P)

Bu büyülüklük: söz konusu kaynağın ışıklılığı ile; bakiş doğrultusu üzerinde olan, eşit büyülükteli ve eşit konforsuzluk kamaşması yaratan kaynağın, ışıklılığı arasındaki orandır.

- Luckiesh ve Guth tarafından T/R ve H/R'ye bağlı olarak hesaplanan konum indeksi (P) değerleri çizelge 4.2 de verilmiştir.

Çizelge - 4.1 Ağızın görüninen alamını (A), hesap etmek için gerekli veriler

45

T/H	0,5			1,5			2,5			3,5			4,5			5,5		
	R/H	H/D	R/D	T/D	H/D	R/D	T/D	H/D	R/D	T/D	H/D	R/D	T/D	H/D	R/D	T/D	H/D	R/D
0,5	0,816	0,408	0,408	0,535	0,802	0,267	0,365	0,913	0,183	0,272	0,953	0,136	0,216	0,97	0,108	0,178	0,98	0,089
1,5	0,535	0,267	0,802	0,426	0,64	0,64	0,324	0,811	0,487	0,254	0,889	0,381	0,206	0,928	0,309	0,173	0,95	0,259
2,5	0,365	0,183	0,913	0,324	0,487	0,811	0,272	0,68	0,68	0,226	0,793	0,566	0,191	0,858	0,477	0,163	0,898	0,408
3,5	0,272	0,136	0,953	0,254	0,381	0,889	0,226	0,566	0,793	0,198	0,693	0,693	0,173	0,777	0,605	0,152	0,834	0,531
4,5	0,216	0,108	0,97	0,206	0,309	0,928	0,191	0,477	0,858	0,173	0,605	0,777	0,155	0,699	0,699	0,139	0,766	0,627
5,5	0,178	0,089	0,98	0,173	0,259	0,95	0,163	0,408	0,898	0,152	0,531	0,834	0,139	0,627	0,766	0,128	0,701	0,701
6,5	0,152	0,076	0,986	0,148	0,222	0,964	0,142	0,355	0,924	0,134	0,47	0,873	0,125	0,565	0,816	0,117	0,642	0,758
7,5	0,132	0,066	0,989	0,13	0,194	0,972	0,125	0,314	0,941	0,12	0,42	0,9	0,114	0,511	0,852	0,107	0,588	0,802
8,5	0,117	0,058	0,991	0,115	0,173	0,978	0,112	0,28	0,953	0,108	0,379	0,919	—	—	—	—	—	—
9,5	0,105	0,052	0,993	0,103	0,155	0,982	0,101	0,253	0,962	0,098	0,344	0,934	—	—	—	—	—	—
10,5	0,095	0,047	0,994	0,094	0,141	0,986	0,092	0,231	0,969	0,09	0,315	0,945	—	—	—	—	—	—
11,5	0,087	0,043	0,995	0,086	0,129	0,988	0,085	0,212	0,974	0,083	0,29	0,953	—	—	—	—	—	—

Çizelge 4.2 - Konum İndeksi (P) Değerleri Çizelgesi

		Konum İndeksi																				
	H/R	.00	.10	.20	.30	.40	.50	.60	.70	.80	.90	1.00	1.1	1.20	1.30	1.40	1.50	1.60	1.70	1.80	1.90	
T/R		0.00	1.00	1.26	1.53	1.90	2.35	2.86	3.50	4.20	5.00	6.00	7.00	8.10	9.25	10.35	11.70	13.50	14.70	16.20	-	
0.00		1.00	1.05	1.22	1.46	1.80	2.20	2.75	3.40	4.10	4.80	5.80	6.80	8.00	9.10	10.30	11.60	13.00	14.60	16.10	-	
.10		1.05	1.12	1.30	1.50	1.80	2.20	2.66	3.18	3.88	4.60	5.50	6.50	7.60	8.75	9.85	11.20	12.70	14.00	15.70	-	
.20		1.12	1.22	1.38	1.60	1.87	2.25	2.70	3.25	3.90	4.60	5.45	6.45	7.40	8.40	9.50	10.85	12.10	13.70	15.00	-	
.30		1.22	1.32	1.47	1.70	1.96	2.35	2.80	3.30	3.90	4.60	5.40	6.40	7.30	8.30	9.40	10.60	11.90	13.20	14.60	16.00	
.40		1.32	1.43	1.60	1.82	2.10	2.48	2.91	3.40	3.98	4.70	5.50	6.40	7.30	8.30	9.40	10.50	11.75	13.00	14.40	15.70	
.50		1.43	1.55	1.72	1.98	2.30	2.65	3.10	3.60	4.10	4.80	5.50	6.40	7.35	8.40	9.40	10.50	11.70	13.00	14.40	15.40	
.60		1.55	1.60	1.72	1.88	2.12	2.48	2.87	3.20	3.78	4.30	4.88	5.60	6.50	7.40	8.50	9.50	10.50	11.70	12.85	14.00	15.20
.70		1.40	1.80	2.00	2.32	2.70	3.08	3.50	3.92	4.50	5.10	5.75	6.60	7.50	8.60	9.50	10.60	11.75	12.80	14.00	15.10	-
.80		1.82	2.20	2.54	2.90	3.30	3.70	4.20	4.75	5.30	6.00	6.75	7.70	8.70	9.65	10.75	11.80	12.90	14.00	15.00	16.00	-
.90		1.95	2.11	2.40	2.75	3.10	3.50	3.91	4.40	5.00	5.60	6.20	7.00	7.90	8.80	9.75	10.80	11.90	12.95	14.00	15.00	16.00
1.00		2.30	2.55	2.92	3.30	3.72	4.20	4.70	5.25	5.80	6.55	7.20	8.15	9.00	9.90	10.95	12.00	13.00	14.00	15.00	16.00	-
1.10		2.40	2.75	3.12	3.50	3.90	4.35	4.85	5.50	6.05	6.70	7.50	8.30	9.20	10.00	11.02	12.10	13.10	14.00	15.00	16.00	-
1.20		2.55	2.90	3.30	3.70	4.20	4.65	5.20	5.70	6.30	7.00	7.70	8.55	9.35	10.20	11.20	12.25	13.20	14.00	15.00	16.00	-
1.30		2.70	3.10	3.50	3.90	4.35	4.85	5.35	5.85	6.50	7.25	8.00	8.70	9.50	10.40	11.40	12.40	13.25	14.00	15.00	16.00	-
1.40		3.10	3.50	3.90	4.35	4.85	5.35	5.85	6.50	7.25	8.00	8.70	9.50	10.40	11.40	12.40	13.25	14.05	15.00	16.00	-	
1.50		2.85	3.15	3.65	4.10	4.55	5.00	5.50	6.20	6.80	7.50	8.20	8.85	9.70	10.55	11.50	12.50	13.30	14.05	15.05	16.00	-
1.60		2.95	3.40	3.80	4.25	4.75	5.20	5.75	6.30	7.00	7.65	8.40	9.00	9.80	10.80	11.75	12.60	13.40	14.20	15.10	16.00	-
1.70		3.10	3.55	4.00	4.50	4.90	5.40	5.95	6.50	7.20	7.80	8.50	9.20	10.00	10.85	11.85	12.75	13.45	14.20	15.10	16.00	-
1.8		3.25	3.70	4.20	4.65	5.10	5.60	6.10	6.75	7.40	8.00	8.65	9.35	10.10	11.00	11.90	12.80	13.50	14.20	15.10	16.00	-
1.9		3.43	3.86	4.30	4.75	5.20	5.70	6.30	6.90	7.50	8.17	8.80	9.50	10.20	11.00	12.00	12.82	13.55	14.20	15.10	16.00	-
2.00		3.50	4.00	4.50	4.90	5.35	5.80	6.40	7.10	7.70	8.30	8.90	9.60	10.40	11.10	12.00	12.85	13.60	14.30	15.10	16.00	-
2.10		3.60	4.17	4.65	5.05	5.50	6.00	6.60	7.20	7.82	8.45	9.00	9.75	10.50	11.20	12.10	12.90	13.70	14.35	15.10	16.00	-
2.20		3.75	4.25	4.72	5.20	5.60	6.10	6.70	7.35	8.00	8.55	9.15	9.85	10.60	11.30	12.10	12.90	13.70	14.40	15.20	16.00	-
2.30		3.85	4.35	4.80	5.25	5.70	6.22	6.80	7.40	8.10	8.65	9.30	9.90	10.70	11.40	12.20	12.95	13.70	14.45	15.20	16.00	-
2.40		3.95	4.40	4.90	5.35	5.80	6.30	6.90	7.50	8.20	8.80	9.40	10.00	10.80	11.50	12.25	13.00	13.75	14.50	15.25	16.00	-
2.50		4.00	4.50	4.95	5.40	5.85	6.40	6.95	7.55	8.25	8.85	9.50	10.05	10.85	11.55	12.30	13.00	13.80	14.50	15.25	16.00	-
2.60		4.07	4.55	5.05	5.47	5.95	6.45	7.00	7.65	8.35	8.95	9.55	10.10	10.90	11.60	12.32	13.00	13.80	14.50	15.25	16.00	-
2.70		4.10	4.60	5.10	5.53	6.00	6.50	7.05	7.70	8.40	9.00	9.60	10.16	10.92	11.63	12.35	13.00	13.80	14.50	15.25	16.00	-
2.80		4.15	4.62	5.15	5.56	6.05	6.55	7.08	7.73	8.45	9.05	9.65	10.20	10.95	11.65	12.35	13.00	13.80	14.50	15.25	16.00	-
2.90		4.20	4.65	5.17	5.60	6.07	6.57	7.12	7.75	8.50	9.10	9.70	10.23	10.95	11.65	12.35	13.00	13.80	14.50	15.25	16.00	-
3.00		4.22	4.67	5.20	5.6	6.12	6.60	7.15	7.80	8.55	9.12	9.70	10.23	10.95	11.65	12.35	13.00	13.80	14.50	15.25	16.00	-

Arkaplan ışıklılığı (L_b):

Bu büyülüük, ortam duvarlarında oluşan toplam aydınlığın, yansmış aydınlik düzeyi bileşenidir ve aşağıdaki 4.8 nolu formül aracılığı ile hesap edilir.

$$L_b = \frac{UF(W, ID) \times F \times N}{\pi \times A(W)} \quad (4.8)$$

Burada. **A(W)**: Bakış düzleminde geçen yatay düzlem ile aygıtların bulunduğu yatay düzlem arasında kalan duvarların toplam alanı (m^2)

F : Lamba ışık akısı (lumen)

N : Lamba sayısı

UF(W, ID) : Ortam duvarlarında oluşan yansmış ışığa bağlı olan kullanma çarpanı olup aşağıdaki gibi hesaplanır.

$$UF(W, ID) = DF(F) \times TF(F, W) + DF(C) \times (TF(W, W) - 1) + DF(C) \times TF(C, W) \quad (4.9)$$

Burada ise:

Kullanma Çarpanı (Utilisation Factor) UF(S):

Bir yüzeyin (S). kullanma çarpanı, yüzeye gelen toplam yansmış ışık akısının, lambadan çıkan toplam ışık akısına oranıdır.

Dağıtma Çarpanı (distribution factor) DF(S):

Bir yüzeyin (S) dağıtma çarpanı, yüzeye gelen dolaysız ışık akısının, lambadan çıkan toplam ışık akısına olan oranıdır. DF(F), DF(W), DF(C) hacimdeki, döşeme, duvar ve tavanın dağıtma çarpanını simgeler.

Aktarım Çarpanı (Transfer Factor) TF(S1, S2):

S1 yüzeyinden, S2 yüzeyine olan aktarım çarpanı TF(S1, S2). S1 yüzeyini aydınlatan ışık akısının bir sonucu olarak, S2 yüzeyine düşen toplam ışık akısının, S1 yüzeyine düşen dolaysız ışık akısına oranıdır. S1 ve S2 yüzeyleri farklı ise $TF < 1$ dir. Eğer ikisi aynı yüzeyse $TF > 1$ dir.

(4.9 nolu formülde parantez içinde olan F.W.C harfleri, sırası ile odanın, döşemesini, duvarlarını ve tavanını simgeler. Örneğin TF(C,F) Tavandan dösemeye olan aktarım çarpanı gibi.)

4.1.1.1.1 Kamaşma Değişmezi (g) Değerine Göre Konforsuzluk Kamaşmasının Değerlendirilmesi

Yukarıda verilen 4.1 nolu formül aracılığı ile hesaplanan, *kamaşma değişmezi (g)* değerine bağlı olarak, konforsuzluk kamaşmasının kişide yaratığı duyulanmaya ilişkin değerlendirme çizelge 4.3'de verilmiştir.

Çizelge 4.3-Kamaşma değişmezi değerine göre, konforsuzluk kamaşmasının değerlendirme değerlendirilmesi (Hopkinson R.G.,et. al., Architectural Physics Lighting, 1963)

Kamaşma Değişmezi (g)	Kamaşma Derecesi
600	Hemen hemen katlanılmaz
600-150	Rahatsızlık verici
150	Hemen hemen rahatsızlık verici
150-35	Dikkat dağıtıcı, ancak rahatsızlık verici değil
35	Ancak kabul edilebilir.
35-8	Kabul edilebilir, ancak hissedilmez değil
8	Hemen hemen hissedilmez

4.3 nolu çizelgeden de anlaşılabileceği gibi, yapay bir ışık kaynağının, sözkonusu gözleme noktasına göre oluşturduğu kamaşma değişmezi değeri, 8 ile 35 arasında olduğunda, konforsuzluk kamaşması açısından önemli bir sorun yoktur. Kamaşma değişmezi değeri, 35 ile 150 arasında olduğunda, konforsuzluk kamaşması, rahatsızlık vericidir ve etkileri, zaman ve işlevin gerektirdiği dikkate bağlı olarak artar. Kamaşma değişmezinin değeri, 150 ile 600 arasında olduğunda, kamaşmanın etkileri, kendini hemen belli eder ve kısa sürede kişide rahatsızlık ve yorgunluğa neden olur. Kamaşma değişmezi değerinin 600 ve üzeri olması ise, söz konusu ortamda, sözkonusu aygit ile görsel işlevin gerçekleştirilmesinin olanaksız olduğunu gösterir.

Sonuç olarak, belli bir ışık kaynağı ile yapılan aydınlatma düzeneinde, sözkonusu ışık kaynağının, genel görme alanı ve genel bakış doğrultusu için kamaşma değişmezi değerinin, 8 ile en fazla 150 arasında olması gereklidir.

4.1.1.2 Kamaşma İndeksinin (GI) Hesaplanması

Ortamda birden fazla ışık kaynağı varsa, herbirinin kamaşma değişmezleri yukarıda verilen formül ile hesaplanır. Aydınlatma düzeninin *kamaşma indeksi* ise, her kaynak için hesaplanan kamaşma değişmezlerinin ($g_1, g_2, g_3, \dots, g_n$) aşağıdaki 4.10 nolu formül uyarınca toplanması ile belirlenir.

$$GI = 10 \log_{10} [0.5(g_1 + g_2 + g_3 \dots g_n)] \quad (4.10)$$

4.1.1.2.1 Kamaşma İndeksi (G) Değerine Göre Konforsuzluk Kamaşmasının Değerlendirilmesi

Herhangi bir ortamda, 4.10 nolu formül uyarınca hesaplanan kamaşma indeksinin değerine göre, konforsuzluk kamaşmasının kişide yarattığı duyulanmaya ilişkin değerlendirme çizelge 4.4'de verilmiştir.

Çizelge 4.4-Kamaşma İndeksinin değerine göre konforsuzluk kamaşmanın değerlendirilmesi
(Architectural Physics Lighting, R. G. Hopkinson, 1963)

Kamaşma Derecesi	Kamaşma İndeksi (G)
Hemen hemen hissedilmez	10
	13
Ancak kabul edilebilir	16
	19
Rahatsızlık verici	22
	25
Katlanılmaz rahatsızlık	28

Çizelge 4.4'den de anlaşıldığı gibi, bir aydınlatma düzeninin, görsel konfor koşullarını sağlayabilmesi için, genel görme alanı içinde ve genel bakış doğrultusundaki kamaşma indeksi değerinin 22'yi kesinlikle aşmaması gereklidir. Kamaşma indeksi değerinin 10 ile 16 arasında olması ise, görsel konfor açısından gerekli koşulu sağlar.

4.1.2 Kamaşma İndeksi Hesabının Kolaylaştırılması

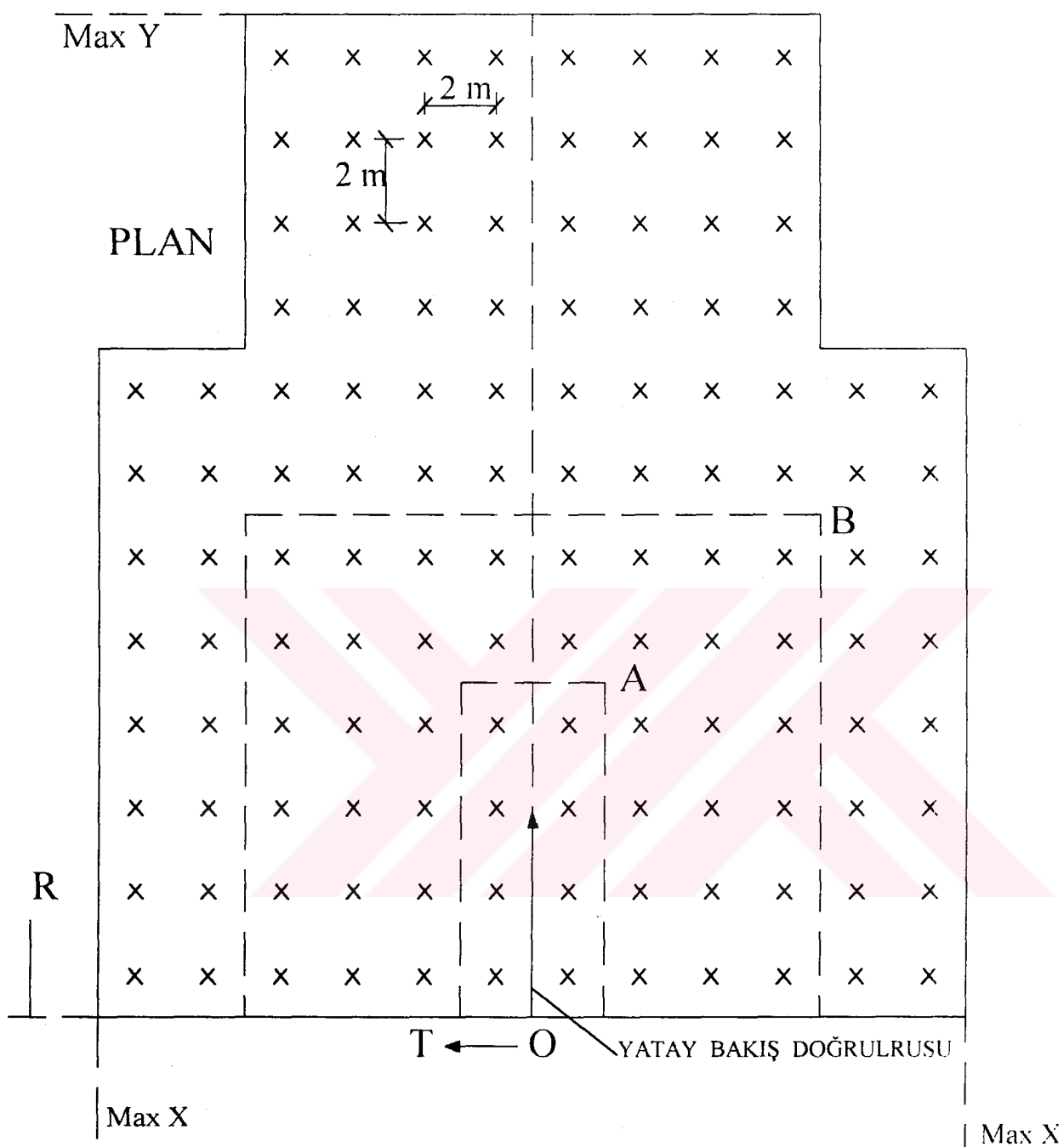
CIBSE, 4.1 nolu bölümde, hesaplanma biçimini anlatılan, *kamaşma indeksine* kullanım kolaylığı getirmek amacıyla, ortam koşullarında belli varsayımların yapıldığı hacimler için, bölüm 4.1.1 de verilen, 4.1 nolu kamaşma değişmezi formülünü yeniden düzenleyerek, belli çizelgelerin hazırlanmasını sağlamıştır.

Genellikle aygit üreten firmalar tarafından, CIBSE'nin geliştigi "kamaşma indeksi yöntemi" ile, hazırlanan ve *Düzeltilmemiş Kamaşma Indeksleri (Uncorrected Glare Indices, UGI)* olarak adlandırılan bu çizelgelerin, geçerli olduğu ortamlarda kabul edilen varsayımlar aşağıda verilmiştir.

4.1.2.1 Düzeltilmemiş Kamaşma İndeksi (UGI) Çizelgelerinin Oluşturulmasında Yapılan Varsayımlar

Belli bir aygit için verilen UGI çizelgesi hazırlanırken, ortam koşulları ile ilgili yapılan varsayımlar aşağıdaki gibidir.

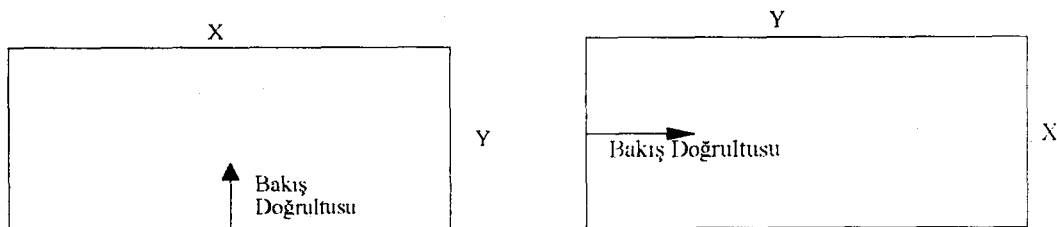
- Işık kaynakları, şekil 4.4 de görüldüğü gibi, 2m aralıklarla, düzgün olarak yerleştirilmiştir.
- Gözlemcinin konumu, arka duvarın orta noktasında (O) ve bakış doğrultusu karşı duvarın merkezini görecek biçimdedir (Bkz. şekil 4.4).
- Bakış doğrultusundan geçen yatay düzlemin yerden yüksekliği 1.2 m olarak alınmıştır ($h=1.2m$; Bkz. şekil 4.6)
- Aygitların, bakış doğrultusundan geçen yatay düzlemden olan yüksekliği, 2m olarak belirlenmiştir ($H=2 m$; Bkz. şekil 4.6).
- Aygit aralığının, aygit yüksekliğine oranı 1 olarak seçilmiştir ($SHR=1$).
- Yatay düzlem ile aygitların bulunduğu düzlem arasında kalan duvarların yükseklikleri 2m alınmıştır. ($H=2m$; Bkz şekil 4.6).
- Oda eni (X), bakış doğrultusuna dik; oda boyu (Y), bakış doğrultusuna paralel kenar olacak biçimde, aygit yüksekliğine (H) bağlı olarak tanımlanmıştır. (Bkz.Şekil 4.4 ve 4.5.
- Her bir aygitin ışık akısı 1000 lm olarak belirlenmiştir.



Şekil 4.4 -Aygıtların standard düzeni (A ve B 19 oda biçimine örnek olarak verilmiştir.)

$$A : X = 2H \quad Y = 4H$$

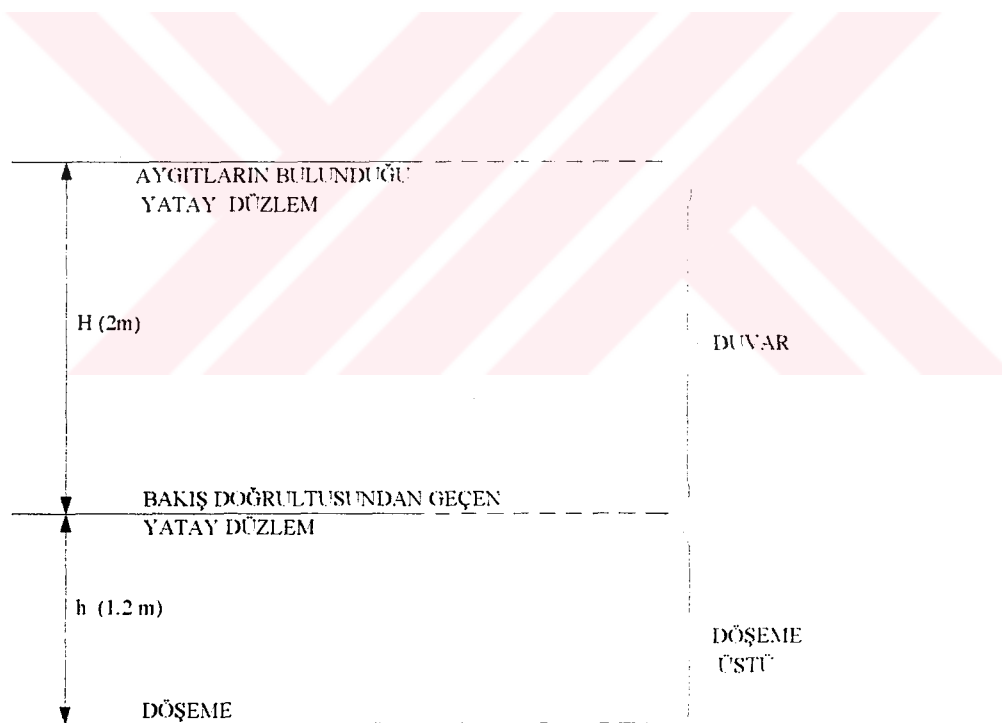
$$B : X = 8H \quad Y = 6H$$



Şekil 4.5-Oda boyutlarının bakış doğrultusuna göre konumu

X: H cinsinden, bakış doğrultusuna dik oda kenarı

Y: H cinsinden, bakış doğrultusuna paralel oda kenarı



Şekil 4.6-Yüksekliklerle ilgili yapılan varsayımlar

4.1.2.2 Düzeltilmemiş Kamaşma İndeksi

Kamaşma Değişmezi formülünün Yeniden Düzenlenmesi:

Bölüm 4.1.2 de belirtildiği gibi, düzeltilmemiş kamaşma indeksi değerleri hesaplanırken, hacimde bulunan her ışık kaynağının neden olduğu kamaşmanın bulunması için, bölüm 4.1.1 de verilen 4.1 nolu kamaşma değişmezi formülü yeniden düzenlenmiştir, ve aşağıda verilen 4.11 nolu formül biçimine dönüştürülmüştür.

$$\begin{aligned} g &= 0.9 \frac{I_{\theta\phi}^{1.6}}{A^{1.6}} \times \frac{A^{0.8}}{D^{1.6}} \times \frac{1}{P^{1.6}} \times \frac{\pi}{E(W, ID)} \\ g &= K \times \frac{I_{\theta\phi}^{1.6}}{A^{0.8}} \times \frac{1}{E(W, ID)} \end{aligned} \quad (4.11)$$

Burada,

$$K = \frac{0.9\pi}{P^{1.6} \cdot D^{1.6}} \quad (4.12)$$

4.11 nolu formüldeki değişkenlerin tanımı ve hesabı, bölüm 4.1.1 de anlatıldığı biçimdedir.

- Hesap kolaylığı açısından K değerleri, T/D ve R/H bağlı olarak, yatay (ϕ) ve düşey (θ) açıları ile birlikte, 4.5 nolu çizelgeden alınabilir.
- E (W.ID) yansımış ışık akısının duvarlarda oluşturduğu aydınlik düzeyi ise, 4.13 nolu formül aracılığı ile bulunur.

$$E(W, ID) = \frac{UF(W, ID) \times N \times 1000}{A(W)} \quad (4.13)$$

Burada: N: Aygit sayısı

A(W): Yararlı düzleme, aygıtların bulunduğu, yatay düzlem arasında kalan duvarların toplam alanı (m^2)

olarak verilmiştir.

Çizelge-4.6 Duvarlarda yansıtılmış ışığın oluşturduğu aydınlığın (E,W,İD), hcsabı için gerekli veriler

Oda Boyutları X Y	Oda İndeksi	Aygıt Sayısı N	Duvar Alanı m ² A(W)	C
2H	2H	1.00	4.00	32.00 125.00
3H	3H	1.20	6.00	40.00 150.00
4H	4H	1.33	8.00	48.00 166.67
6H	6H	1.50	12.00	64.00 187.50
8H	8H	1.60	16.00	80.00 200.00
12H	12H	1.71	24.00	112.00 214.29
4H	2H	1.83	8.00	48.00 166.67
3H	3H	1.71	12.00	56.00 214.29
4H	4H	2.00	16.00	64.00 250.00
6H	6H	2.40	24.00	80.00 300.00
8H	8H	2.67	32.00	96.00 333.33
12H	12H	3.00	48.00	128.00 375.00
8H	4H	2.67	32.00	96.00 333.30
6H	6H	3.43	48.00	112.00 428.57
8H	8H	4.00	64.00	128.00 500.00
12H	12H	4.80	96.00	160.00 600.00
12H	4H	3.00	48.00	128.00 375.00
6H	6H	4.00	72.00	144.00 500.00
8H	8H	4.80	96.00	160.00 600.00

$$\frac{1000 \times N}{A(W)} = C \quad (4.14)$$

olarak gösterildiğinde, E(W.ID)'nin hesabı, 4.15 nolu formülde olduğu gibi daha basit bir biçim alır.

$$E(W, ID) = C \times UF(W, ID) \quad (4.15)$$

- Duvarlarda yansmış ışığın oluşturduğu aydınlichkeitin hesaplanması için gerek veriler, çizelge 4.6'da, UF(W.ID) değerlerinin hesaplanabilmesi için aktarım çarpanları (transfactor factor) değerleri ise, çizelge 4.7 de verilmiştir.

Düzeltilmemiş Kamaşma İndeksi (UGI) Değerlerinin Hesabı

Yukarıda açıklaması yapılan, 4.11 nolu formül ve verilen çizelgeler aracılığı ile, ortamda bulunan her aygitin için, kamaşma değişmezi hesap edilir. Ancak, uygulama alanında aygitların düzeni, gözlemeçinin bakış doğrultusuna göre bakışlı olduğundan, aydınlatma düzeninde bulunan aygitların yarısı için kamaşma değişmezinin hesaplanması yeterli olur.

Bulunan kamaşma değişmezi değerlerinin, 4.16 nolu formül uyarınca logaritmik olarak toplanması ile sözkonusu aygitların, belli koşullardaki o ortamda, neden olabileceği kamaşmanın değeri bulunur.

$$\text{Düzeltilmemiş Kamaşma indeksi (UGI)} = 10 \log_{10} \left(0.5 \sum g \right) \quad (4.16)$$

Düzeltilmemiş Kamaşma İndeksi Çizelgesi

Varsayımlar uyarınca oluşturulan bir aydınlatma düzeneinde bulunan, aynı tipteki tüm aygitlar için, kamaşma değişmezinin hesaplanması logaritmik olarak toplanması işlemi, 19 ayrı oda biçimini ve 5 değişik yüzey ışık yansıtma çarpanının kombinasyonu ile oluşan tüm ortamlar için ayrı ayrı uygulanır. Bunun sonucunda, söz konusu aygitin, bölüm 4.1.2 de belirtilen ortam koşullarında kullanılması durumunda geçerli olan, tüm düzeltilmemiş kamaşma indeksi değerleri hesaplanmış olur. Bu değerler aracılığı ile sözkonusu aygit için geçerli olan düzeltilmemiş kamaşma indeksi (UGI) çizelgesi hazırlanır.

Çizelge - 4.5 Aygıtlar için T/H ve R/H 'a bağlı olarak hesaplanan, yatay ve düşey açı, ve K değerleri

T/H	0,50			1,50			2,50			3,50			4,50			5,50		
R/H	\mathbf{f}	\mathbf{q}	\mathbf{K}	\mathbf{f}	\mathbf{q}	\mathbf{K}	\mathbf{f}	\mathbf{q}	\mathbf{K}	\mathbf{f}	\mathbf{q}	\mathbf{K}	\mathbf{f}	\mathbf{q}	\mathbf{K}	\mathbf{f}	\mathbf{q}	\mathbf{K}
0,5	45,00	35,30	N.A	71,60	57,70	N.A	78,70	68,60	N.A	81,90	74,20	N.A	25,60	15,90	N.A	43,80	29,90	N.A
1,5	18,40	57,70	0,04	45,00	64,80	0,02	59,00	71,10	0,01	66,80	75,30	0,00	18,40	57,70	0,04	45,00	64,80	0,00
2,5	11,30	68,60	0,05	31,00	71,10	0,03	45,00	74,20	0,02	54,50	76,90	0,01	11,30	68,60	0,05	31,00	71,10	0,00
3,5	8,10	74,20	0,05	23,20	75,30	0,04	35,50	76,90	0,02	45,00	78,60	0,01	8,10	74,20	0,05	23,20	75,30	0,01
4,5	6,30	77,50	0,04	18,40	78,10	0,03	29,10	79,00	0,02	37,90	80,10	0,01	6,30	77,50	0,04	18,40	78,10	0,01
5,5	5,20	79,70	0,03	15,30	80,10	0,03	24,40	80,60	0,02	32,50	81,30	0,02	5,20	79,70	0,03	15,30	80,10	0,01
6,5	4,40	81,30	0,03	13,00	81,50	0,03	21,00	81,80	0,02	28,30	82,30	0,02	4,40	81,30	0,03	13,00	81,50	0,01
7,5	3,80	82,40	0,02	11,30	82,60	0,02	18,40	82,80	0,02	25,00	83,10	0,01	3,80	82,40	0,02	11,30	82,60	0,01
8,5	3,40	83,30	0,02	10,00	83,40	0,02	16,40	83,60	0,02	22,40	83,80	0,01	3,40	83,30	0,02	10,00	83,40	
9,5	3,00	84,00	0,02	9,00	84,10	0,02	14,70	84,20	0,02	20,20	84,40	0,01	3,00	84,00	0,02	9,00	84,10	
10,5	2,70	84,60	0,02	8,10	84,60	0,02	13,40	84,70	0,01	18,40	84,80	0,01	2,70	84,60	0,02	8,10	84,60	
11,5	2,50	85,00	0,01	7,40	85,10	0,01	12,30	85,10	0,01	16,90	85,20	0,01	2,50	85,00	0,01	7,40	85,10	

N.A - Bu aygıtlar görüş alan dışındadır.

Çizelge 4.7 - Aktarım Çarpanı Değerleri

Yansıtma Çarpanı

						Oda indeksi (RI)					
C	W	F	TF	1.000	1.250	1.500	2.000	2.500	3.000	4.000	5.000
70	50	20	TF(F,W)	0.220	0.194	0.173	0.142	0.121	0.105	0.083	0.068
			TF(W,W)-1	0.422	0.367	0.324	0.265	0.224	0.195	0.155	0.129
			TF(C,W)	0.646	0.555	0.486	0.389	0.324	0.277	0.215	0.176
70	30	20	TF(F,W)	0.188	0.169	0.153	0.129	0.111	0.097	0.078	0.065
			TF(W,W)-1	0.217	0.192	0.172	0.144	0.123	0.108	0.088	0.074
			TF(C,W)	0.553	0.484	0.430	0.351	0.297	0.257	0.203	0.168
50	50	20	TF(F,W)	0.198	0.173	0.153	0.125	0.105	0.091	0.071	0.058
			TF(W,W)-1	0.381	0.329	0.290	0.235	0.198	0.172	0.137	0.114
			TF(C,W)	0.445	0.382	0.334	0.267	0.222	0.190	0.147	0.121
50	30	20	TF(F,W)	0.172	0.153	0.137	0.114	0.097	0.085	0.067	0.056
			TF(W,W)-1	0.198	0.174	0.156	0.129	0.110	0.097	0.078	0.065
			TF(C,W)	0.386	0.337	0.299	0.244	0.205	0.178	0.140	0.115
30	30	20	TF(F,W)	0.157	0.138	0.122	0.100	0.085	0.073	0.058	0.048
			TF(W,W)-1	0.181	0.158	0.140	0.115	0.098	0.086	0.069	0.058
			TF(C,W)	0.227	0.198	0.175	0.142	0.120	0.103	0.081	0.067

4.1.2.3 Belli Bir Aydınlatma Aygitinin Düzeltilmemiş Kamaşma İndeksi Çizelgesinin (UGI) Oluşturulmasında İzlenebilecek İşlem Sırası ve Bir Örnek

Bölüm 4.1.2.1 de anlatılan varsayımlar uyarınca, bölüm 4.1.2.2 de anlatılan yöntem aracılığı ile, belli bir aydınlatma aygitinin, düzeltilmemiş kamaşma indeksi (UGI) çizelgesinin hazırlanması için izlenebilecek işlem sırası aşağıda verilmiştir.

1) Aygit ile ilgili özelliklerin belirlenmesi:

Seçilen aygit ile ilgili.

- Aygit tipinin ve aydınlatma biçiminin, belirlenmesi
- Aygitin boyutlarının belirlenmesi.
- Aygitin yüzey alanlarının (A_E , A_S , A_B) belirlenmesi.
- Aygitin ışık yoğunluğu ile ilgili kapsamlı verinin sağlanması gereklidir.

2) Oda ile ilgili özelliklerin belirlenmesi:

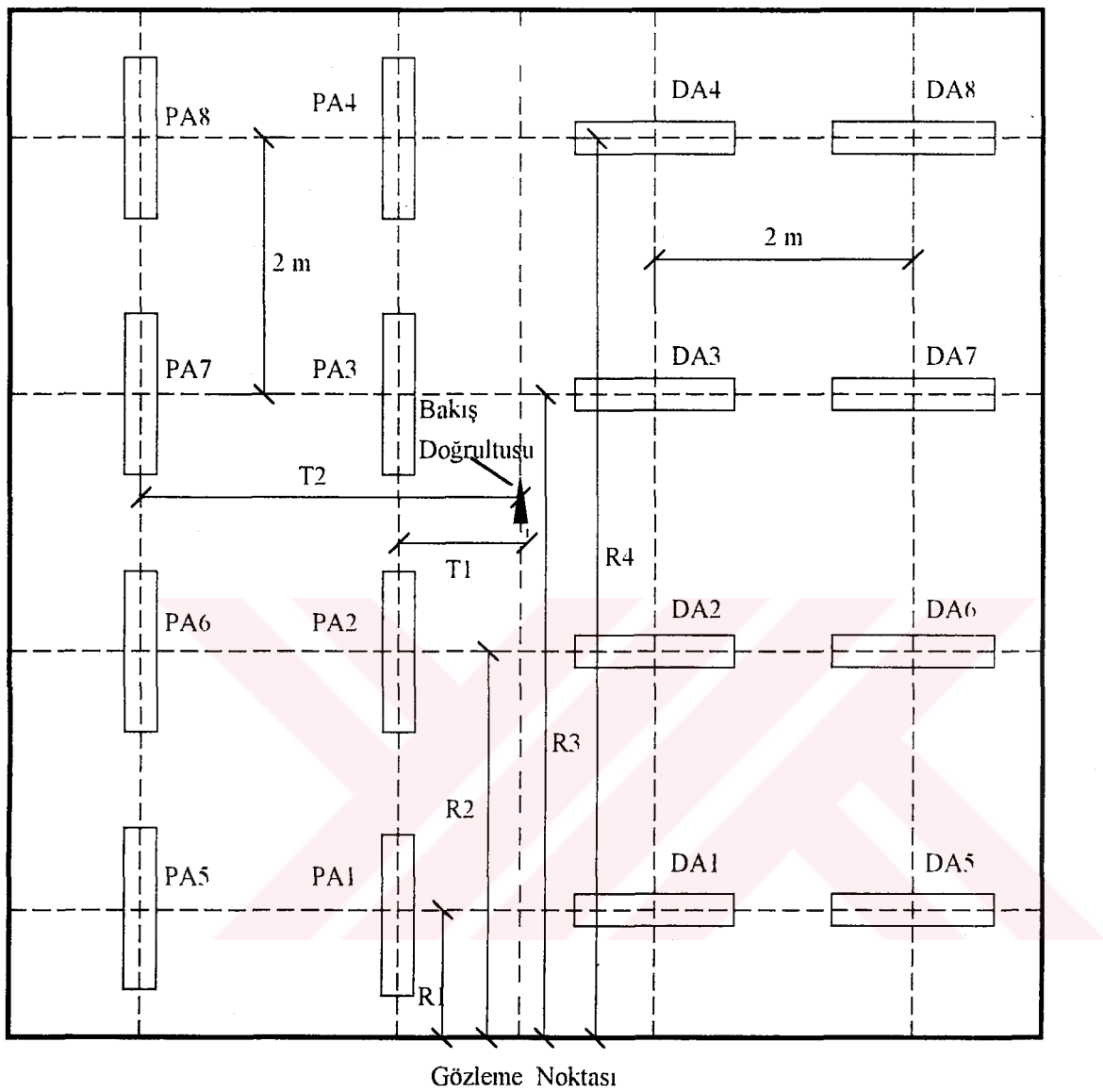
Varsayımlar uyarınca belirlenen oda ile ilgili.

- Odanın boyutuna bağlı olarak, çizelge 4.6'dan dösemdeki aygit sayısının belirlenmesi (Aygıtların yerlesimi varsayımlar uyarınca bakış doğrultusuna göre bakışlı olduğundan hesaplarda, aygit sayısının yarısı ile işlemler yapılır.)
- Aygitların, şekil 4.7'de görüldüğü gibi, varsayımlar uyarınca yerleştirilmesi.
- Oda boyutuna bağlı olarak, çizelge 4.6 dan oda indeksinin(RI) belirlenmesi.
- Oda boyutuna bağlı olarak, çizelge 4.6 dan C değerinin belirlenmesi gereklidir.

3) Ortamda bulunan aygitların konumu ile ilgili verilerin sağlanması:

Sözkonusu aygitin, boyutları belli oda içine varsayımlara göre bakış doğrultusuna dik ve paralel olarak yerleştirilmesi sonucu. (Bkz. Sekil 4.7)

- Ortamda bulunan her aygit merkezinin, bakış doğrultusundan geçen yatay düzlemden olan düşey uzaklar (H).
- Bakış doğrultusu ile, ortamda bulunan her aygit merkezinin, yatay düzlemdaki iz düşüm noktası arasında kalan dik uzunluklar (T).
- Ortamda bulunan her aygit merkezinin, yatay düzlemdeki izdüşüm noktalarından, bakış doğrultusuna çıkan diklerin, bu doğruya kestiği noktalarla, gözlem noktası arasında kalan uzunluklar (R) belirlenir.



Şekil 4.7- Yapay ışık kaynaklarının Düzeltilmemiş Kamaşma İndeksi (UGI) çizelgelerinin hazırlanması için, kabul edilen varasıyimlar uyarınca, bakış doğrultusuna dik ve paralel olarak yerleşimi. (Kaynakların yerleşimi, gözleme noktasına göre simetrik olduğundan ve hesaplar odanın bir yarısı için yapıldığından, iki tür yerleşim bir şekil üzerinde gösterilmiştir.)

4) Söz konusu aygıtın görünen yüzey alanlarının (A) ve gözleme noktası doğrultusundaki ışık yoğunluğu değerinin ($\phi\theta\phi$) bulunması. (hesapçızelgesi 1)

Ortamdağı aygıtların, gözleme noktasına göre görünen alan (A) değerlerinin ve her aygıtın gözleme noktası doğrultusundaki ışık yoğunluğu değerinin bulunması için, hesapçızelgesi 1'in oluşturulmasında izlenecek işlem sırası aşağıda verilmiştir.

- Aygıtların kodu, hesapçızelgesi 1'in 1. kolonuna yazılır. (Bkz. şekil 4.7)
- Belirlenen H değerleri, 1. hesapçızelgesinin 2. kolonuna yazılır.
- Belirlenen T değerleri, 1. hesapçızelgesinin 3. kolonuna yazılır.
- Belirlenen R değerleri, 1. hesapçızelgesinin 4. kolonuna yazılır.
- Formül 4.6 uyarınca hesaplanan D değerleri, 1. hesapçızelgesinin 5. kolonuna yazılır.
- T/H, R/H değerleri, 1. hesapçızelgesinin sırasıyla 6. ve 7. kolonlarına yazılır.
- R/D ve T/D değerleri, çizelge 4.1 den alınarak ya da hesaplanarak, 1. hesapçızelgesinin sırasıyla 8., 9. ve 10. kolonlarına yazılır.
- Ortamdağı aygıtların, gözleme noktasına göre görünen alan (A) değerleri, formül 4.5a ve b uyarınca hesaplanarak, 1. hesapçızelgesinin 11. kolonuna yazılır.
- ϕ ve θ açılarının değerleri, sırası ile, 4.3 ve 4.4 nolu formüller ile hesaplanarak ya da T/H ve R/H'a bağlı olarak çizelge 4.5 den alınarak, 1. hesapçızelgesinin 12. ve 13. kolonlarına yazılır.
- 12. ve 13. kolonlarda bulunan ϕ ve θ değerlerine bağlı olarak, aygıtın ışık yoğunluğu çizelgesinden, lineer interpolasyon yapılarak, her aygıtın, bakis doğrultusu yönündeki ışık yoğunluğu değeri bulunur ve 1. hesapçızelgesinin 14. kolonuna yazılır. (Bkz. çizelge 4.8 hesapçızelgesi 1)

Çizelge 4.8 HESAPÇIZELGESİ 1

5) K değerinin bulunması. (Hesapçizelgesi 2)

4.11 nolu kamaşma değişmezi formülünde bulunan ve 4.12 nolu formül aracılığı ile hesaplanan K değerinin bulunması için, hesapçizelgesi 2'nin oluşturulmasında izlenecek işlem sırası aşağıdaki gibidir.

- Aygit kodları, hesapçizelgesi 2'nin 1. kolonuna yazılır. Ancak aygitların gözlem noktasına göre, dik ve paralel yerleşimi için, K değerleri aynı olduğundan, iki yerleşim için tek hesap yapılır.
- T/R ve H/R değerleri hesaplanarak 2. hesapçizelgesinin sırasıyla 2. ve 3. kolonlarına yazılır.
- Konum indeksi (P) değeri, T/R ve H/R değerlerine bağlı olarak, çizelge 4.2 den alınarak 2. hesapçizelgesinin 4. kolonuna yazılır.
- Hesapçizelgesi 1'in 5. kolonunda bulunan yatay uzunluk (D) değerleri 2. hesapçizelgesinin 5. kolonuna yazılır.
- K değerleri her aygit için ayrı ayrı, 4.12 nolu formül uyarınca hesaplanarak yada çizelge 4.5 den alınarak hesapçizelgesi 2'nin 6. kolonuna yazılır. (Bakınız çizelge 4.9 hesapçizelgesi 2)

6) U(W.ID) ve E(W.ID) değerlerinin hesaplanması. (Hesapçizelgesi 3)

Duvarlarda, yansımış ışık ile oluşan aydınlik düzeyinin (E W.ID), 4.15 nolu formül uyarınca hesabı için hesapçizelgesi 3'ün oluşturulmasında izlenecek işlem sırası aşağıda verilmiştir.

- UGI çizelgelerinde, beş ayrı, ortam yüzeyleri yansıtma çarpanı değerleri, hesapçizelgesi 3'ün 1. kolonuna yazılır.
- CIBSE tarafından yayımlanan Technical Memoranda TM5 'de (The Calculation and Use of Utilisation Factors) anlatılan yöntem uyarınca, değişik yüzey yansıtma çarpanlar için hesaplanan dağılım katsayıları, (Disturibition factor) DF(F), DF(W), DF(C) değerleri, sırası ile 3. hesapçizelgesinin 2..3. ve 4. kolonuna yazılır.
- Aktarım çarpanları (Transfer factors), TF(F.W), TF(W,W)-1 ve TF(C.W) değerleri, oda indeksine ve yüzey yansıtma çarpanlarına bağlı olarak, çizelge 4.7 ' den alınarak hesapçizelgesi 3 'ün, sırası ile 5.. 6. ve 7. kolonlarına yazılır.
- UF(W.ID) değerleri 4.9 nolu formül uyarınca, değişik 5 yüzey yansıtma çarpanı değerleri için hesaplanarak hesapçizelgesi 3 'ün 8. kolonuna yazılır.
- Duvarlardaki yansımış ışık ile oluşan aydınlik düzeyi (E W.ID) değeri, 4.15 nolu formül uyarınca, değişik 5 yüzey yansıtma çarpanı değerleri için hesaplanarak, hesapçizelgesi 3'ün 9. kolonuna yazılır.(Bakınız çizelge 4.10 hesapçizelgesi 3)

Çizelge 4.9
HESAPÇIZELGESİ 2

Firma Adı:
Aygit Kodu:

Aygit kodu	Oda Boyutu:					
	1	2	3	4	5	6
DP1	T/R	H/R	P	D	K	
DP2						
DP3						
DP n						

Çizelge 4.10
HESAPÇIZELGESİ 3

Firma Adı:
Aygit Kodu:

Y. Y. Çarpanları duv.. tav.. döş.	C =					
	1	2	3	4	5	6
70.. 50.. 20	DF(F)	DF(W)	DF(C)	TF(F,W)	TF(W,W)-1	TF(C,W)
70.. 30.. 20						
50.. 50.. 20						
50.. 30.. 20						
30.. 30.. 20						

7) Düzeltilmemiş kamaşma indeksi (UGI) değerlerinin bulunması. (Hesapçizelgesi 4)

Varsayımlar uyarınca boyutları belirlenen ortamda, sözkonusu aygit ile kurulan aydınlatma düzeninin, yüzey yansıtma çarpanı değişik 5 ayrı koşulda neden olabileceği kamaşma değerinin bulunması için, hesapçizelgesi 4'ün oluşturulmasında izlenecek işlem sırası aşağıdaki gibidir.

- Hesapçizelgesi 2'nin 6. kolonunda bulunan K değerleri, 4. hesapçizelgesinin, 2. kolonuna yazılır.
- Hesapçizelgesi 1'in 14. kolonunda bulunan $I\phi\theta$ değerleri, 4. hesapçizelgesinin 3. kolonuna yazılır.
- Hesapçizelgesi 1'in 11. kolonunda bulunan A değerleri, 4. hesapçizelgesinin 4. kolonuna yazılır.
- Hesapçizelgesi 3 'ün 1.,2..3..4. ve 5. sıralarında bulunan, ayrı yansıtma çarpanları için değişik değerler alan E (W.ID), 4. hesapçizelgesinin sırasıyla 5..6..7..8..ve 9.. kolonlarına yazılır.
- 4.11 nolu formül uyarınca her aygit için ve değişen yüzey yansıtma çarpanları için ayrı ayrı hesaplanan kamaşma değişmezi (g) değerleri sırası ile 4. hesapçizelgesinin, 10..11..12..13. ve 14. kolonlarına yazılır.
- 4 hesapçizelgesinin 10..11..12..13. ve 14. kolonlarında hesaplanan kamaşma değişmezi (g) değerleri, iki ile çarpılıp, 4.16 nolu formül uyarınca toplanarak, söz konusu odanın yüzey yansıtma çarpanlarının ayrı olduğu 5 durum için, düzeltilmemiş kamaşma indeksi (UGI) değerleri bulunur, ve en son kamaşma değişmezi (g) değerinin, altındaki satırda yazılır. (Bkz. çizelge 4.11 hesapçizelgesi 4)
- Sözkonusu satırda bulunan düzeltilmemiş kamaşma indeksi (UGI) değerleri, aygitin UGI çizelgesinin ilgili yerine taşınır. (Bakınız çizelge 4.12)

Yukarıda sıralanan işlemler sonucunda, söz konusu ortamda, sözkonusu aygit ile, varsayımlar uyarınca oluşturulmuş aydınlatma düzeninin neden olabileceği kamaşma (UGI) değerleri, 5 ayrı ortam ve aygitların bakiş doğrultusuna göre, iki türlü yerlesimi için bulunmuş olur.

Bu işlemlerin, 19 oda biçimini için ayrı ayrı tekrarlanması ile, söz konusu aygit için geçerli olan tüm düzeltilmemiş kamaşma indeksi (UGI) değerleri hesaplanmış olur. Bulunan bu değerlerle oluşan aygitin Düzeltilmemiş Kamaşma İndeksi (UGI) çizelgesinin genel görünüşü ise, çizelge 4.12'de olduğu gibidir.

Çizelge 4.11
HESAPÇIZELGESİ 4

Firma Adı:
Aygit Kodu:

Aygit Sayısı N :

Oda Boyutu:
Oda İndeksi RI :

		1	2	3	4	5	6	7	8	9	10	11	12	13	14
Aygit Kodu	K	Ifq	A	E 7.5.2	E 7.3.2	E 5.5.2	E 5.3.2	E 3.3.2	B 7.5.2	B 7.3.2	B 5.5.2	B 5.3.2	B 3.3.2		
DA1															
DA2															
DA3															
DA n															
		Toplam g = UGI =													
PA1															
PA2															
PA3															
PA n															
		Toplam g = UGI =													

Çizelge 4.12- GI-1 kodlu Aygıtın Düzeltilmemiş Kamaşma İndeksi Çizelgesi

Aygıt Kodu :GI-1

			Düzeltilmemiş Kamaşma İndeksi Değerleri					
			Enine Bakış			Boyunca Bakış		
Oda Boyutları								
Tavan Yansıtma Çarpanı	.70	.70	.50	.50	.30	.70	.70	.50
Duvar Yansıtma Çarpanı	.50	.30	.50	.30	.30	.50	.50	.30
Döşeme Yansıtma Çarpanı	.20	.20	.20	.20	.20	.20	.20	.20
2H	2H	4.8	6.1	5.8	7.2	8.6	1.9	3.2
3H	3H	8.4	9.6	9.5	10.8	12.2	4.3	5.5
4H	4H	10.2	11.4	11.3	12.5	14	5.3	6.4
6H	6H	12.0	13.1	13.1	14.2	15.7	6.1	7.1
8H	8H	12.7	13.8	13.8	14.9	16.4	6.3	7.3
12H	12H	13.4	14.4	14.5	15.6	17.1	6.4	7.4
4H	2H	5.6	6.8	6.7	7.9	9.4	3.7	4.8
3H	3H	9.7	10.7	10.8	11.8	13.3	6.3	7.3
4H	4H	11.8	12.7	12.9	13.9	15.4	7.6	8.5
6H	6H	13.7	14.6	14.9	15.7	17.3	8.6	9.4
8H	8H	14.6	15.4	15.8	16.6	18.1	8.9	9.7
12H	12H	15.5	16.2	16.7	17.4	18.9	9.2	9.9
8H	4H	12.4	13.2	13.6	14.4	15.9	9.4	10.1
6H	6H	14.7	15.4	15.9	16.6	18.1	10.6	11.3
8H	8H	16.0	16.6	17.1	17.8	19.3	11.2	11.8
12H	12H	17.0	17.6	18.2	18.8	20.3	11.5	12.0
12H	4H	12.5	13.2	13.7	14.4	15.9	10.0	10.8
6H	6H	15.0	15.6	16.2	16.8	18.4	11.5	12.1
8H	8H	16.3	16.8	17.5	18	19.6	12.1	12.7

Belli Bir Aygitin Düzeltilmemiş Kamaşma İndeksi Çizelgesinin (UGI) Hazırlanmasına Bir Örnek:

Zumtobel firmasının 1991 yılı ürün katalogunun 60. sayfasında bulunan, KOP (KOP 2/36) kodlu aygitin, bölüm 4.1.2.3'de anlatılan işlem sırası uyarınca UGI çizelgesinin hazırlanması.

1) Aygit ile ilgili özellikler,

- Aygit tipi:
Yaynik yansiticili, flourisil lambali siva üstü aygit (yarı dolaysız aydınlatma biçimini)
- Aygitin boyutları:
1262 x 192 x 100 mm
- Aygitin yüzey alanları:
 $A_B = 0.2423\text{m}^2$
 $A_S = 0.1262\text{m}^2$
 $A_E = 0.0192\text{m}^2$
- Aygitin ışık yoğunluğu ile ilgili veri aynı katalogun 108 nolu sayfasından elde edilmiştir.
(Bkz. Şekil 4.8)

2) Oda ile ilgili özellikler

Bu örnek için 4HX4H (8m x 8m) boyutlu oda ele alınmıştır.

- Aygit sayısının belirlenmesi
Aygıt sayısı = 16 adet
- Aygitların odaya yerleştirilmesi
Bakınız şekil 4.9
- Çizelge 4.6'dan oda indeksinin belirlenmesi
RI = 2
- Çizelge 4.6'dan C katsayısının belirlenmesi
C = 250

3) Ortamda bulunan aygitların konumu ile ilgili verilerin sağlanması

Ortamda bulunan her aygitin konumu ile ilgili veriler şekil 4.9 aracılığı ile sağlanır.

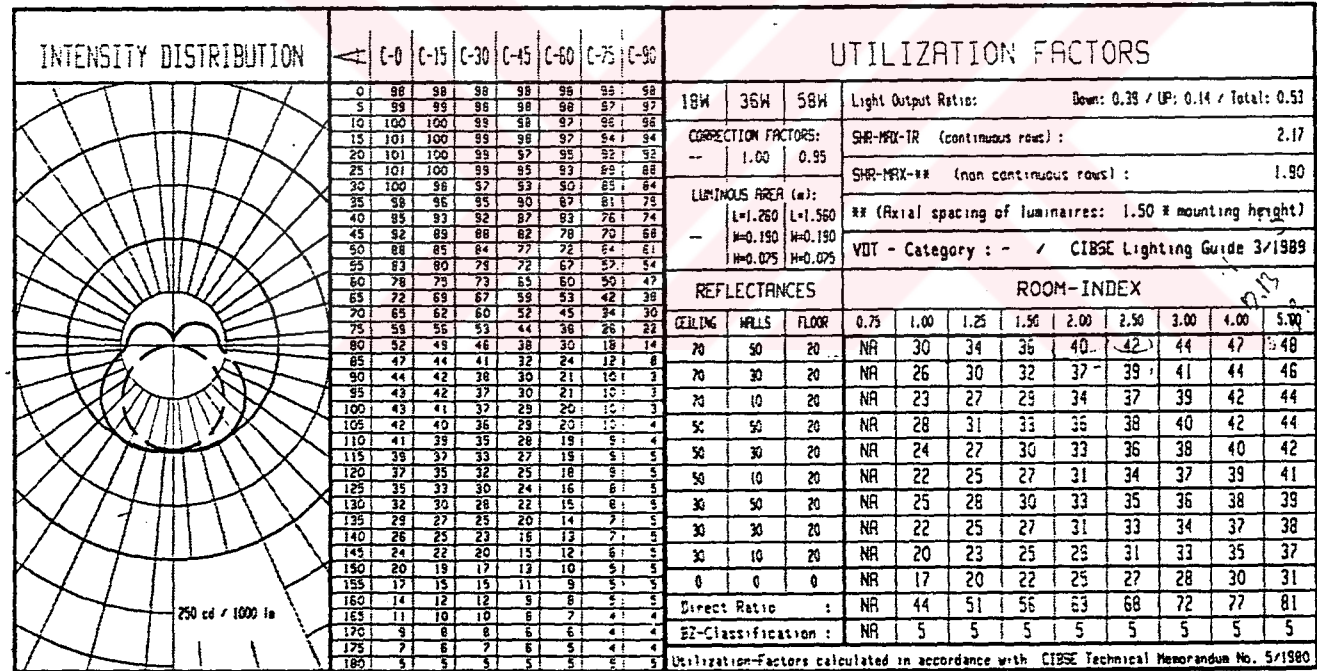
- Her aygit için H değerinin belirlenmesi
Varsayımla gereği, her aygit, yerden 2m yüksekte olduğundan, tüm aygitlar için.
 $H=2\text{m}$ dir.
- Her aygit için T değerinin, şekil 4.9'dan belirlenmesi
- Her aygit için R değerinin, şekil 4.9'dan belirlenmesi



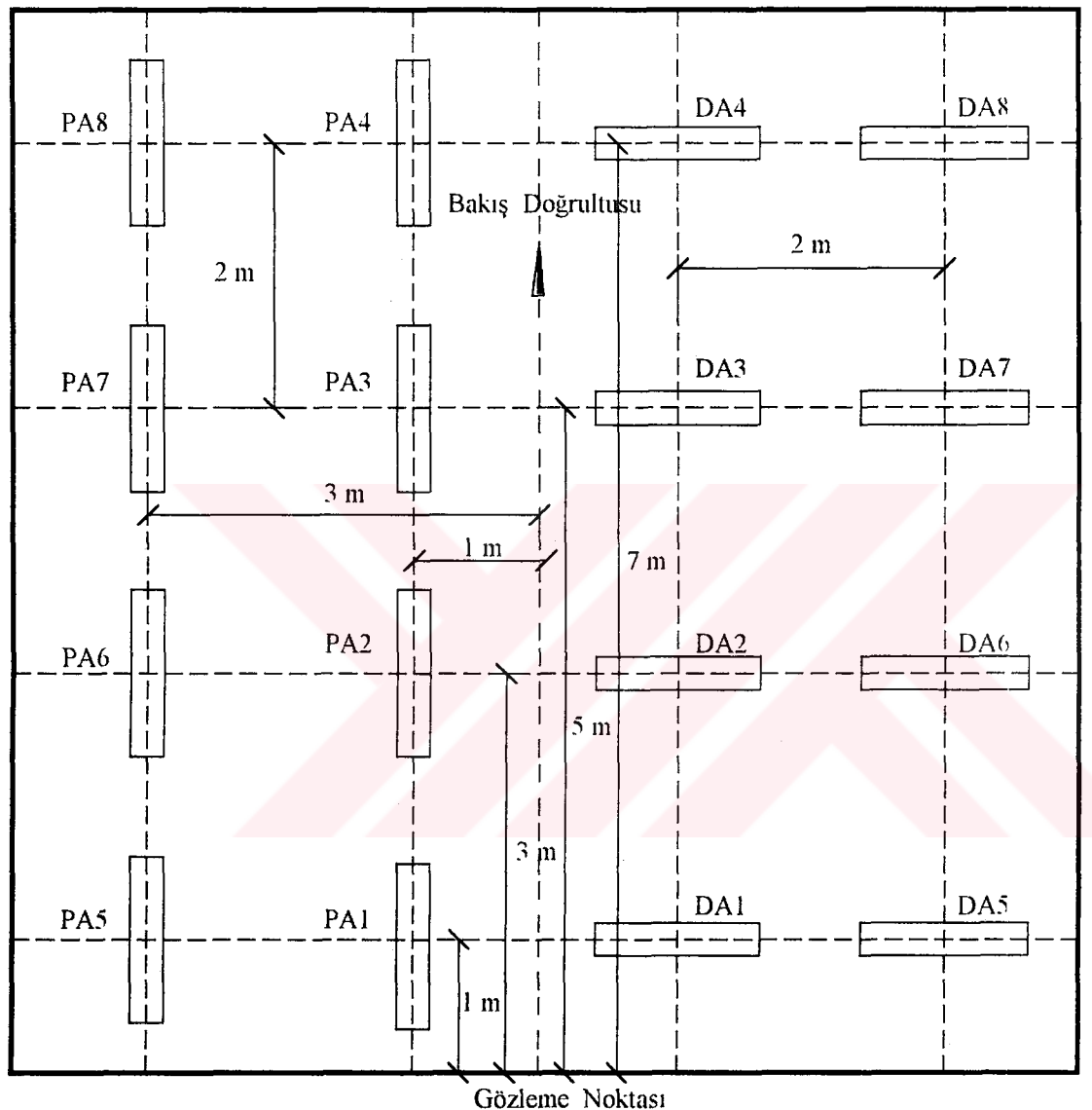
KOP	L × W × H	Weight
KOP 1/36 W	1262 × 103 × 118 mm	4.10 kg
KOP 1/58 W	1562 × 103 × 118 mm	5.50 kg
KOP 2/36 W	1262 × 192 × 100 mm	6.90 kg
KOP 2/58 W	1562 × 192 × 100 mm	8.80 kg
KOP 4/18 W	658 × 658 × 100 mm	11.40 kg*
Accessories	Article no.	
KOP 1/36 W spare diffuser	20 125 408	
KOP 1/58 W spare diffuser	20 125 445	
KOP 2/36 W spare diffuser	20 125 492	
KOP 2/58 W spare diffuser	20 125 530	
KOP 4/18 W spare diffuser	20 004 142	

* High-grade economy ballast

KOP 2/36



Şekil 4.8- Zumtobel firmasının 1991 yılı ürün katologunda yayınlanan KOP (2/36) kodlu aydınlatma aygıtı ve sözkonusu aygıtın ışıkölçümel verileri



Şekil 4.9- Sözkonusu aygıtın, 4H x 4H boyutlarındaki odanın içine, varsayımlar uyarınca, bakış doğrultusuna dik ve paralel olarak yerleştirilmesinin şematik çizimi

4) Söz konusu aygıtın yüzey alanlarının (A) ve gözleme noktası doğrultusundaki ışık yoğunluğu değerlerinin ($I\phi\theta$) bulunması

- Bölüm 4.1.2.3'ün 4. adımında anlatılan işlem sırası ile hesapçızelgesi 1'in hazırlanması. (Bakınız çizelge 4.13)

5) K değerinin bulunması

- Bölüm 4.1.2.3'ün 5. adımında anlatılan işlem sırası ile hesapçızelgesi 2'nin hazırlanması. (Bakınız çizelge 4.14)

6) $U(W, ID)$ ve $E(W, ID)$ değerlerinin hesaplanması

- Bölüm 4.1.2.3'ün 6. adımında anlatılan işlem sırası ile hesapçızelgesi 3'ün hazırlanması. (Bakınız çizelge 4.15)

7) Düzeltilmemiş Kamaşma indeksi (UGI) değerlerinin bulunması

- Bölüm 4.1.2.3'ün 7. adımında anlatılan işlem sırası ile hesapçızelgesi 4'ün hazırlanması. (Bakınız çizelge 4.16)

Bu örnekte yalnızca, 4HX4H (8x8 m) boyutlarındaki oda için hazırlanan hesapçızelgelerinin (1, 2, 3, 4) ve yapılan hesapların, diğer 18 oda boyutu için de yapılması sonucunda, elde edilen Düzeltilmemiş Kamaşma İndeksi (UGI) değerlerinin, çizelge 4.12'de görüldüğü biçimde yerleştirilmesi ile, KOP (2/36) kodlu aygıtın UGI çizelgesi hazırlanmış olur.

Cizelge 4.13
HESAPÇIZELGESİ 1

Firma Adı : Zumtobel Aygit Kodu : KOP (2/36)	Aygit Kodu : 4H X 4H Oda İndeksi RI : 2	Oda Boyutu : 4H X 4H R/H : 2	Aygit Sayısı : 16 C : 250												
			1	2	3	4	5	6	7	8	9	10	11	12	13
Aygit	H	T	R	D	T/H	R/H	H/D	R/D	T/D	A	F	O	Iq		
DA1	2	1	1	2.45	0.50	0.50	0.82	0.41	0.41	0.26	45.00	35.26	90.35		
DA2	2	1	3	3.74	0.50	1.50	0.53	0.80	0.27	0.21	18.43	57.69	73.05		
DA3	2	1	5	5.48	0.50	2.50	0.37	0.91	0.18	0.21	11.31	68.58	68.99		
DA4	2	1	7	7.35	0.50	3.50	0.27	0.95	0.14	0.19	8.13	74.21	60.77		
DA5	2	3	1	3.74	1.50	0.50	0.53	0.27	0.80	0.18	71.57	57.69	69.18		
DA6	2	3	3	4.69	1.50	1.50	0.43	0.64	0.64	0.20	45.00	64.76	65.74		
DA7	2	3	5	6.16	1.50	2.50	0.32	0.81	0.49	0.19	30.96	71.07	60.80		
DA8	2	3	7	7.87	1.50	3.50	0.25	0.89	0.38	0.18	23.20	75.29	56.09		
PA1	2	1	1	2.45	0.50	0.50	0.82	0.41	0.41	0.26	45.00	35.26	80.26		
PA2	2	1	3	3.74	0.50	1.50	0.53	0.80	0.27	0.18	18.43	57.69	62.53		
PA3	2	1	5	5.48	0.50	2.50	0.37	0.91	0.18	0.13	11.31	68.58	47.10		
PA4	2	1	7	7.35	0.50	3.50	0.27	0.95	0.14	0.10	8.13	74.21	39.20		
PA5	2	3	1	3.74	1.50	0.50	0.53	0.27	0.80	0.24	71.57	57.69	56.09		
PA6	2	3	3	4.69	1.50	1.50	0.43	0.64	0.64	0.20	45.00	64.76	48.80		
PA7	2	3	5	6.16	1.50	2.50	0.32	0.81	0.49	0.16	30.96	71.07	43.95		
PA8	2	3	7	7.87	1.50	3.50	0.25	0.89	0.38	0.13	23.20	75.29	36.66		

Çizelge 4.14
HESAPÇİZELGESİ 2

Firma Adı : **Zumtobel**
Aygit Kodu : **KOP (2/36)**

Aygit	T/R	H/R	P	D	K
DP1	1.00	2.00	NA	2.45	
DP2	0.33	0.67	3.70	3.74	0.04
DP3	0.20	0.40	2.20	5.48	0.05
DP4	0.14	0.29	1.75	7.35	0.05
DP5	3.00	2.00	NA	3.74	
DP6	1.00	0.67	4.80	4.69	0.02
DP7	0.60	0.40	2.65	6.16	0.03
DP8	0.43	0.29	2.00	7.87	0.03

Çizelge 4.15
HESAPÇİZELGESİ 3

Firma Adı : **Zumtobel**
Aygit Kodu : **KOP (2/36)**

Çarpanları duv. tav. döş.	DF(F)	DF(W)	DF(C)	TF(F,W)	TF(W,W)-1	TF(C,W)	UF(W,İD)	E(W,İD)
70. 50. 20	0.23	0.16	0.14	0.14	0.27	0.39	0.13	32.50
70. 30. 20	0.23	0.16	0.14	0.13	0.14	0.35	0.10	25.33
50. 50. 20	0.23	0.16	0.14	0.13	0.24	0.27	0.11	26.55
50. 30. 20	0.23	0.16	0.14	0.11	0.13	0.24	0.08	19.93
30. 30. 20	0.23	0.16	0.14	0.10	0.12	0.14	0.06	15.45

Çizelge 4.16
HESAPÇIZELGESİ 4

Firma Adı : Zumtobel
Aygit Kodu : KOP (2/36)

Aygit Sayısı N :

411 X 411

Oda Boyutu :
Oda İndeksi RI :

2,00

	1	2	3	4	5	6	7	8	9	10	11	12	13	14	
Aygit	K	Hfq	A	E (7,5,2)	E (7,3,2)	E (5,5,2)	E (5,3,2)	E (3,3,2)	E (3,3,2)	E (7,5,2)	E (7,3,2)	E (5,5,2)	E (5,3,2)	E (3,3,2)	
DA1	90.35	0.26	32.50	25.33	26.53	19.93	15.45								
DA2	0.04	79.05	0.24	32.50	25.33	26.53	19.93	15.45	4.49	5.76	5.50	7.32	9.45		
DA3	0.05	68.09	0.21	32.50	25.33	26.53	19.93	15.45	4.90	6.28	6.00	7.99	10.30		
DA4	0.05	60.77	0.19	32.50	25.33	26.53	19.93	15.45	3.96	5.09	4.86	6.46	8.34		
DA5		69.18	0.18	32.50	25.33	26.53	19.93	15.45							
DA6	0.02	65.74	0.20	32.50	25.33	26.53	19.93	15.45	1.78	2.28	2.18	2.90	3.74		
DA7	0.03	60.80	0.19	32.50	25.33	26.53	19.93	15.45	2.69	3.45	3.29	4.38	5.65		
DA8	0.03	56.09	0.18	32.50	25.33	26.53	19.93	15.45	2.61	3.35	3.19	4.25	5.48		
									Toplam g =	20.42	26.21	25.02	33.31	42.96	
									UGI =	13.10	14.18	13.98	15.23	16.33	
PA1		80.26	0.26	32.50	25.33	26.53	19.93	15.45	0.00	0.00	0.00	0.00	0.00		
PA2	0.04	62.53	0.18	32.50	25.33	26.53	19.93	15.45	3.85	4.95	4.72	6.29	8.11		
PA3	0.05	47.10	0.13	32.50	25.33	26.53	19.93	15.45	3.97	5.09	4.86	6.47	8.35		
PA4	0.05	39.20	0.10	32.50	25.33	26.53	19.93	15.45	3.23	4.15	3.96	5.27	6.80		
PA5		56.09	0.24	32.50	25.33	26.53	19.93	15.45	0.00	0.00	0.00	0.00	0.00		
PA6	0.02	48.80	0.20	32.50	25.33	26.53	19.93	15.45	1.10	1.42	1.35	1.80	2.32		
PA7	0.03	43.95	0.16	32.50	25.33	26.53	19.93	15.45	1.88	2.41	2.30	3.06	3.95		
PA8	0.03	36.66	0.13	32.50	25.33	26.53	19.93	15.45	1.76	2.25	2.15	2.87	3.69		
									Toplam g =	15.79	20.27	19.35	25.76	33.22	
									UGI =	11.98	13.07	12.87	14.11	15.21	

4.1.3 Düzeltilmemiş Kamaşma İndeksi Çizelgelerinden, Kamaşma İndeksi Değerinin Bulunması

Aydınlatma düzeni için seçilen aygitin, yukarıda anlatılan yöntem uyarınca hazırlananız olan düzeltilmemiş kamaşma indeksi (UGI) çizelgesinden (Bkz. örnek çizelge 4.12), aygitin bakış doğrultusuna göre konumuna, hacmin boyutlarına ve yüzey yansıtma çarpanlarına göre uygun olan UGI değeri saptanır. Ortam koşullarının, yapılan varsayımlarla aynı olması durumunda, bulunan bu değerler, ortamın kamaşma indeksi değerini verir ve aşağıdaki eşitlikle tanımlanır.

$$GI = UGI \quad (4.17)$$

Ancak uygulamada ele alınan ortamların, çizelgeler için yapılan varsayımlara uymadığı durumlar olacaktır. Bu gibi durumlarda, ortamın kamaşma indeksini belirleyebilmek için, seçilen aygit için geçerli olan düzeltilmemiş kamaşma indeksi değerlerine, gerekli *dönüşüm değerlerinin eklenmesi* gereklidir.

Dönüşüm Değerleri

Uygulama ile yapılan varsayımlar(Bkz. bölüm 4.1.2.1) arasında.

- ışık akısı.
- aygit yüksekliği, ve
- aygit boyu

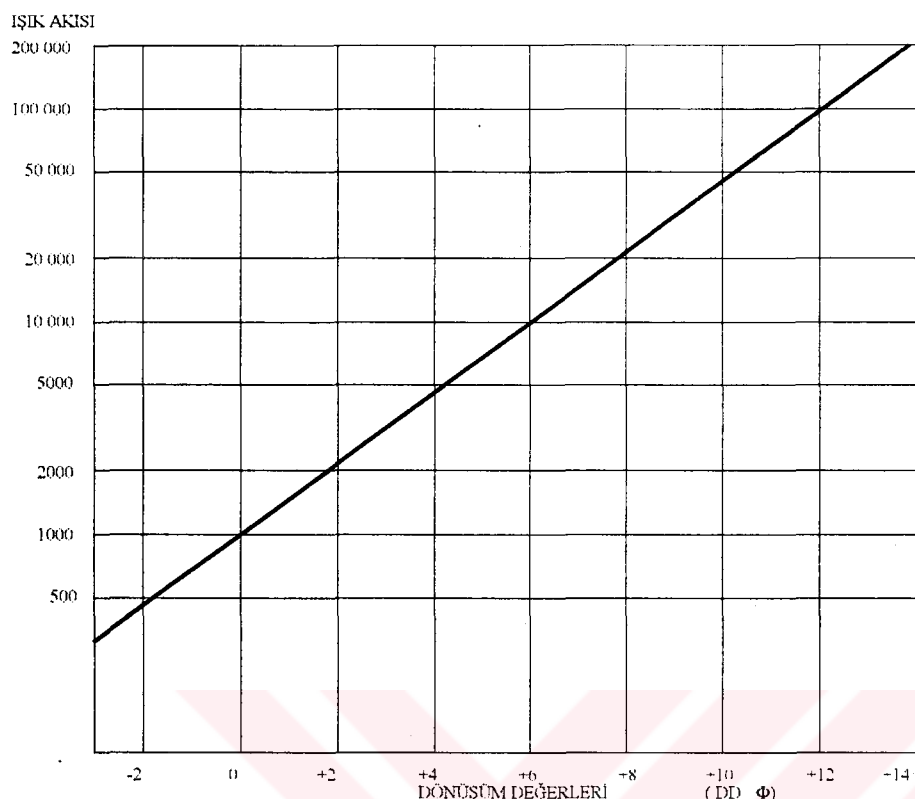
bakımından ayırmaların olması durumunda aşağıdaki bölümde hesap biçimi anlatılan çizelgeler ve egriler aracılığı ile (Bkz. çizelge 4.17 ve 4.18, veya şekil 4.10a ve 4.10b) ortam ayırmalarından ötürü, ortamın düzeltilmemiş kamaşma indeksi değerinde eklenecek dönüşüm değerleri bulunur.(CIBSE Technical Memoranda 10, 1985)

Cizelge - 4.17 Aygitta bulunan lambalardan çıkan
Toplam ışık akısındaki ayırmalar için dönütüm değerleri

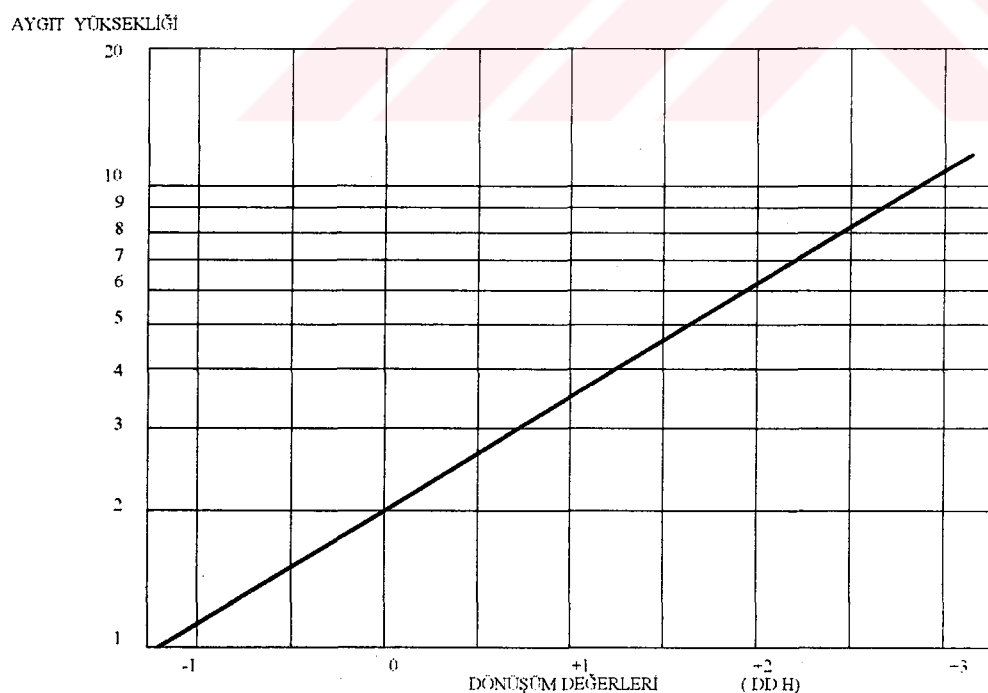
Aygittan Işık Akısı	Çıkan Lümen	DD	Φ	Toplam Dönüştüm Değerleri
		DD	Φ	DDΦ
500		- 1.8		- 1.8
700		- 0.9		- 0.9
1000		0.0		0.0
1500		+ 1.1		+ 1.1
2000		+ 1.8		+ 1.8
3000		+ 2.9		+ 2.9
5000		+ 4.2		+ 4.2
7000		+ 5.1		+ 5.1
10000		+ 6.0		+ 6.0
15000		+ 7.1		+ 7.1
20000		+ 7.8		+ 7.8
30000		+ 8.9		+ 8.9
50000		+ 10.2		+ 10.2
70000		+ 11.1		+ 11.1
100000		+ 12.0		+ 12.0
150000		+ 13.1		+ 13.1
200000		+ 13.8		+ 13.8

Cizelge- 4.18 Yatay düzlem üzerinde kalan
Aygıt yükseliği ayırmalar için dönütüm değerleri

1.2m Üzerinde Kalan Aygit Yüksekliği	DDH m	1.2m Yükseklikteki Yatay Düzlecm DDH	Dönüştüm Değerleri
	1	1	-1.2
	1.5	2	-0.5
	2	2.5	0.0
	3	3	+ 0.4
	3.5	3.5	+ 0.7
	4	4	+ 1.0
	5	5	+ 1.2
	6	6	+ 1.6
	7	7	+ 1.9
	8	8	+ 2.2
	9	9	+ 2.4
	10	10	+ 2.6
	11	11	+ 2.8
	12	12	+ 3.0
			+ 3.1



Şekil 4.10 a- Aygıta bulunan lambalardan yayılanan ışık akısındaki ayrımlar için dönüşüm değerleri. (DD Φ)



Şekil 4.10 b- 1.2m yükseklikteki yatay düzlem üzerinde kalan aygit yüksekliği için dönüşüm değerleri. (DD H)

Dönüşüm Değerlerinin Hesaplanması:

Yukarıda eğriler ya da çizelgeler halinde verilen dönüşüm değerlerinin hesaplanması için kullanılan formüller aşağıdaki gibidir.(CIBSE Technical Memoranda 10 1985)

- *Yayımlanan toplam ışık akısındaki değişiklikler için, dönüşüm değerlerinin hesaplanması (DD_Φ):*

$$\text{DD}_{\Phi} = [6 \log_{10}(n \cdot F)] - 18 \quad (4.18)$$

Burada,

F: lambanın yayımıladığı ışık akısı (lumen)

n: Herbir aygıta olan lamba sayısı

olarak gösterilmiştir.

- *Aygıt yüksekliklerindeki değişiklikler için, dönüşüm değerlerinin hesaplanması (DD_H)*

$$\text{DD}_H = (4 \log_{10} H) - 12 \quad (4.19)$$

Burada,

H : 1.2m yükseklikte bulunan yatay düzlemin üzerinde kalan aygit yüksekliği olarak gösterilmiştir.

- *Aygıtın boyutundaki ayrımlar için dönüşüm değerlerinin hesaplanması (DD_L)*

Seçilen aygitin; tipi, ışık yoğunluğu diyagramı ve geriverimi, UGI çizelgesi bulunan özgün aygit ile aynı, ancak, boyu ayrı ise, bu durumda özgün aygitin düzeltilmemiş kamaşma indeksi (UGI) değerleri, dönüşüm değerinin (DD_L) yardımı ile, seçilen aygit için de kullanılabilir. Aygit boyu için olan dönüşüm değerinin bulunmasında kullanılan formül aşağıdaki gibidir

$$\text{DD}_L = 8 \log_{10} \frac{l_0}{l_n} \quad (4.20)$$

Burada,

l_0 : standard aygitin uzunluğu

l_n :kullanicilan aygitin uzunluğu

olarak gösterilmiştir.

Düzeltilmemiş Kamaşma İndeksi (UGI) değeri aracılığı ile, ortamın Kamaşma İndeksi değerinin bulunması

Yukarıda da belirtildiği gibi, yapılan belli varsayımlara uyan ortamlarda kamaşma indeksi, seçilen aygitin, düzeltilmemiş kamaşma indeksi (UGI) çizelgelerinden, ortam verilerine uygun olarak saptanır ve 4.17 nolu eşitlikle tanımlanır.

Ancak kurulan aydınlatma düzeneinde, yukarıdaki bölümde anlatılan ayırmaların olması durumunda, 4.17 ve 4.18 nolu çizelgelerden ya da 4.10 a ve 4.10 b nolu eğrilerden saptanan dönüşüm değerleri, ortam boyutlarına ve yüzey yansıtma çarpanlarına göre belirlenmiş olan UGI değerine eklenir. Bunun sonucunda da belli bir aygitin belli koşullardaki ortamda kullanılması ile oluşan kamaşma indeksi bulunur ve aşağıdaki, 4.21 nolu eşitlikle tanımlanır.

$$GI = UGI + DD_{\Phi} + DD_H \quad (4.21)$$

4.21 nolu eşitlik, varsayımlara göre, yayılanan ışık akısında ve aygit yüksekliğinde ayırmalar olması durumunda, kamaşma indeksi (GI) değerini verir. Bu ayırmalarla beraber, seçilen aygitin, boyundan ötürü bir ayrimin olması durumda, kamaşma indeksi aşağıdaki eşitlikle bulunur.

$$GI = UGI + DD_{\Phi} + DD_H + DD_L \quad (4.22)$$

Sonuç olarak herhangi bir ortamda, kamaşma indeksi değeri, ortamda bulunan herbir aygit için kamaşma değişmezinin hesaplanması sonucunda bulunurken, ortam koşullarının, önceden yapılan varsayımlara dayandırılması durumunda, sözkonusu aygit için önceden hazırlanmış düzeltilmemiş kamaşma indeksi (UGI) değerleri aracılığı ile, ortamın kamaşma indeksi (GI) değeri, yukarıda belirtilen biçimde, 4.21 ve 4.22 nolu eşitlikler aracılığı ile daha kolay şekilde bulunur.

4.1.4 UGI ve Dönüşüm Değerlerini Kullanarak Ortamda Konforsuzluk Kamaşmanın Belirlenmesi:

Bir hacimde, belli bir aygit ile, varsayımlar uyarınca yapılan aydınlatma düzeninin, o ortamda oluşturabileceği kamaşma indeksi değerinin, UGI çizelgesi ve dönüşüm değerleri aracılığı ile belirlenmesinde, izlenecek işlem sırası aşağıda verilmiştir.

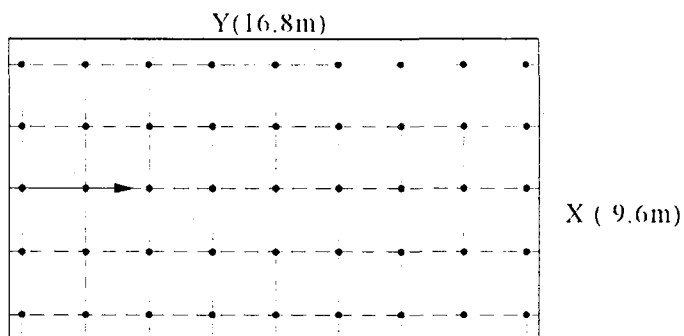
- 1) Oda boyutları (X,Y); 1.2 m de bulunan yatay düzlem üzerinde kalan aygit yüksekliği (H) cinsinden bulunur.
- 2) Ortamın düzeltilmemiş kamaşma indeksi değeri, sözkonusu aygitin UGI çizelgesinden, oda boyutlarına, aygitların bakış doğrultusuna göre konumlarına ve oda yüzeylerinin yansıtma çarpanına bağlı olarak, saptanır.
- 3) Aygitlarda bulunan lambaların, toplam ışık akısından ötürü olan ayırmalar için, çizelge 4.17'den veya şekil 4.10 a'daki eğriden gerekli dönüşüm değeri (DD_{Φ}) bulunur.
- 4) Aygit yüksekliklerinden ötürü oluşan ayırmalar için, çizelge 4.18'den veya şekil 4.10b' deki eğriden gerekli dönüşüm değeri (DD_H) bulunur.
- 5) Oluşturulan aydınlatma döseminden, kullanılan aygitin boyu ile, UGI çizelgesinin geçerli olduğu özgün aygit boyu arasında bir değişiklik varsa, bu ayırım için bölüm 4.1.3'de verilen, 4.15 nolu formül aracılığı ile hesaplanan dönüşüm değeri (DD_L) bulunur.
- 6) Bulunan dönüşüm değerlerinden (DD_{Φ} DD_H DD_L) gerekli olanlar, saptanmış olan düzeltilmemiş kamaşma indeksi (UGI) değerlerine eklenir.

$$GI = UGI + DD_{\Phi} + DD_H + (DD_L)$$

- 7) Hesaplanan kamaşma indeksinin değerine bağlı olarak, çizelge 4.4' de göre, sözkonusu ortamda oluşan konforsuzlık kamaşmasının, neden olabileceği duyulanma değerlendirilir.

Yukarıda sıralanan işlemler sonucunda, seçilen aygit ile varsayımlar uyarınca oluşturulan sözkonusu aydınlatma dösemının, oluşturabileceği kamaşma indeksi (GI) değeri bulunur ve böylece, neden olabileceği duyulanma değerlendirilebilir.

UGI çizelgesinin ve dönüşüm değerlerinin kullanılması ile bir ortamda konforsuzluk kamaşmasının değerlendirilmesine örnek 1a :



Şekil 4.11-Aygıtların şematik olarak yerlesimi

Koşulları aşağıda, planı şekil 411'de verilen bir ortamda, GI-1 kodlu aygit ile oluşturulacak bir aydınlatma düzeninin, ortamda oluşturacağı kamaşma indeksinin, UGI çizelgesi (çizelge 4.12) ve dönüşüm değerleri aracılığı ile bulunması

Kurulan aydınlatma düzenini ile ilgili veriler aşağıdaki gibi sıralanabilir.

- Odanın eni 9.6m
- Odanın boyu 16.8m
- Aygıtların dösemeden yüksekliği
(Aygıtlar tavana yerleştirilmiş) 3.6 m
- Aygıtların yatay düzlem üzerinde kalan yüksekliği $3.6 - 1.2 = 2.4\text{m}$
- Tavan yansıtma çarpanı 0.70
- Duvar yansıtma çarpanı 0.50
- Döşeme yansıtma çarpanı 0.20
- Aygit eksenlerinin bakiş doğrultusuna göre konumu dik
- Aygit tipi 1800mm uzunlukta beyaz aygit
- Lamba tipi MCF/U 75W 1800mm
- Aygıtlardaki lamba sayısı 2
- Lambaların yayılmış olduğu ışık akısı $2 \times 6050 = 12100 \text{ lumen}$

- 1- Oda boyutları, yatay düzlem üzerinde kalan aygit yüksekliği (H) cinsinden hesaplanır.

$$\text{Bakış doğrultusuna dik oda kenarı} \quad X = 9.6 / 2.4 = 4H$$

$$\text{Bakış doğrultusuna paralel oda kenarı} \quad Y = 16.8 / 2.4 = 7H$$

- 2- GI-1 kodlu aygit için hazırlanan, düzeltilmemiş kamaşma indeksi çizelgesinden (Bkz. çizelge 4.12), oda boyutlarına, aygit yerleşimine ve yüzey yansıtma çarpanlarına bağlı olarak düzeltilmemiş kamaşma indeksi (UGI) değeri bulunur

Düzeltilmemiş kamaşma indeksi değeri(UGI) = 14.2

- 3- Aygıtta bulunan lambaların yayılmışlığı toplam ışık akısına (12100lumen) bağlı olarak, dönüşüm değeri, (DD_{Φ}) çizelge 4.17'den ya da şekil 4.10 a'daki eğriden saptanır.

$$DD_{\Phi} = + 6.5$$

- 4- Döşemdeki aygitların, yatay düzlemden yüksekliğine bağlı olarak, dönüşüm değeri, (DD_H) çizelge 4.18'den ya da şekil 4.10 b'deki eğriden saptanır.

$$DD_H = +0.3$$

- 5- Seçilen aygit tipinde bir ayrılmadığından, aygit boyuyla ilgili dönüşüm değerlerinin bulunmasına gerek yoktur.

- 6- 2. adımda, 4.12 nolu çizelgeden saptanan, düzeltilmemiş kamaşma indeksi değerine, 3. ve 4. adımlarda bulunan dönüşüm değerleri eklenerek, seçilen aygitin sözkonusu koşullarda neden olacağı kamaşma indeksi değeri bulunur.

$$GI = 14.2 + 6.5 + 0.3 = 21$$

- 7- Çizelge 4.4 de verilen değerlendirmelere göre, örnekteki hacimde, sözkonusu aygit ile varsayımlara göre oluşturulan aydınlatma düzeninin, neden olacağı konforsuzluk kamaşması, kabul edilebilir olmakla beraber rahatsızlık verici sınıra çok yakındır.

Örnek 1b

Ortam koşulları ve planı yukarıdaki örnekle aynı olan ancak, seçilen aygıtın, ışık yoğunluğu diyagramı, geriverimi ve tipi değişmemekle birlikte, boyunun özgün aygıtın daha uzun olması durumunda, ortamın kamaşma indeksini hesap etmek için aygit ile ilgili özellikler ve izlenecek işlem sırası aşağıda verilmiştir.

• Aygit tipi	2400mm uznlukta beyaz baton
• Lamba tipi	MCF/U 125W 2400mm
• Aygitlardaki lamba sayısı	2
• Lambalardan çıkan ışık akısı	$2 \times 9500 = 19000$ lumen

1- Oda boyutları, yatay düzlemler üzerinde kalan aygit yüksekliği (H) cinsinden hesaplanır.

$$\text{Bakış doğrultusuna dik oda kenarı} \quad X = 9.6 / 2.4 = 4H$$

$$\text{Bakış doğrultusuna paralel oda kenarı} \quad Y = 16.8 / 2.4 = 7H$$

2- GI-1 kodlu aygit için hazırlanan düzeltilmemiş kamaşma indeksi çizelgesinden (Bkz. çizelge 4.12), oda boyutlarına, aygit yerleşimine ve yüzey yansıtma çarpanlarına bağlı olarak düzeltilmemiş kamaşma indeksi (UGI) değeri bulunur

Düzeltilmemiş kamaşma indeksi değeri(UGI) = 14.2

3- Aygıtta bulunan lambaların yayılmış olduğu toplam ışık akısına (19000lumen) bağlı olarak, dönüşüm değeri (DD_{Φ}). çizelge 4.17'den ya da şekil 4.10 a'daki eğriden saptanır.

$$DD_{\Phi} = + 7.7$$

4- Döşemdeki aygitların, yatay düzlemlerden yüksekliğine bağlı olarak, dönüşüm değeri. (DD_H) çizelge 4.18'den ya da 4.10 b' deki eğriden saptanır.

$$DD_H = +0.3$$

5- Seçilen aygitin boyundaki ayrımıma bağlı olarak, dönüşüm değerleri, 4.20 nolu formül uyarınca aşağıdaki biçimde hesaplanır.

$$DD_L = 8 \log_{10} \left(\frac{1800}{2400} \right) = -1.0$$

- 6- 2. adımda, 4.12 nolu çizelgeden saptanan, düzeltilmemiş kamaşma indeksi değerine, 3.. 4. ve 5. adımlarda bulunan dönüşüm değerleri eklenerek, seçilen aygıtın sözkonusu koşullarda neden olacağı kamaşma indeksi değeri bulunur.

$$GI = 14.2 + 7.7 + 0.3 - 1.0 = 21.2$$

- 7- Aydınlatma düzeninde kullanılan aygıtın boyunun ve ışıklılığının değişmesi ile ortamın kamaşma indeksi değeri artmıştır. Çizelge 4.4 de verilen değerlendirmelere göre, ortamda söz konusu aygıtın oluşturduğu kamaşmanın neden olduğu duyulanma, rahatsızlık verici olmasına da, bu sınıra örnek Ib'den daha yakındır.



4.2 Görsel Konfor Olasılığı (VCP)

IES (Illuminating Engineering Society) tarafından geliştirilen, *Görsel Konfor Olasılığı (Visual Comfort Probability - VCP -)*, bir ortamda, yapay ışık kaynaklarından ötürü oluşan, konforsuzluk kamaşmasının değerlendirilmesinde kullanılan bir yöntemdir.

Görsel konfor olasılığı yönteminin temelini de, 4.1 de verilen değişkenlerin kamaşmayı etkileme biçimleri oluşturur. Yapılan deneysel çalışmalar sonucunda, bu değişkenler, kamaşma değişmezi (M) olarak adlandırılan bir formülde uygun biçimde bir araya getirilmiştir. Ortamda bulunan her aygit için, belli bir gözleme noktasına göre ayrı ayrı hesaplanan kamaşma değişmezi (M) değerleri, her aygitin neden olduğu kamaşmanın niceliğinin verir.

Aydınlatma döşeminde bulunan her aygit için hesaplanan kamaşma değişmezi (M) değerlerinin, geliştirilen formül uyarınca toplanmasıyla, sözkonusu ortamda aydınlatma düzeninin oluşturacağı konforsuzluk kamaşması oranı (Discomfort Glare Rating-DGR-) bulunur.

Sözkonusu ortam için hesaplanan konforsuzluk kamaşması oranı (DGR) değeri, bir nomogram ya da formül aracığı ile, aydınlatma düzeninin, sözkonusu ortamda sağlayabileceği iyi görme koşulu yüzdesini veren, *görsel konfor olasılığı (VCP)* değerine dönüştürülür.

Yani, *görsel konfor olasılığı (VCP)*, kişilerin, belli bir bakış doğrultusu ve gözleme noktasına göre, bir ortamındaki aydınlatma düzeninden rahatsız olup olmadığını belirler. Başka bir deyişle VCP, verilen koşullarda, aydınlatma düzenini rahatsız bulmayan gözlemcilerin oranı olarak da tanımlanabilir. VCP'yi hesaplamak için izlenecek işlem sırası ve formüller aşağıdaki bölümlerde verilmiştir.

4.2.1 Görsel Konfor Olasılığının (VCP) Hesaplanması

Herhangi bir ortamda, oluşabilecek konforsuzluk kamaşmasının, görsel konfor olasılığı yöntemi ile, değerlendirilmesinde izlenen işlem sırası aşağıdaki gibidir.

1-Kamaşma değişmezinin (M) hesaplanması

Her ışık kaynağının neden olduğu kamaşma değişmezci (M) 4.23 nolu formül ile hesaplanır.(IES Lighting Handbook Ref., 1984)

$$M = \frac{L_s Q}{PF^{0.44}} \quad (4.23)$$

Burada:

M: Her ışık kaynağı için ayrı ayrı hesaplanan kamaşma değişmezi değeri.

Q: Aygıtın görünen büyülüüğünü belirleyen hacim açısıdır ve aşağıdaki formül ile hesap edilir.

$$Q = 20.4\omega_s + 1.52\omega_s - 0.075 \quad (4.24)$$

Burada:

ω_s : ışık kaynağının oluşturduğu hacim açısıdır. (str.)*

$$\omega_s = \frac{A_p}{D^2} \quad (4.25)$$

Burada :

A_p : aygitin gözleme noktasına göre görünen ışıklı alanıdır.

D^2 : ışık kaynağının gözleme noktasına olan eğik uzaklığıdır.

Ls: ışık kaynağının gözleme noktası doğrultusundaki ışıklılık değeridir ve aşağıdaki gibi hesaplanır.*

$$L_s = \frac{\pi \cdot I}{A_p} \quad (4.26)$$

Burada.

I: ışık kaynağının gözleme noktası doğrultusundaki ışık yoğunluğu değeridir.

- * Kaynak ışıklılığı ve ışık kaynağının oluşturduğu hacim açısı değeri, ışık kaynağının gözleme noktasından görünen alana (A_p) bağlı olarak hesaplanır.

F: Tüm görme alanın ortalama ışıklılığıdır ve aşağıdaki gibi hesap edilir.

$$F = \frac{L_w \omega_w + L_f \omega_f + L_c \omega_c + \sum L_s \omega_s}{5} \quad (4.27)$$

Burada:

L_c : Tavanın ortalama ışıklılığı.

L_f : Döşemenin ortalama ışıklılığı.

L_s : Kaynağın ortalama ışıklılığı.

L_w : Duvarların ortalama ışıklılığı

ω_c : Tavanın oluşturduğu hacim açısı (str.)

ω_f : Döşemenin oluşturduğu hacim açısı (str.)

ω_w : Duvarların oluşturduğu hacim açısı (str.)

ω_s : Kaynağın oluşturduğu hacim açısı (str.) olarak tanımlanmıştır

5 : 5 sayısının nedeni, görme alanın oluşturacağı hacim açısının 5str. olarak kabul edilmesidir.

P: Kaynağın gözleme noktasına göre konumunu belirleyen konum indeksidir ve genellikle aşağıdaki formül aracılığı ile hesap edilir

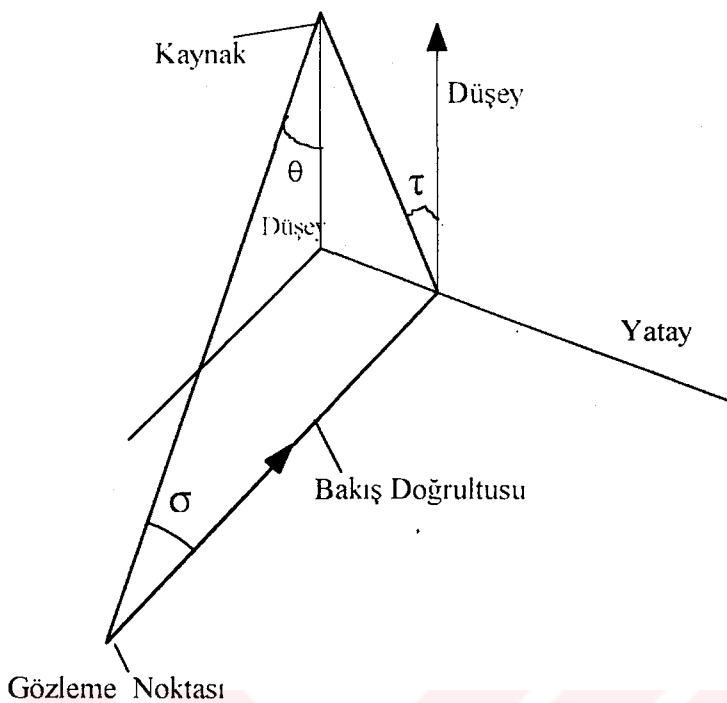
$$\ln P = \left[35.2 - 0.31889 \tau - 1.22 e^{\frac{-2\tau}{9}} \right] 10^{-3} \sigma + [21 + 0.26667 \tau - 0.002963 \tau^2] 10^{-5} \sigma^2$$

(4.28)

- Buradaki σ ve τ , aygitin bakiş doğrultusuna göre olan konumunu belirleyen açılardır.(Bkz. Şekil 4.12)

σ : Işık kaynağı ile bakiş doğrultusu arasındaki açı

τ : Bakiş doğrultusu ve kaynaktan geçen düzlem ile düşey doğrultu arasında kalan açı



Şekil 4.12- İşık kaynağının gözleme noktasına göre konumunun belirlenmesi

2-Konforsuzluk Kamaşması Oranının (Discomfort Glare Rating, DGR) Heslanması:

4.23 nolu formül aracılığı ile hesap edilen kamaşma değişmezi (M_t) değerlerinin, aşağıdaki 4.27 nolu formül uyarınca toplanmasıyla, ortamın *konforsuzluk kamaşması oranı (DGR)* değeri bulunur.

$$DGR = [M_t]^n^{-0.0914} \quad (4.29)$$

Burada:

n : Görme alanı içindeki kaynakların sayısı

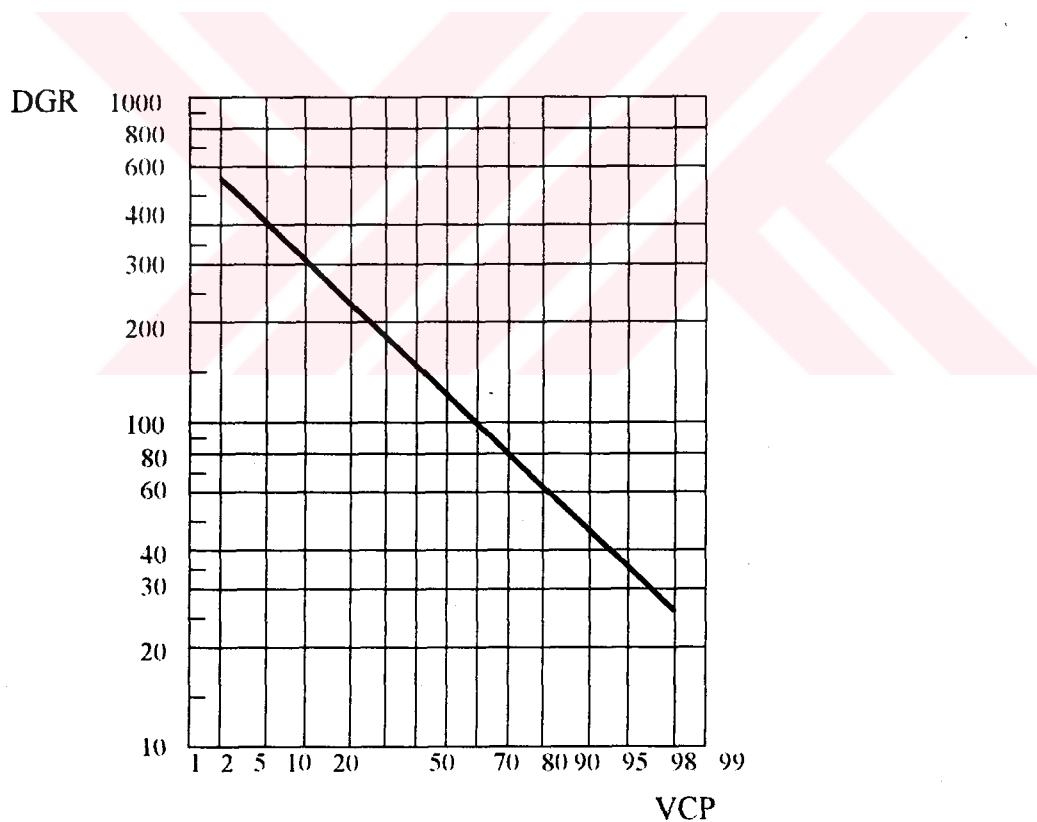
M_t : Ortamda bulunan aygıtların kamaşma değişmezi(M) değerlerinin toplamıdır.

3-Konforsuzluk Kamaşması Oranı Değerlerinin Görsel Konfor Olasılığı (VCP) değerlerine dönüştürülmesi

4.29 nolu formül uyarınca hesaplanan *konforsuzluk kamaşması oranı değeri*, şekil 4.13'de verilen grafik ya da aşağıdaki 4.28 nolu formül aracılığı ile VCP değerlerine dönüştürülür. (IES Lighting Handbook Ref., 1984)

$$VCP = \frac{100}{\sqrt{2\pi}} \int_{-\infty}^{6.374 - 1.3227 \ln(DGR)} e^{-\frac{t^2}{2}} dt \quad (4.30)$$

Bu işlem sonucunda, bir ortamda bulunan aygıtların neden olduğu konforsuzluk kamaşması değerine bağlı olarak, aydınlatma düzeninin, kişilerin görsel konforunu sağlama yüzdesi bulunur.



Şekil 4.13-DGR değerlerinin VCP değerlerine dönüştürülmesi için kullanılan grafik

4.2.1.1. Görsel Konfor Olasılığı (VCP) Değerine Göre Konforsuzluk Kamaşmasının Değerlendirilmesi:

Görsel konfor olasılığı yöntemine göre, VCP değeri azaldıkça, konforsuzluk kamaşmasının neden olduğu rahatsızlık hissi artarken, VCP değeri arttıkça, konforsuzluk kamaşmasının etkileri azalmaktadır. Sonuç olarak,

- 1) VCP değeri 70 ve üzerinde olması.
- 2) Şekil 4. 12'de θ olarak görslenen düşey açının 45, 55, 65, 75 ve 85 derece değerleri için. görünen aygit ışıklılığının, en üst ve en alt değerlerinin 1/5'i geçmemesi.
- 3) Enine ve boyuna olmak üzere, aygit ışıklılığının, 4.19 nolu çizelgede verilen değerleri geçmemesi.durumunda, sözkonusu ortamda, bakiş doğrultusunda ve aydınlatma düzeninde, konforsuzluk kamaşması sorun olmayacağıdır.(IES Lighting Handbook Ref., 1984)

Çizelge 4.19- Kamaşmanın etkilerini azaltmak için belli açılar için ışıklılık sınırlamaları.

Düşeyde olan açı	İşıklılık (cd/m ²)
45	7710
55	5500
65	3860
75	2570
85	1695

4.2.2 Görsel Konfor Olasılığı Yönteminin Kolaylaştırılması:

Genel hesap biçimini 4.2.1. bölümde anlatılan Görsel Konfor Olasılığına (VCP) kullanım kolaylığı sağlamak amacıyla, bölüm 4.2 de verilen 4.23 nolu kamaşma değişmezi formülü yeniden düzenlenmiştir. Bu düzenleme ile, belli varsayımların yapıldığı belli ortamlarda, belli bir aygitin VCP çizelgesinin oluşturulması amaçlanmıştır.(Journal of IES / April 1972)

Genellikle, aygit üreten firmalar tarafından IES'in geliştirdiği yöntem ile hazırlanan *Görsel Konfor Olasılığı (Visual Comfort Probability -VCP-)* çizelgelerinin geçerli olduğu varsayımlar aşağıda verilmiştir.

4.2.2.1 Görsel Konfor Olasılığı (VCP) Çizelgelerinin Oluşturulmasında Yapılan Varsayımlar:

Belli bir aygit için hazırlanan VCP çizelgelerinde, ortam koşulları ile ilgili yapılan varsayımlar aşağıdaki gibidir.

- Yatay düzlemede **100 footcandles** (1000 lm m^{-2}) aydınlik düzeyinin sağlanması önkoşul olarak alınmıştır.
- Oda yüzeylerinin yansıtma çarpanı değerleri, çizelgenin hazırlanma sırasında, isteğe bağlı olarak belirlenir. Ancak, genelde, tavan için $r_t = 0.8$, duvar için $r_{duv} = 0.5$, döşeme için $r_{dos} = 0.2$ değerleri kullanılır.
- Oda boyutları için (en, boy), **20x20(6.2x6.2 m)** feet'den **100x100 (31x31 m)** feet'e değişen, **24** değişik biçim belirlenmiştir.
- Aygitların dösemeden yüksekliği için, **8.5, 10, 13 ya da 16 feet** (2.6, 3, 4 veya 4.9m) olmak üzere 4 değişik yükseklik belirlenmiştir.
- Gözlemcinin konumu, arka duvarın **4 feet** (1.2 m) önünde olarak belirlenmiştir.
- Bakış doğrultusu, yatay düzlemede yerden **4 feet** (1.2m) yüksekte, ve karşı duvarı görecek biçimde belirlenmiştir.
- Aygitların oda içinde düzgün olarak dağılımını öngören standard bir yerleşim düzeni geliştirilmiştir. (Bkz. Şekil 4.14)
- Görme alanı yukarıya doğru 53 derecelik bir açı ile sınırlanmıştır.

Yukarıda verilen varsayımlar ile, bazı verilerin ve çarpanların önceden hesaplanması olanak sağlanmıştır. Ayrıca bu varsayımlar ile, aygit üreticileri ve kullanıcılar arasında bir anlatım ve hesap bütünlüğünün sağlanması amaçlanmıştır.

Standard yerleşim düzeni:

VCP hesaplarında kullanılan standard yerleşim düzeni, 4.1.1 nolu bölümde anlatılan *Düzeltilmemiş Kamaşma İndeksi* çizelgeleri için kullanılan yerleşim düzenine göre oldukça karmaşık bir yapıya sahiptir. Standard yerleşim düzeni, aygitların oda içinde düzgün olarak dağılımını öngörür. Ancak, kurulacak aydınlatma düzeninin, düzgün yayılmış 100 fc'lik bir aydınlik düzeyini sağlaması koşulu, değişmez belli sıralardan oluşan bir yerleşim düzenine izin vermez. Yapılan ayrıntılı çalışmalar sonucunda, değişmez sıralardan oluşan bir düzen yerine, şekil 4.14'de görülen ve aşağıda açıklanan yerleşim düzeni ile, hesaplar için en uygun çözüm sağlanmıştır.(Illuminating Engineering, October 1966, Visual Comfort Ratings for Interior Lighting, Report No-2)

Geliştirilen bu düzende, 100f x100f x10f boyutlarındaki oda temel alınmıştır. Söz konusu oda, 5x5 f boyutlarındaki kare modüllere bölünmüştür. (Bkz. Şekil 4.14)

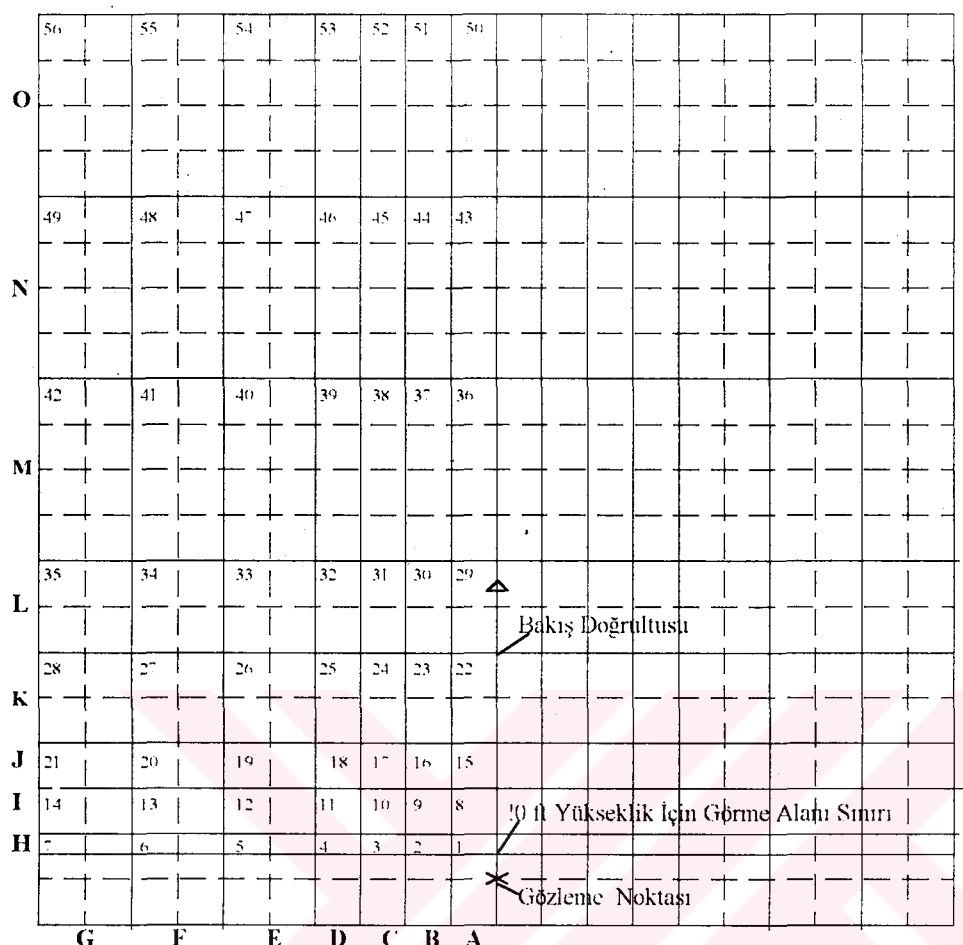
Aygıt özelliklerine bağlı olarak, söz konusu odada 100 fc'lik aydınlichkeit düzeyini sağlamak için gerekli olan aygit sayısı bellidir. Bu sayıya ve odadaki 5x5'lik modül sayısına bağlı olarak modül başına düşen aygit sayısı bulunur. Böylece modül içindeki aygit sayısına ve aygit özelliklerine bağlı olarak modüllerin ışıklı alanı, oluşturduğu hacim açısı ve ışıklılığı hesaplanabilir. Böylece, modüller hesaplarda ışık kaynağı olarak ele alınır.

Ancak, VCP hesaplarının, her modülün ışıklı alanlarını temel alınarak yapılması durumunda her ışıklı alan için hesaplanacak kamaşma değişmezi (M) değerleri, odadaki 5x5 ft'lik modül sayısına eşit olacaktır. Bu durumda da, özellikle büyük boyutlu odalarda, VCP hesapları çok fazla işlem gerektirecektir. Bu nedenle, şekil 4.14 de kesik çizgilerle tanımlanan 5x5 ft'lik modül düzeni, hesapları kolaylaştırmak için geliştirilerek, kullanım açısından daha uygun duruma getirilmiştir.

Hesaplanacak kamaşma değişmezi (M) sayısını azaltmak amacıyla, yapılan ayrıntılı çalışmalar sonucunda, gözleme noktasına göre ışıklılıkları ve konum indeksleri çok az değişen 5x5 ft'lik modüller birleştirilmiş ve oluşan birimler *tavan elemanı* olarak adlandırılmıştır. Söz konusu tavan elemanları, oda boyutlarına bağlı olarak, görüş alanı içinde kalan modüller kapsar. Bundan ötürü, görme alanına yakın tavan elemanları birden daha az modül içerirken, uzaktakiler birden çok modül içerir. Buradan da anlaşıldığı gibi, bir tavan elemanı, oda boyutlarına bağlı olarak, kesirli ya da çoklu olarak, değişik sayıda modül içerebilir. Bunun sonucunda, şekil 4.14'de sürekli çizgilerle tanımlanan ve 100x100x10 ft'lik bir oda için geçerli olan tavan elemanları oluşur. Buradan da anlaşılabileceği gibi, tavan elemanlarının sayıları ve boyutları, oda boyutlarına göre değişiklik gösterir.

Standard yerleşim düzeninin yeniden düzenlenmesi ile, VCP çizelgelerinde yer alan oda boyutlarından en büyüğünde bile, hesaplanacak kamaşma değişmezi sayısı, 180'den 56'ya inmiştir.

Sonuç olarak, VCP çizelgelerinin hazırlanması için yapılan hesaplar, standard yerleşim düzeni ile oluşturulan tavan elemanlarını esas alır. Tavan elemanlarının ışıklılık ve hacim açısı hesapları, her elemanın ortasında bulunduğu varsayılan aygitin temel alınmasıyla yapılır.



Şekil 4.14- VCP çizelgelerinin hazırlanmasında kullanılan standard yerleşim düzeni. Bu şekilde 100 x 100 x 10 foot boyutlarındaki (31 x31 x 3.1 m) odanın yarısını için yerleşim düzeninde bulunan tavan elemanları gösterilmiştir.

4.2.2.2 Kamaşma Değişmezi Formülünün Yeniden Düzenlenmesi

Bölüm 4.2.1'de, ortamda bulunan her kaynağın neden olacağı kamaşma değerinin hesabı için verilen 4.23 nolu kamaşma değişmezi formülü, içinde yer alan hacim açısının (ω_s) ve aygit ışıklılığının (L_s) bulunmasını kolaylaştırmak için yeniden düzenlenmiştir. Bu düzenleme ile formülün bilgisayar programları için daha uygun hale gelmesi ve işlemlerin kolaylaştırılması amaçlanmıştır. 4.23 nolu formülün yeniden düzenlenmesi sonucunda, 4.31 nolu formülü elde edilmiştir. (Journal of IES October/1966, April/1969, April/1973)

$$M = \left[\frac{I \cdot K_1}{A_{ef}} \right] \left[\frac{\bar{K}}{PF^{0.44}} \right] \left[\frac{A_{ef} \cdot K_2}{(İşikakısı / aygit).CU} \right] \quad (4.31)$$

Burada:

M : Kamaşma değişmezi

A_{ef} : Standard yerleşim düzeneindeki enine ya da boyuna bir sıra içinde bulunan tavan elemanın merkezinde olduğu varsayılan aygitin görünen ışıklı alanı.

K₁ : Standard yerleşim düzeneinde bulunan her tavan elemanın, ışıklı alanının ortalama ışıklılığının hesabı için kullanılan çarpan.

K₂ : Standard yerleşim düzeneinde bulunan her tavan elemanın oluşturduğu hacim açısının hesaplanmasıında kullanılan çarpan.

K : 4.23 nolu formüldeki Q değeri ile ilgili hacim açısı fonksiyonu.

CU : Odanın boyutlarına bağlı olarak bulunan kullanma çarpanı.

I : Her aygitin gözleme noktası doğrultusunda olan ışık yoğunluğu değeri.(footlambert)

P: Konum indeksi değeri.

F : Ortamın, ortalama ışıklılık değeri.

İşik akısı/aygit : Her aygittan çıkan ışık akısı niceligidir.

Aygitin görünen alanının hesaplanması (A_p) ve A_{ef}'in bulunması

Kullanılan aygitin ışıklı alanın, yalnızca tabanın oluşturulması durumunda, yani dolaylı aydınlatma biçimini sözkonusu ise, aygitin görünen ışıklı alanı (A_p). $\cos \theta$ 'nın bir fonksiyonu olarak, 4.32 nolu formül uyarınca basit bir şekilde hesap edilebilir.

$$A_p = A \times \cos \theta \quad (4.32)$$

Burada,

A: Aygitin gerçek ışıklı alanı.

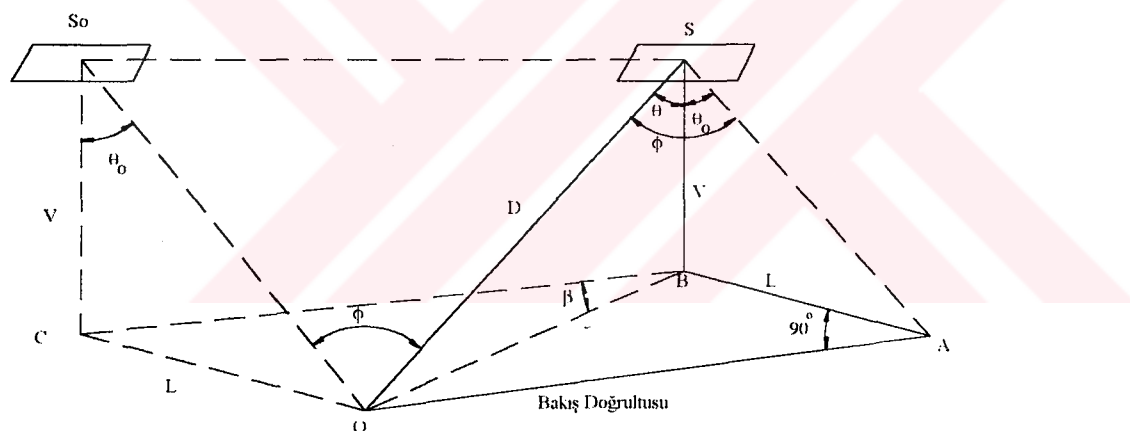
θ : Aygitin gözleme noktasına göre düşeyle yaptığı açıdır.

Ancak aygit alanının, yalnız aygit tabanından oluşmaması ya da, tavanın kaynağına dahil olması gibi durumlarda yani, yayınık ve dolaylı aydınlatma biçimlerinde, aygitin görünen ışıklı alanının hesabı için, yeni yaklaşımlar gereklidir. Ayrıca, aygitin bakiş doğrultusuna göre konumu da, ışıklı alanın hesabını etkilediğinden, daha kapsamlı hesaplar için, basit yöntemlere gereksinim vardır.

Bu gereksinmelerden ötürü, yapılan ayrıntılı çalışmalar sonucunda, ayrı tiplerdeki aygıtların değişik konumlardaki görünen alanını hesap edebilmek için çizime dayanan bir grafik yöntem geliştirilmiştir.(Extending and Applying the IES Visual Comfort Rating Procedure Journal of IES, April/1969)

Aygıtın görünen ışıklı alanının (Ap) hesabı için geliştirilen grafik yöntem

Geliştirilen bu grafiksel yöntem şekil 4.14'de verilen standard yerleşim düzenini temel alır. Bu yerleşim düzenine göre, oluşan tavan elemanları, bakış doğrultusuna göre, A'dan - G'ye 7 paralel, ve H'den -O'ya 8 dik sıra içine konumlandırılmıştır. Hesaplar, bu sıra düzenine ve aygıtların bu sıraların ortasında olduğu varsayımlına göre yapılır. Söz konusu yönteme göre, şekil 4.14'de görülen paralel sıraların (A - G), arasında olduğu varsayılan (S konumu) aygitin, görünen ışıklı alanının (Ap) bulunmasında, şekil 4.15'de görülen gözleme noktasına dik konumda (So), boyuna aygitin ölçekli enine kesit çiziminden yararlanılır. Aygıtların bakış doğrultusuna dik olması durumunda ise aygitin boyuna kesit çiziminden yararlanılır.



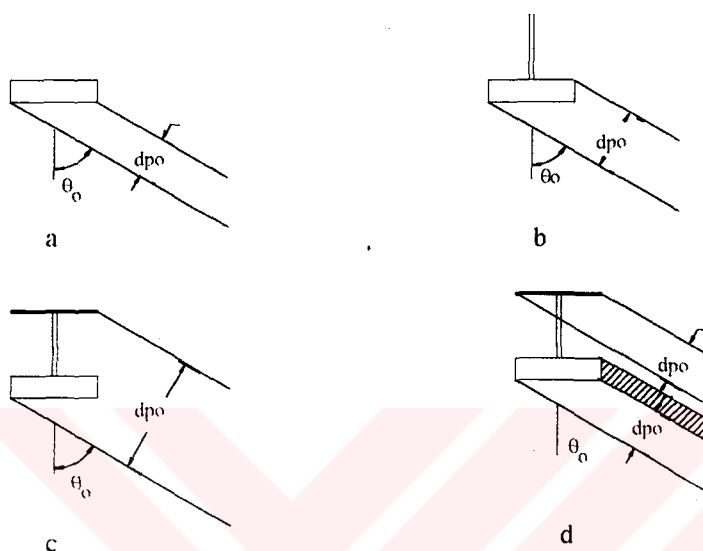
Şekil - 4.15

So konumundaki, aygitin enine kesitinin ölçekli çizimi ile, aygitin değişik açılardaki görünen ışıklı alanının genişliği (dpo) bulunur. Aşağıdaki 4.16 nolu şekilde değişik tipteki aygıtlar için, belli bir açıdan görünen ışıklı genişliğin (dpo), bulunmasında izlenen yöntem görülmektedir.

Burada,

- Tavanın, ışıklı alana dahil olmadığı, saydamsız kenarlı aygıtlar. (dolaylı aydınlatma biçimleri)
- Tavanın, ışıklı alana dahil olmadığı, kenarları ışıklı sarkıt aygıtlar. (yarı dolaylı aydınlatma biçimleri)

- c) Tavanın ışıklı alana dahil olduğu, kenarları ışıklı sarkıt aygıtlar.(Yayınık aydınlatma biçimimi)
- d) Tavanın ışıklı alana dahil olduğu, kenarları saydamsız sarkıt aygıtların, görünen ışıklı alanın genişliği (dpo) hesabında kullanılan çizim yöntemleri gösterilmiştir.



Şekil 4.16- Değişik aydınlatma biçimlerine bağlı olarak, aygit tiplerindeki ayırmılara göre, görünen alanın genişliğinin(dpo) bulunması.

Şekil 4.16'dan da anlaşılabileceği gibi. So konumundaki aygitin belli bir açıdan görünen alanın genişliği (dpo), aygitin ışıklı bölgelerinin köşelerinden çıkan belli açıdaki doğru çiftleri aracılığı ile bulur ve aygitin ışıklı olmayan bölmeleri hesaplara katılmaz

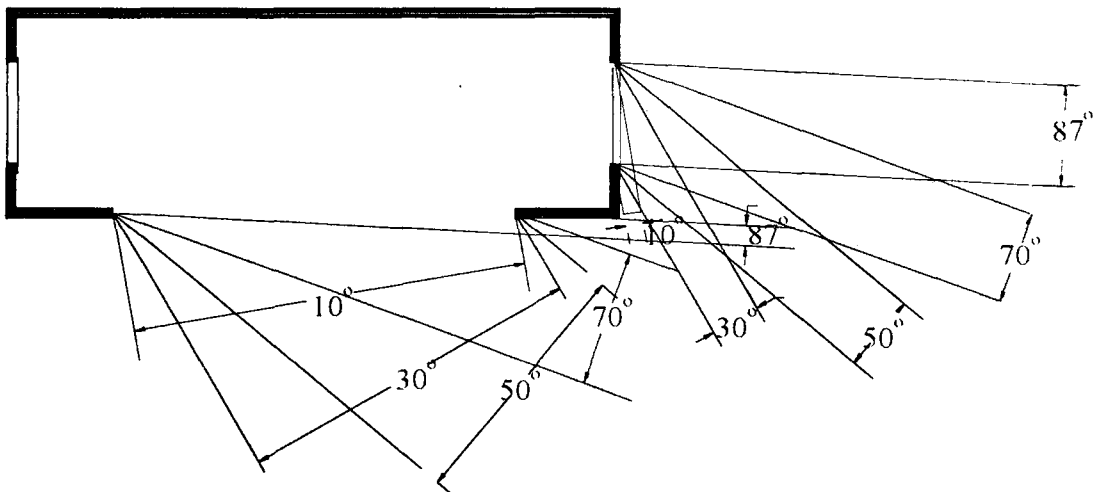
Bu durumda. So konumundaki aygitin, ışıklı alanı (Apo). şekil 4.16'da gösterilen biçimde bulunan ışıklı görünen alanın genişliğinin (dpo). aygitin gerçek uzunluğu (da) ile çarpılması ile bulunur.

$$Apo = da \times dpo \quad (4.33)$$

Burada.

da : Aygitin uzunluğu.

dpo: Aygitin gözleme noktası yönündeki görünen ışıklı alanının genişliğidir.

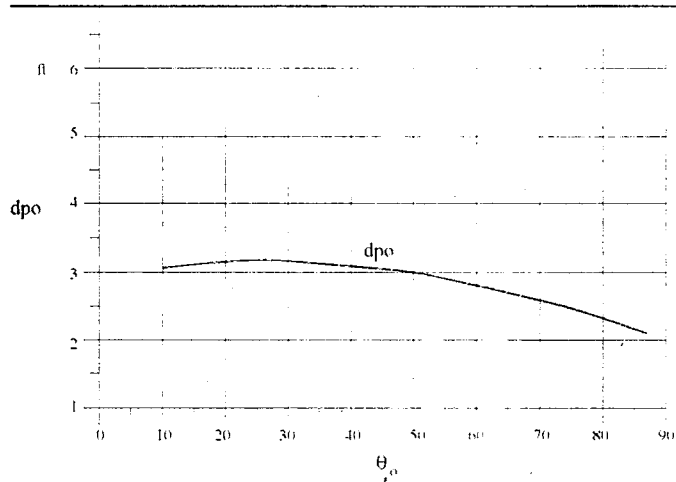


Şekil 4.17- Aygıtın enine kesiti üzerine 5 ayrı açı içim çizilmiş doğru çiftleri aracılığı ile görünen alanın genişliğinin (dpo). bulunması ve bu değerler aracılığı ile görünen alanın hesaplanması

Ayrıntılı hesaplar ve değişen konumlar için, dpo değerlerinin, aygıtın enine kesiti üzerine çizilmiş, beş ayrı açıdaki doğru çiftleri aracılığı ile şekil 4.17'de görüldüğü gibi, ayrı ayrı bulunması ve sağlanan bu veri aracılığı ile, $dpo-\theta$ eğrisinin çizimi gereklidir. Bu çizim için işlenecek işlem sırası ise aşağıdaki gibidir.

- Aygıtın enine ölçekli kesiti çizilir.
- Bu çizim üzerinde, aygıtının ışıklı yüzeylerinin köşe noktalarından, ayrı açılar için 5 doğru çifti çizilir.
- Doğru çiftlerinin arasındaki uzunluk değeri yani, aygıtın sözkonusu açıdaki görünen ışıklı alanının genişliği (dpo). çizim üzerinden ölçülebilir.
- Bu değerler, şekil 4.17'de görüldüğü gibi, çizelge halinde yazılır.(Şekil 4.17'deki, dpo değerleri ölçülebilir bulunan genişliklerin toplamıdır.)
- Beş görünen ışıklı genişlik değeri, θ açısına bağlı olarak, y ekseni dpo değerlerini, x ekseni 0-90 arasındaki açıları gösteren bir koordinat sistemine girilir ve böylece, dpo değerlerinin θ değerlerine göre değişimini veren şekil 4.18'deki gibi bir eğri elde edilir.

Not :Aygıtın, boyutlarının aynı olması durumunda, aygıtların baktır doğrultusuna dik konumu için gerekli olan, ikinci bir $dpo_2-\theta$ eğrisinin çizilmesi gereklidir.



Şekil 4.18- Aygıtın görünen ışıklı alanının genişliğini θ 'ya göre değişimini gösteren eğri.

Bu eğri ile So konumundaki aygıtın, $10^\circ - 87^\circ$ arasında değişen tüm açılardan görünen ışıklı alan genişliği (dpo) değerlerini ve buna bağlı olarak görünen alan (Apo) değerlerini bulmak olanaklıdır.

Aygıtın So konumundan, içinde bulunduğu sırada, ilerlemesi durumunda yani, SoS doğrusu boyunca hareket etmesi durumunda, görünen alan (Apo), $\cos \phi$ nin bir fonksiyonu olarak kısalır ve bu durumda aygıtın yeni konumundaki görünen alanı (Ap), aşağıdaki gibi bulunur.

$$Ap = Apo \times \cos \phi \quad (4.34)$$

Burada:

Ap : Aygıtın SoS doğrusu üzerindeki yeni konumu için görünen ışıklı alanı.

Apo : Aygıtın So konumundaki görünen ışıklı alanı.

$\cos \phi$: Aygıtın gözleme noktasına göre konumunu belirleyen açıdır ve aşağıdaki gibi hesaplanır.

$$\cos \phi = \frac{(L^2 + V^2)^{0.5}}{D} \quad (4.35)$$

Benzer biçimde $\cos\theta_o$ açısı 4.36 nolu formül aracılı ile aşağıdaki gibi hesaplanır.

$$\cos\theta_o = \frac{V}{(L^2 + V^2)^{0.5}} \quad (4.36)$$

Ayrıca $\cos\theta$ değeri aşağıda verilen 4.37 nolu formül ile de bulunur.

$$\cos\theta = \frac{V}{D} \quad (4.37)$$

Buradan da. 4.36 ve 4.37 nolu formüllerin birbirine bölümü, 4.35 nolu formülü vereceğinden, $\cos\phi$ aşağıdaki 4.35a formülü ile de tanımlanabilir.

$$\cos\phi = \frac{\cos\theta}{\cos\theta_o} \quad (4.35a)$$

4.35, 4.36 ve 4.37 nolu formüllerde geçen değişkenler.

- L: Aygit merkezinin yatay düzlemdeki iz düşüm noktasının, bakış doğrultusuna(R) olan uzaklığı.
- V: Aygit merkezinin çalışma düzleminden olan yüksekliği.
- D: Aygit merkezinin, gözleme noktasına olan eğik uzaklığı,
olarak belirlenmiştir.(Bkz.Şekil 4.15)

Bu işlemler sonucunda, boyuna bir sıra üzerinde, herhangi bir yerdeki aygitin görünen alanı (A_p). 4.34a nolu formül ile aşağıdaki gibi tanımlanabilir.

$$A_p = \frac{A_{po} \cdot \cos\theta}{\cos\theta_o} \quad (4.34a)$$

Böylece, boyuna sırada herhangi bir yerde bulunan aygitin görünen alanı (A_p). So konumunda bulunan aygitin görünen alanı (A_{po}). ve ϕ açısına göre bulunur. A_{po} 'nın hesabı için verilen 4.33 nolu formülün, 4.34a nolu formüle eklenmesi ile, A_p aşağıdaki gibi tanımlanabilir.

$$A_p = \frac{d_{po} \cdot d_a \cdot \cos\theta}{\cos\theta_o} \quad (4.34b)$$

Buradan da A_{ef} :

$$A_{ef} = \frac{d_{po}}{\cos\theta_o} \times d_a \quad (4.38)$$

olarak tanımlanabilir.

Aygıtların bakış doğrultusuna paralel olarak yerleştirilmesi durumunda, 4.38 nolu formül aşağıdaki gibi alır.

$$A_{ef} = \frac{d_{pol}}{\cos\theta_{ol}} \times d_a \quad (4.38a)$$

Aygıtların bakış doğrultusuna dik olarak yerleştirilmesi durumunda, 4.38 nolu formül aşağıdaki gibi alır.

$$A_{ef} = \frac{d_{po2}}{\cos\theta_{o2}} \times d_a \quad (4.38b)$$

Kaynak ışıklığının hesaplanması (L_s) ve K_1 çarpanının bulunması :

Standard yerleşim düzeneinde bulunan bir tavan elemanın ortalama ışıklılığını hesap etmek için kullanılan 4.26 nolu formül. Ap için yukarıda verilen 4.34b formül uyarınca yeniden yazılırsa, tavan elemanın ışıklılığı (L_s) 4.26 a ve b nolu formülde olduğu gibi tanımlanabilir.

$$L_s = \frac{\pi \cdot cp}{A_p} \quad (4.26)$$

$$L_s = \frac{\pi(cp) \cdot \cos\theta_o}{A_{po} \cdot \cos\theta} \quad (4.26a)$$

$$K_1 = \frac{\pi}{\cos\theta} \quad (4.39)$$

olarak tanımlanır.

$$L_s = K_1 \frac{I \cdot \cos\theta_e}{d_{po} \cdot da} \quad (4.26 \text{ b})$$

olarak tanımlanabilir

Burada π ve $\cos\theta$ değerleri standard yerleşim düzeni için belli olduğundan, tüm tavan elemanları için K_1 'in değerleri önceden hesaplanarak çizelge halinde getirilmiştir.(Bkz. çizelge 4.20)

Tavan Elemanın ışıklı alanının oluşturduğu hacim açısının (ω_s) ve K2 çarpanının bulunması:

Standard yerleşim düzeneinde bulunan tavan elemanlarının ışıklı alanlarının oluşturduğu hacim açısının ve buna bağlı olarak K_2 'değerlerinin bulunması ise aşağıdaki gibidir.

Her tavan elemanın ışıklı alanı (\bar{A}), her modül içindeki aygit sayısına ve özelliklerine, ve her eleman içindeki modül sayısına bağlı olarak.

$$\bar{A} = c \cdot \bar{N} \cdot A_p \quad (4.40)$$

yukarıdaki 4.40 nolu formül uyarınca hesaplanır.

Burada,

c : Her tavan elemanın içeriği modül sayısıdır .(Bkz. şekil 4.14)

\bar{N} : Her modül başına düşen aygit sayısı

A_p : Söz konusu tavan elemanın merkezinde olduğu varsayılan aygitin, görünen alanının(A_p) hesabı, formül 4.34b 'de olduğu gibidir.

- Bu değişkenlerin hesap biçimini aşağıdaki gibidir.

Her modül başına düşen aygit sayısının hesaplanması (N') :

100 fc'lik aydınlik düzeyini sağlayacak aygit sayısının, oda boyutuna bağlı olarak bulunan modül sayısına bölünmesi ile her modül içindeki aygit sayısı bulunmuş olur.

$$\bar{N} = \frac{N}{\bar{n}} \quad (4.41)$$

Burada:

N : 100 fc aydınlatım düzeyini sağlayan aygit sayısıdır ve aşağıdaki gibi hesaplanır.

$$N = \frac{\text{oda alanı} \times 100 \text{ fc}}{I\Phi / \text{aygit} \times CU} \quad (4.42)$$

CU (coefficient of utilization) : Kullanma çarpanı değeridir

$I\Phi$: Aygıtta bulunan lambaların toplam ışık akısıdır

n^* : 5 x 5'lik modül sayısıdır ve aşağıdaki gibi kesaplanır.

$$\bar{n} = \frac{\text{oda alanı}}{25} \quad (4.43)$$

Yukarıda anlatılanlar gözönüne alındığında, her tavan elemanın ışıklı alanının oluşturduğu hacim açısının hesaplandığı 4.25 nolu formül, aşağıdaki biçimde dönüştür.

$$\omega = \frac{2500 \times c \times A_{po} \times \cos\theta}{I\Phi / \text{aygit} \times CU \times D^2 \times \cos q_0} \quad (4.25a)$$

Ancak, bu formülde,

$$\frac{2500 \cdot c \cdot \cos\theta}{D^2} = K_2 \quad (4.44)$$

olarak gösterildiğinde,

$$\omega = \frac{K_2 \times A_{ef}}{I\Phi / \text{aygit} \times CU} \quad (4.25b)$$

eşitliğine ulaşılır..

Buradaki $\cos\theta$ ve D^2 değerleri, kabul edilen varsayımlar aracılığı ile önceden hesaplanarak, her tavan elemanı için geçerli olan K_2 değerleri çizelge olarak oluşturulmuştur.(Bkz. çizelge 2.20)

K'nın bulunması:

K ise 4.23 nolu formülde geçen hacim açısının fonksiyonu olan Q'nun hesabına bağlı olarak oluşan değişken bir fonksiyondur ve aşağıdaki 4.45 nolu formül aracılığı ile bulunur.

$$\bar{K} = 20.4 + 1.52\omega^{-0.8} - 0.075\omega^{-1} \quad (4.45)$$

\bar{K} 'nın değişen hacim açısı için aldığı değerler hesaplanarak çizelge haline getirilmiştir.(Bkz. çizelge 4.21)

Sonuç olarak, yukarıda bulunma biçimleri ve formülleri verilen, aygit ışıklılığı (L_s), aygitin konumuna bağlı olarak tavan elemanın oluşturduğu hacim açısı (ω_s), ve buna bağlı olarak Q'nun 4.23 nolu kamaşma değişmezi formülüne eklenmesi sonucunda, kamaşma değişmezi formülü yeniden düzenlenerek, bu bölümün başında verilen 4.31 nolu formül biçimine dönüşür.

4.2.2.3 Görsel Konfor Olasılığı (VCP) Çizelgelerindeki Değerlerinin Hesaplanması

Boytuları ve yüzey yansıtma çarpanları, 4.2.2.1 nolu bölümde verilen varsayımlar uyarınca belirlenen bir ortamda, sözkonusu aygitin neden olduğu kamaşma duyulanmasına bağlı olarak bulunan *görSEL konfor olasılığı (VCP)* hesabında izlenecek işlem sırası aşağıdaki gibidir.

1. Ortam boyutlarına bağlı olarak, standard yerleşim düzeni aracılığı ile belirlenen her tavan elemanlarının neden olacağı kamaşma değeri, 4.2.1 nolu bölümde verilen 4.23 nolu kamaşma değişmezi formülü ile bulunur.

Ancak, 4.23 nolu formül değişkenlerinden olan ortamın *ortalama ışıklılık* değeri ($F^{0.44}$), her tavan elemanı için hesaplanacak kamaşma değişmezi için, aynı değer olduğundan, kamaşma değişmezlerinin hesabına ayrı ayrı katılmaz. Bu nedenle, hesaplar sırasında, *göreceli kamaşma değişmezi (Mr)* olarak adlandırılan, aşağıdaki 4.46 nolu formül kullanılır.

$$M_r = \frac{L_s \cdot \bar{K} \cdot \omega_s}{P} \quad (4.46)$$

- Konum indeksi (P) değerleri, oda boyutlarına bağlı olarak çizelge 4.20 'de

verilmiştir.

- Hacim açısı ile ilgili olan K çarpanı, ω_s değerlerine bağlı olarak, çizelge 4.21'de verilmiştir.
2. Aygıtların yerleşimi, bakis doğrultusuna göre, simetrik olduğundan, hesaplar odaların bir yarısındaki tavan elemanlarını içerir. Bundan ötürü 1. adımda bulunan Mr değerleri 2 ile çarpılarak toplanır.
 3. *Ortamın genel ışıklılık (F)* değeri, oda boyutlarına bağlı olarak, bölüm 4.2.2.2 de verilen 4.27 nolu formül uyarınca, hesaplanır.
 - Değişen oda boyutları için, önceden hesaplanan oda yüzeylerinin oluşturduğu hacim açısı değerleri (ω_{fc} , ω_w , ω_{cc}), 4.22 nolu çizelgede verilmiştir.
 4. Toplam ΣMr değerinin, ortamın genel ışıklılık değeri olan $F^{0.44}$ değerine bölünmesi ile, söz konusu ortamda, söz konusu aygitin 100 fc aydınlatık düzeyi oluşturma durumundaki *kamaşma değişmeci (Mt)* değeri bulunmuş olur.
 5. Hesaplanan Mt değerinin, şekil 4.19'da verilen nomogram ya da 4.29 nolu formül aracılığı ile *konforsuzluk kamaşması oranı (DGR)* değerine dönüştürülür.
 6. Bulunan DGR değeri, şekil 4.19'da verilen nomogram ya da 4.30 nolu formül aracılığı ile *görsel konfor olasılığı (VCP)* değerine dönüştürülür.
 7. Yukarıda sıralanan işlemler, aygitin, söz konusu oda içinde, bakis doğrultusuna dik olması koşulu için de uygulanır.

Yukarıda sıralanan işlemlerin, 24 ayrı oda biçimini ve 4 değişik oda yüksekliği kombinasyonu ile oluşan tüm ortamlar için ayrı ayrı uygulanması sonucunda, söz konusu aygitin görsel konfor olasılığı (VCP) çizelgesindeki tüm değerler hesaplanmış olur.

Çizelge 4.20

Tavan Elemanları için çarpanlar

Yükseklik = 8.5ft(2.6m)

(1) Element	(2) θ	(3) β_L	(4) β_c	(5) K_1	(6) K_2	(7) P	(8) θ_{o1}	(9) $\cos \theta_{o1}$	(10) θ_{o3}	(11) $\cos \theta_{o2}$
1	50	28	62	4.88	16.4	6.30	28	0.883	47	0.682
2	63	58	32	6.91	6.89	6.80	59	.515	47	.682
3	71	69	21	9.85	2.40	7.50	70	.342	47	.682
4	76	75	15	13.0	.874	8.00	76	.242	47	.682
5	80	79	11	18.9	.652	8.60	80	.174	47	.682
6	83	82	8	24.9	.249	9.00	83	.122	47	.682
7	84	84	6	31.8	.120	9.25	84	.105	47	.682
8	63	16	74	6.91	11.6	3.00	28	.883	62	.470
9	68	41	49	8.52	6.22	3.50	59	.515	62	.470
10	73	56	34	10.9	2.90	4.30	70	.342	62	.470
11	77	64	26	13.9	1.42	5.05	76	.242	62	.470
12	80	71	19	18.7	1.17	5.90	80	.174	62	.470
13	83	76	14	25.3	.470	6.60	83	.122	62	.470
14	84	79	11	30.8	.231	7.30	84	.105	62	.470
15	72	10	80	10.0	3.75	2.00	28	.883	71	.326
16	74	29	61	11.2	2.70	2.50	59	.515	71	.326
17	76	43	47	13.2	1.64	2.75	70	.342	71	.326
18	78	52	38	15.7	.985	3.33	76	.242	71	.326
19	81	52	28	20.1	.945	4.15	80	.174	71	.326
20	83	69	21	26.4	.417	5.00	83	.122	71	.326
21	85	73	17	33.1	.214	5.65	84	.105	71	.326
22	78	7	83	15.1	2.23	1.56	28	.883	78	.208
23	79	20	70	15.9	1.92	1.63	59	.515	78	.208
24	80	31	59	17.4	1.47	1.90	70	.342	78	.208
25	81	40	50	19.4	1.06	2.27	76	.242	78	.208
26	82	50	40	23.1	1.26	2.82	80	.174	78	.208
27	84	59	31	28.8	.649	3.55	83	.122	78	.208
28	85	65	25	34.9	.362	4.20	84	.105	78	.208
29	82	5	85	22.0	.725	1.36	28	.883	82	.139
30	82	14	76	22.4	.675	1.40	59	.515	82	.139
31	82	22	68	23.1	.585	1.52	70	.342	82	.139
32	83	29	61	25.1	.486	1.70	76	.242	82	.139
33	84	39	51	28.1	.698	2.05	80	.174	82	.139
34	84	48	42	32.7	.434	2.58	83	.122	82	.139
35	85	55	35	38.3	.273	3.05	84	.105	82	.139
36	84	3	87	32.4	.453	1.22	28	.883	84	.105
37	84	9	81	32.7	.438	1.26	59	.515	84	.105
38	85	15	75	33.3	.409	1.33	70	.342	84	.105
39	85	21	69	34.5	.373	1.43	76	.242	84	.105
40	85	28	62	36.5	.618	1.60	80	.174	84	.105
41	86	37	53	40.3	.460	1.90	83	.122	84	.105
42	86	44	46	44.9	.334	2.22	84	.105	84	.105
43	86	2	88	46.2	.155	1.16	28	.883	86	.070
44	86	7	83	46.2	.152	1.17	59	.515	86	.070
45	86	11	79	46.9	.147	1.22	70	.342	86	.070
46	86	15	75	47.6	.140	1.29	76	.242	86	.070
47	86	21	69	49.1	.254	1.39	80	.174	86	.070
48	87	28	62	51.5	.214	1.54	83	.122	86	.070
49	87	34	56	56.9	.176	1.73	84	.105	86	.070
50	87	2	88	60.4	.0704	1.12	28	.883	87	.052
51	87	5	85	60.4	.0697	1.13	59	.515	87	.052
52	87	8	82	60.4	.0683	1.18	70	.342	87	.052
53	87	11	79	61.6	.0662	1.22	76	.242	87	.052
54	87	16	74	62.8	.113	1.30	80	.174	87	.052
55	87	22	68	65.5	.112	1.40	83	.122	87	.052
56	87	28	62	68.3	.0980	1.52	84	.105	87	.052

Çizelge 4.20 Devam

Yükseklik=10ft (3.1m)

(1) Element	(2) θ	(3) β_L	(4) β_c	(5) K_1	(6) K_2	(7) P	(8) θ_{o1}	(9) $\cos \theta_{o1}$	(10) θ_{o2}	(11) $\cos \theta_{o2}$
1	44	25	65	4.40	7.65	8.50	23	0.920	41	0.755
2	57	55	35	5.76	3.41	8.40	51	.629	41	.755
3	66	67	23	7.76	1.38	8.60	64	.438	41	.755
4	72	73	17	10.0	.634	8.90	71	.326	41	.755
5	77	78	12	13.7	.498	9.20	76	.242	41	.755
6	80	81	9	18.8	.248	9.50	80	.174	41	.755
7	82	83	7	24.0	.0943	9.65	82	.139	41	.755
8	56	16	74	5.60	12.3	4.20	23	.920	55	.574
9	62	41	49	6.70	7.15	4.85	51	.629	55	.574
10	68	56	34	8.49	3.50	5.20	64	.438	55	.574
11	73	64	26	10.6	1.79	5.80	71	.326	55	.574
12	77	71	19	14.2	1.51	6.50	76	.242	55	.574
13	81	76	14	19.2	.615	7.30	80	.174	55	.574
14	83	79	11	24.2	.305	7.80	82	.139	55	.574
15	66	10	80	7.85	4.48	2.50	23	.920	66	.407
16	69	29	61	8.70	3.30	2.70	51	.629	66	.407
17	72	43	47	10.1	2.08	3.17	64	.438	66	.407
18	75	52	38	12.0	1.25	3.70	71	.326	66	.407
19	78	62	28	15.2	1.22	4.50	76	.242	66	.407
20	81	69	21	19.9	.545	5.30	80	.174	66	.407
21	83	73	17	24.7	.282	5.95	82	.139	66	.407
22	74	7	83	11.5	2.82	1.81	23	.920	74	.276
23	75	20	70	12.1	2.44	1.86	51	.629	74	.276
24	76	31	59	13.2	1.88	2.11	64	.438	74	.276
25	78	40	50	14.7	1.36	2.47	71	.326	74	.276
26	80	50	40	17.4	1.64	3.02	76	.242	74	.276
27	82	59	31	21.7	.852	3.75	80	.174	74	.276
28	83	65	25	26.2	.479	4.40	82	.139	74	.276
29	79	5	85	16.6	.945	1.50	23	.920	79	.191
30	79	14	76	17.0	.875	1.51	51	.629	79	.191
31	80	22	68	17.8	.765	1.64	64	.438	79	.191
32	81	29	61	18.9	.640	1.82	71	.326	79	.191
33	81	39	51	21.1	.917	2.17	76	.242	79	.191
34	83	48	42	24.7	.572	2.68	80	.174	79	.191
35	84	55	35	28.8	.361	3.18	82	.139	79	.191
36	83	3	87	24.4	.598	1.32	23	.920	83	.122
37	83	9	81	24.5	.578	1.32	51	.629	83	.122
38	83	15	75	25.1	.541	1.39	64	.438	83	.122
39	83	21	69	25.9	.492	1.49	71	.326	83	.122
40	83	29	61	27.6	.820	1.66	76	.242	83	.122
41	84	37	53	30.5	.612	1.97	80	.174	83	.122
42	85	44	46	33.8	.444	2.30	82	.139	83	.122
43	85	2	88	34.7	.216	1.22	23	.920	85	.087
44	85	7	83	34.9	.202	1.22	51	.629	85	.087
45	85	11	79	35.3	.196	1.26	64	.438	85	.087
46	85	15	75	35.9	.186	1.31	71	.326	85	.087
47	85	21	69	37.1	.338	1.42	76	.242	85	.087
48	85	28	62	39.2	.286	1.58	80	.174	85	.087
49	86	34	56	41.9	.234	1.78	82	.139	85	.087
50	86	2	88	45.1	.0942	1.17	23	.920	86	.070
51	86	5	85	45.3	.0932	1.17	51	.629	86	.070
52	86	8	82	45.5	.0914	1.20	64	.438	86	.070
53	86	12	78	46.0	.0886	1.23	71	.326	86	.070
54	86	16	74	47.0	.167	1.31	76	.242	86	.070
55	86	22	68	48.6	.150	1.42	80	.174	86	.070
56	86	28	62	50.8	.131	1.52	82	.139	86	.070

Çizelge 4.20 Devam

Yükseklik=13ft (4m)

(1) Element	(2) θ	(3) δ_L	(4) β_c	(5) K_1	(6) K_2	(7) P	(8) θ_{v1}	(9) $\cos \theta_{v1}$	(10) θ_{v2}	(11) $\cos \theta_{v2}$
1	—	—	—	—	—	—	—	—	—	—
2	—	—	—	—	—	—	—	—	—	—
3	—	—	—	—	—	—	—	—	—	—
4	—	—	—	—	—	—	—	—	—	—
5	—	—	—	—	—	—	—	—	—	—
6	—	—	—	—	—	—	—	—	—	—
7	—	—	—	—	—	—	—	—	—	—
8	46	16	74	4.54	8.24	7.00	14	0.970	45	0.707
9	53	40	50	5.17	5.58	7.00	40	.766	45	.707
10	60	54	36	6.22	3.18	7.10	54	.588	45	.707
11	69	63	27	8.77	1.14	7.40	63	.454	45	.707
12	73	70	20	10.8	1.23	7.80	70	.342	45	.707
13	77	76	14	13.8	.588	8.40	76	.242	45	.707
14	79	79	11	17.0	.316	8.70	79	.191	45	.707
15	57	10	80	5.73	5.10	3.95	14	.970	56	.559
16	60	29	61	6.26	3.95	4.00	40	.766	56	.559
17	64	43	47	7.16	2.62	4.30	54	.588	56	.559
18	68	52	38	8.35	1.66	4.70	63	.454	56	.559
19	72	62	28	10.3	1.70	5.30	70	.342	56	.559
20	77	69	21	13.5	.785	6.10	76	.242	56	.559
21	79	73	17	16.7	.412	6.70	79	.191	56	.559
22	67	7	83	8.03	3.71	2.41	14	.970	67	.391
23	68	20	70	8.38	3.25	2.42	40	.766	67	.391
24	70	31	59	9.08	2.56	2.67	54	.588	67	.391
25	72	40	50	10.1	1.88	3.00	63	.454	67	.391
26	75	50	40	11.8	2.31	3.48	70	.342	67	.391
27	77	59	31	14.6	1.23	4.20	76	.242	67	.391
28	78	65	25	17.6	.700	4.80	79	.191	67	.391
29	74	5	85	11.3	1.33	1.84	14	.970	74	.276
30	74	14	76	11.5	1.24	1.81	40	.766	74	.276
31	75	22	68	12.1	1.09	1.90	54	.588	74	.276
32	76	29	61	12.8	.910	2.09	63	.454	74	.276
33	77	39	51	14.2	1.32	2.44	70	.342	74	.276
34	79	48	42	16.6	.834	2.93	76	.242	74	.276
35	81	55	35	19.4	.530	3.42	79	.191	74	.276
36	79	3	87	16.4	.871	1.50	14	.970	79	.191
37	79	9	81	16.6	.841	1.48	40	.766	79	.191
38	79	15	75	16.9	.789	1.52	54	.588	79	.191
39	80	21	69	17.4	.719	1.60	63	.454	79	.191
40	80	28	62	18.6	1.20	1.79	70	.342	79	.191
41	81	37	53	20.4	.900	2.11	76	.242	79	.191
42	82	44	46	22.8	.656	2.45	79	.191	79	.191
43	82	2	88	23.3	.304	1.34	14	.970	82	.132
44	82	7	83	23.4	.299	1.32	40	.766	82	.132
45	82	11	79	23.6	.289	1.34	54	.588	82	.132
46	82	15	75	24.0	.275	1.39	63	.454	82	.132
47	83	21	69	24.9	.500	1.49	70	.342	82	.132
48	83	28	62	26.2	.422	1.65	76	.242	82	.132
49	84	34	56	28.0	.346	1.86	79	.191	82	.132
50	84	2	88	30.2	.139	1.27	14	.970	84	.105
51	84	5	85	30.2	.138	1.25	40	.766	84	.105
52	84	8	82	30.5	.135	1.27	54	.588	84	.105
53	84	11	79	30.8	.131	1.29	63	.454	84	.105
54	84	16	74	31.4	.246	1.35	70	.342	84	.105
55	84	22	68	32.7	.222	1.47	76	.242	84	.105
56	85	28	62	34.1	.194	1.60	79	.191	84	.105

Çizelge 4.20 Devam

Yükseklik=16ft (4.9m)

(1) Element	(2) θ	(3) β_z	(4) β_r	(5) K_1	(6) K_2	(7) P	(8) θ_{z1}	(9) $\cos \theta_{z1}$	(10) θ_{z2}	(11) $\cos \theta_{z2}$
1	—	—	—	—	—	—	—	—	—	—
2	—	—	—	—	—	—	—	—	—	—
3	—	—	—	—	—	—	—	—	—	—
4	—	—	—	—	—	—	—	—	—	—
5	—	—	—	—	—	—	—	—	—	—
6	—	—	—	—	—	—	—	—	—	—
7	—	—	—	—	—	—	—	—	—	—
8	41	14	76	4.13	3.04	9.30	10	0.985	40	0.766
9	46	37	53	4.52	2.31	9.00	32	.848	40	.766
10	53	51	39	5.23	1.50	9.00	46	.695	40	.766
11	59	60	30	6.18	.924	9.00	55	.574	40	.766
12	66	68	22	7.72	.936	9.10	64	.438	40	.766
13	72	74	16	10.0	.426	9.25	71	.326	40	.766
14	75	77	13	12.5	.333	9.40	75	.259	40	.766
15	47	10	80	4.77	4.98	5.80	10	.985	49	.655
16	52	29	61	5.11	4.02	5.80	32	.848	49	.655
17	57	43	47	5.76	2.82	5.90	46	.695	49	.655
18	61	52	38	6.57	1.89	6.10	55	.574	49	.655
19	67	62	28	8.06	2.04	6.60	64	.438	49	.655
20	72	69	21	10.3	.980	7.20	71	.326	49	.655
21	76	73	17	12.7	.510	7.60	75	.259	49	.655
22	61	7	83	6.36	4.18	3.26	10	.985	60	.500
23	62	20	70	6.62	3.70	3.26	32	.848	60	.500
24	64	31	59	7.12	2.98	3.40	46	.695	60	.500
25	66	40	50	7.79	2.26	3.70	55	.574	60	.500
26	70	50	40	9.10	2.85	4.10	64	.438	60	.500
27	74	59	31	11.1	1.56	4.75	71	.326	60	.500
28	76	65	25	13.4	.899	5.30	75	.259	60	.500
29	69	5	85	8.73	1.62	2.05	10	.985	69	.358
30	69	14	76	8.92	1.52	2.04	32	.848	69	.358
31	70	22	68	9.30	1.34	2.10	46	.695	69	.358
32	71	29	61	9.85	1.13	2.48	55	.574	69	.358
33	73	39	51	10.9	1.67	2.78	64	.438	69	.358
34	76	48	42	12.7	1.06	3.25	71	.326	69	.358
35	78	55	35	14.7	.684	3.75	75	.259	69	.358
36	75	3	87	12.5	1.11	1.73	10	.985	75	.259
37	76	9	81	12.6	1.07	1.70	32	.848	75	.259
38	76	15	75	12.9	1.01	1.70	46	.695	75	.259
39	76	21	69	13.3	.922	1.79	55	.574	75	.259
40	77	28	62	14.1	1.55	1.97	64	.438	75	.259
41	78	37	53	15.5	1.17	2.28	71	.326	75	.259
42	79	44	46	17.2	.856	2.60	75	.259	75	.259
43	80	2	88	17.5	.397	1.49	10	.985	80	.174
44	80	7	83	17.6	.390	1.46	32	.848	80	.174
45	80	11	79	17.8	.378	1.46	46	.695	80	.174
46	80	15	75	18.2	.360	1.49	55	.574	80	.174
47	80	21	69	18.7	.652	1.58	64	.438	80	.174
48	81	28	62	19.8	.554	1.74	71	.326	80	.174
49	81	34	56	21.1	.456	1.96	75	.259	80	.174
50	82	2	88	22.8	.183	1.36	10	.985	82	.139
51	82	5	85	22.8	.181	1.35	32	.848	82	.139
52	82	8	82	22.9	.178	1.35	46	.695	82	.139
53	82	11	79	23.3	.173	1.37	55	.574	82	.139
54	82	16	74	23.6	.326	1.42	64	.438	82	.139
55	83	22	68	24.5	.292	1.52	71	.326	82	.139
56	83	28	62	25.5	.256	1.66	75	.259	87	.139

Cizelge 4.21- Hacim açısı fonksiyonu

Çizelge - 4.22 Döşeme, Duvarlar, ve Tavan İçin Hacim Açıları Değerleri

Genişlik	Oda	Uzunluk	Yükseklik = 8.5 ft (2.6 m)			Yükseklik = 10 ft (3.1 m)			Yükseklik = 13 ft (4 m)			Yükseklik = 16 ft (4.9 m)		
			Döşeme wfc	Duvarlar ww	Tavan wcc	Döşeme wfc	Duvarlar ww	Tavan wcc	Döşeme wfc	Duvarlar ww	Tavan wcc	Döşeme wfc	Duvarlar ww	Tavan wcc
30	20	2.480	1.336	1.184	2.480	1.562	0.958	2.840	1.940	0.580	2.840	2.180	0.340	
	30	2.512	1.210	1.278	2.512	1.430	1.058	2.512	1.752	0.736	2.512	1.988	0.500	
	40	2.522	1.170	1.308	2.522	1.378	1.100	2.522	1.692	0.786	2.522	1.908	0.570	
	60	2.528	1.144	1.328	2.528	1.344	1.128	2.528	1.650	0.822	2.528	1.854	0.618	
	70	2.558	1.002	1.440	2.558	1.282	1.160	2.558	1.666	0.776	2.558	1.966	0.476	
	80	2.601	0.861	1.538	2.601	1.093	1.306	2.601	1.439	0.960	2.601	1.703	0.695	
	90	2.615	0.807	1.578	2.615	1.045	1.340	2.615	1.347	1.038	2.615	1.591	0.794	
	60	2.625	0.765	1.610	2.625	0.999	1.376	2.625	1.289	1.086	2.625	1.513	0.862	
	80	2.628	0.752	1.620	2.628	0.982	1.390	2.628	1.262	1.110	2.628	1.480	0.892	
	90	2.592	0.914	1.494	2.592	1.134	1.274	2.592	1.564	0.844	2.592	1.808	0.600	
40	30	2.642	0.720	1.638	2.642	0.916	1.442	2.642	1.284	1.074	2.642	1.520	0.838	
	40	2.660	0.652	1.688	2.660	0.844	1.496	2.660	1.184	1.156	2.660	1.376	0.964	
	60	2.672	0.600	1.728	2.672	0.782	1.546	2.672	1.102	1.226	2.672	1.262	1.066	
	80	2.676	0.584	1.740	2.676	0.756	1.568	2.676	1.068	1.256	2.676	1.224	1.100	
	100	2.678	0.574	1.748	2.678	0.746	1.576	2.678	1.062	1.260	2.678	1.206	1.115	
	120	2.678	0.570	1.752	2.678	0.926	1.396	2.678	1.022	1.300	2.678	1.258	1.064	
	40	2.701	0.481	1.818	2.701	0.797	1.502	2.701	0.821	1.478	2.701	1.033	1.266	
	60	2.718	0.428	1.854	2.718	0.732	1.550	2.718	0.742	1.540	2.718	0.926	1.356	
	80	2.724	0.398	1.878	2.724	0.714	1.562	2.724	0.702	1.574	2.724	0.874	1.402	
	100	2.726	0.384	1.890	2.726	0.682	1.592	2.726	0.682	1.592	2.726	0.850	1.424	

el. 1 2 r. 2000.00



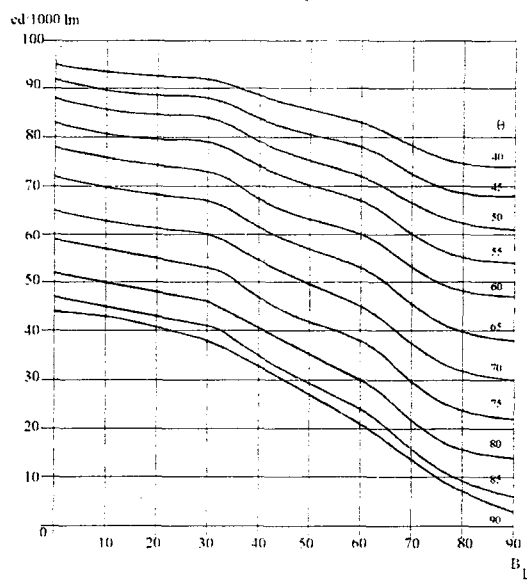
4.2.2.4 Belli Bir Aydınlatma Aygıtının Görsel Konfor Olasılığı(VCP) Çizelgesinin Oluşturulmasında İzlenebilecek İşlem Sırası ve Bir Örnek

Bölüm 4.2.2.1 de anlatılan varsayımlar uyarınca, ve bölüm 4.2.2.2 de anlatılan yöntem aracılığı ile, belli bir aydınlatma aygıtının görsel konfor olasılığı çizelgesinin hazırlanmasında izlenebilecek işlem sırası aşağıda verilmiştir.

1) Aygit ile ilgili özelliklerin belirlenmesi ve gerekli verilerin sağlanması

Seçilen aygit ile ilgili.

- Aygit tipinin ve aydınlatma biçiminin belirlenmesi.
- Aygit boyutlarının belirlenmesi.
- Aygitin enine ölcükli kesitinin çizilmesi ve belli açılar için "dpo1" değerlerinin bulunması.
- Aygitin boyuna ölcükli kesitinin çizilmesi ve belli açılar için "dpo2" değerlerinin bulunması.
- Yapılan çizimlerle elde edilen veriler aracılığı ile bölüm 4.2.2.2 de anlatılan yöntem uyarınca, aygitin görünen ışıklı genişlik değerlerini veren olan " $dpo_1-\theta_{o_1}$ " ve " $dpo_2-\theta_{o_2}$ " eğrilerinin çizilmesi.
- Aygitin ışık yoğunluğu verilerinden, aygit ile gözleme noktası arasındaki eğrinin, yatayla yaptığı (β) açıya bağlı olarak, düşey (θ) açılarındaki ışık yoğunluğu değişimlerini gösteren eğrilerin çizilmesi.



Şekil 4.20-Aygıtın ışık yoğunluğu değerlerinin, β_l 'e göre değişimin gösteren eğri

2) Oda ile ilgili özelliklerin belirlenmesi

- VCP değerlerinin bulunacağı odanın boyutlarının belirlenmesi.
- Oda yüksekliği belirlenmesi.
- Oda indeksine (RCR) ve yüzey yansıtma çarpanlarına bağlı olarak, aygitin ışıkölçümsevilerinden, kullanma çarpanının (CU) bulunması. (Oda boyutlarına bağlı olarak, oda indeksi (RCR) değerleri, çizelge 4.23 de verilmiştir.)

3) Ortamda bulunan her tavan elemanı için göreceli kamaşma değişmezinin (Mr) hesaplanması (hesapçızelgesi 1)

Göreceli kamaşma değişmezi (Mr) değerlerinin hesaplanması için hazırlanan, hesapçızelgesi 1'in oluşturulmasında izlenecek işlem sırası aşağıda verilmiştir.

- Standard yerleşim üzerinden, odanın boyutlarına bağlı olarak görüş alanına giren tavan elemanları belirlenir ve 1.hesapçızelgesinin 1. kolonuna yazılır.
- Çizelge 4.20'den, oda yüksekliğine bağlı olarak, sözkonusu tavan elemanları için geçerli olan, paralel aygıtların S_0 konumu için olan θ_{01} değerleri bulunur ve hesapçızelgesi 1'in 2. kolonuna yazılır.
- Bulunan θ_{01} değerlerine karşılık gelen dpo_1 değerleri, görünen genişlik eğrisinden okunarak, hesapçızelgesi 1'in 3. kolonuna yazılır.
- Aygitin konumunu belirleyen, θ ve β_1 açıları çizelge 4.20'den sözkonusu tavan elemanları için belirlenir ve hesapçızelgesi 1'in sırası ile 4. ve 5. kolonlarına yazılır.
- Belirlenen θ ve β_1 açıları için geçerli olan ışık yoğunluğu değerleri (I), 1. adımda çizilen sözkonusu eğrilerden bulunur ve hesapçızelgesi 1'in 6. kolonuna yazılır.
- Söz konusu tavan elemanları için geçerli olan K_1 çarpanlarının değerleri çizelge 4.20'den alınarak hesapçızelgesi 1'in 7. kolonuna yazılır.
- Söz konusu tavan elemanları için geçerli olan $\cos\theta_{01}$ değerleri çizelge 4.20'den bulunarak hesapçızelgesi 1'in 8. kolonuna yazılır.
- 4.26b nolu formül uyarınca her tavan elemanı için hesaplanan ışıklılık L_s değerleri, hesapçızelgesi 1'in 9 kolonuna yazılır.
- Söz konusu tavan elemanları için geçerli olan K_2 çarpanlarının değerleri çizelge 4.20'den alınarak hesapçızelgesi 1'in 10. kolonuna yazılır.
- Söz konusu tavan elemanlarının ışıklı alanlarının oluşturduğu hacim açısı (vs) değerleri 4.25 nolu formül uyarınca hesaplanarak, hesapçızelgesi 1'in 11. kolonuna yazılır.

- Söz konusu tavan elemanları için geçerli olan K çarpanlarının değerleri, çizelge 4.21'den ω_s değerlerine bağlı olarak bulunup, hesapçızelgesi T'in 12. kolonuna yazılır.
- Söz konusu tavan elemanları için geçerli olan *konum indeksi (P)* çarpanları değerleri, çizelge 4.11' den alınarak hesapçızelgesi T'in 13. kolonuna yazılır.
- Söz konusu tavan elemanlarının *göreceli kamaşma değişmezi (Mr)* değerleri 4.46 nolu formül uyarınca ayrı ayrı hesaplanarak, hesapçızelgesi T'in 14. kolonuna yazılır.
- Hesapçızelgesi T'in 14. kolonunda bulunan Mr değerlerinden 5'den büyük olan değerler toplanarak 2 ile çarpılır ve 14 nolu kolonun altına yazılır.
- Hesapçızelgesi T'in 9. kolonunda bulunan *Ls değerleri*, 11. kolonda bulunan ω_s değerleri ile çarpılır ve bulunan *Lsws değerleri*, hesapçızelgesi T'in 15. kolonuna yazılır.(Bkz. Çizelge 4.24)

Sözkonusu aygıtın VCP çizelgesinin hazırlanabilmesi için, hesapçızelgesi T'in, 24 oda boyutu ve 4 oda yüksekliğinin kombinasyonu ile oluşan tüm ortamlar ve aygıtın bakiş doğrultusuna göre dik olması durumu için ayrı ayrı oluşturulması gereklidir.

Çizelge 4.23 Oda İndeksi Değerleri (RCR)

Oda		Aygit Yüksekliği			
Genişlik	Uzunluk	8.5	10	13	16
20	20	3.00	3.75	5.25	6.75
	30	2.50	3.13	4.38	5.62
	40	2.25	2.81	3.94	5.06
	60	2.00	2.50	3.50	4.50
	30	2.50	3.13	4.38	5.62
	30	2.00	2.50	3.50	4.50
	40	1.75	2.19	3.06	3.94
	60	1.50	1.88	2.62	3.38
40	80	1.38	1.72	2.41	3.09
	20	2.25	2.81	3.94	5.06
	30	1.75	2.19	3.06	3.94
	40	1.50	1.88	2.62	3.38
	60	1.25	1.56	2.19	2.81
	80	1.12	1.41	1.97	2.53
60	100	1.05	1.31	1.84	2.36
	30	1.50	1.88	2.62	3.38
	40	1.25	1.56	2.19	2.81
	60	1.00	1.25	1.75	2.25
	80	0.88	1.09	1.53	1.97
100	100	0.80	1.00	1.40	1.80
	40	1.05	1.31	1.84	2.36
	60	0.80	1.00	1.40	1.80
	80	0.68	0.84	1.18	1.52
100		0.60	0.75	1.05	1.35

Çizelge 4.24
HESAP ÇİZELGESİ 1

Firma Adı :

Aygıt Kodu :

Oda yüksekliği :
İşık Akısı/Aygıt :

Oda boyutu:
Aygıt uzunluğu (da):
Kullanma çarpanı (CU):
Aygıtların doğrultusu:

T. elemanı	θe1	θpol	θ	BL	1	K1	Coshol	Ls	K2	Ws	\bar{K}	P	Mr	LsWs
1														
2														
3														
4														
5														
6														
7														
8														
9														
10														
11														
12														
13														
14														
15														
16														
17														
18														
19														
20														
													Top Mr	Top LsWs

4) Ortamın genel ışıklılığının bulunması (Hesapçızelgesi 2)

Ortamın genel ışıklılığının (F) hesaplanması için hesapçızelgesi 2'nin oluşturulmasında izlenen işlem sırası aşağıdaki gibidir.

- 20 x20 feet'den, (6.2x6.2 m) 100 x 100 feet'e (31x31 m) değişen oda boyutları hesapçızelgesinin 1. kolonuna yazılır.
- Duvarlar ve tavan için belirlenen *ışıklılık çarpanı (LC) değeri*, hesapçızelgesi 2'nin 2 ve 3. kolonlarına yazılır.
- Her oda boyutu için bulunan *kullanma çarpanı (CU) değerleri*, hesapçızelgesi 2'nin 4. kolonuna yazılır.
- *Duvarların ve tavanın ışıklılığı (Lw, Lcc)*, aşağıdaki 4.47 nolu formül uyarınca hesaplanarak, hesapçızelgesi 2'nin, sırası ile 5. ve 6. kolonlarına yazılır.

$$L = \frac{100 \times LC}{CU} \quad (4.47)$$

- *Döşemenin ışıklılığı (Lfc)* ise, rdöş = 0.2 yansıtma çarpanı ve $E = 100$ fc aydınlatık düzeyi için $Ldöş = 20$ footlambert ($68cd/m^2$) olarak bulunur ve hesapçızelgesi 2'nin 7. kolonuna yazılır.
- Değişik boyutaki odaların, duvar, tavan ve döşeme için önceden hesaplanmış *hacim açıları (ws)* değerleri, çizelge 4.22 den bulunarak, hesapçızelgesi 2'nin, sırası ile 8., 9., ve 10. kolonlarına yazılır.
- Hesapçızelgesi 2'in 4., 5., ve 6. kolonlarında bulunan yüzey ışıklılık değerlerinin sırası ile 8., 9., ve 10. kolonlardaki ωs değerleri ile çarpılması ile elde edilen $LwWw$, $LfcWfc$, ve $LccWcc$ değerleri, aynı hesapçızelgesinin 11., 12. ve 13. kolonlarına yazılır.
- Hesapçızelgesi 1'in 15. kolonunda bulunan $LsWs$ değerlerinin toplamı 2 ile çarpılarak hesapçızelgesinin 14. kolonuna yazılır.
- Hesapçızelgesi 2'nin 11.. 12.. 13. ve 14. kolonlarında bulunan değerlerin 4.27 nolu formül uyarınca toplanması ile bulunana *ortamın genel ışıklılık (F)* değerleri aynı çizelgenin 15. kolonuna yazılır.
- Hesapçızelgesi 2'nin 15.kolonunda bulunan F değerlerinin 0.44 kuvveti ($F^{0.44}$) alınarak aynı hesapçızelgesinin 16. kolonuna yazılır.(Bkz. Çizelge 4.25)

Cizelge 4.25
HESAPÇIZELGESİ

Firma Adı :
Avgit Kodu :

4) Boyutları belli bir ortamda görsel konfor olasılığı değerinin (VCP) bulunması (hesapçızelgesi3):

Boyları belirlenmiş bir ortamda, varsayımlar uyarınca oluşturulan bir aydınlatma düzeninin neden olacağı kamaşma duyulanması değerinin (DGR) ve kişinin böyle bir ortamda görsel konforunun sağlanması yüzdesi (VCP) değerinin, bulunması için hesapçızelgesi 4'ün oluşturulmasında izlenen işlem sırası aşağıdaki gibidir.

- Oda boyutları hesapçızelgesi 4'ün 1. kolonuna yazılır.
- Oda indeksine ve yansıtma çarpanlarına göre bulunan kullanma çarpanı değerleri (CU) hesapçızelgesi 4'ün 2. kolonuna yazılır.
- Hesapçızelgesi 1'in 14. kolonunda bulunan Mr değerlerinin 5 den büyük olanları toplanıp 2 ile çarpılır ve hesapçızelgesi 4'ün 3. kolonuna yazılır.
- Sözkonusu ortamda, 100 fc'lik aydınlik düzeyini sağlayacak aygit sayısı 4.42 formül uyarınca bulunarak hesapçızelgesi 4'ün 4. kolonuna yazılır.
- Sözkonusu ortamın yüzey ışıklılıklarına göre, hesapçızelgesi 3'ün 15. kolonunda bulunan ortamın genel ışıklılığının 0.44. kuvveti ($F^{0.44}$) değeri hesapçızelgesi 4'ün 5. kolonuna yazılır.
- Hesapçızelgesi 4'ün 3. kolonunda bulunan Mr değerinin, aynı hesapçızelgesinin 5. kolonunda bulunan $F^{0.44}$ değerine bölünmesiyle bulunan sözkonusu ortamın kamaşma değişmezi (Mt) değerleri aynı hesapçızelgesinin 6. kolonuna yazılır.
- Hesapçızelgesi 4'ün 6. kolonunda bulunan Mt değerleri aracılığıyla, 4.29 nolu formül uyarınca ya da şekil 4.19'daki nomogram ile, ortamındaki *konforsuzluk kamaşması oranı (DGR)* değeri bulunur ve aynı hesapçızelgesinin 7. kolonuna yazılır.
- Hesapçızelgesi 4'ün 7. kolonunda bulunan DGR değeri aracılığı ile *görsel konfor olasılığı (VCP)* değeri yine şekil 4.19'daki nomogram ya da 4.30 nolu formül aracılığı ile bulunur ve aynı hesapçızelgesinin 8. kolonua yazılır. (Bkz. Çizelge 4.26)

Çizelge 4.26
HESAP ÇİZELGESİ 3

Firma Adı :

Aygit Kodu :

Oda Yüksekliği :

İşık Akısı/Aygit :

Aygıtların doğrultusu:

En	Boy	CÜ	T Mr	n	F 0.44	Mt	DGR	VCP
20	20							
30	30							
40	40							
60	60							
30	20							
30	30							
40	40							
60	60							
80	80							
100	100							
40	20							
30	30							
40	40							
60	60							
80	80							
100	100							
60	30							
40	40							
60	60							
80	80							
100	100							
100	40							
60	60							
80	80							
100	100							

Yukarıda verilen işlemlerin 24 oda biçimini ve 4 ayrı oda yüksekliğinin kombinasyonundan oluşan tüm ortamlar ve aydınlatın bakış doğrultusuna göre dik yerleşimi için tekrarlanması sonucunda söz konusu aydınlatın VCP çizelgesi için gerekli olan tüm değerler bulunmuş olur. Bulunan bu değerlerle oluşturulan bir VCP çizelgesinin genel görünüşü, çizelge 4.27'de görüldüğü gibidir. (IES Lighting Handbook Ref.1984)

Çizelge 4.27-000 kodlu aydınlatın VCP çizelgesi

Duvar Yansıtma Katsayısı:%50 Tavan YK:%80

Döşeme YK:%20 Aygit Kodu: 000

Çalışma düzlemini aydınlatlık düzeyi 100 Footcandles

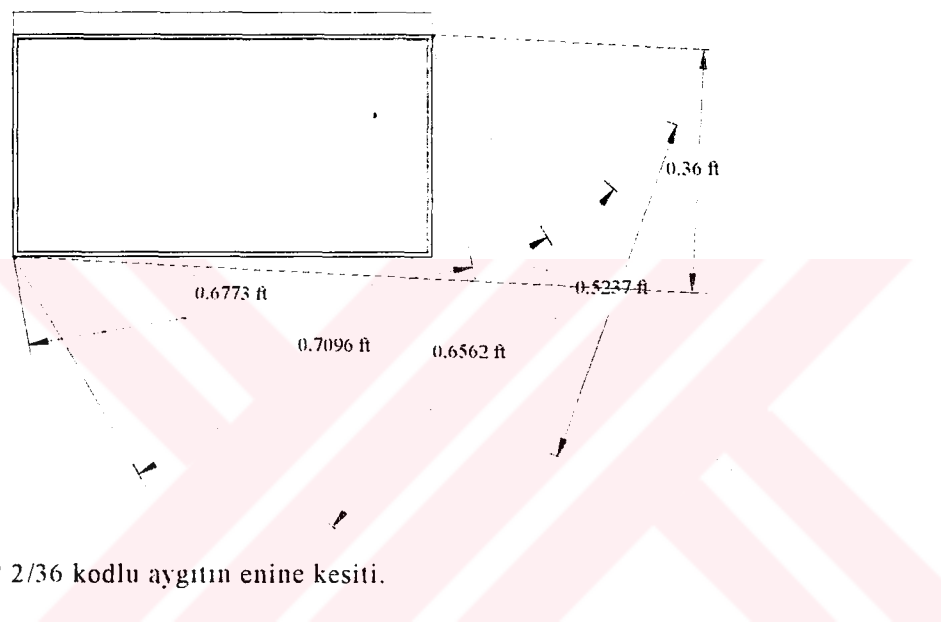
oda En	Boyu Boy	Boyunca Aygitlar				Enine Aygitlar			
		8.5	10	13	16	8.5	10	13	16
20	20	78	82	90	94	77	81	89	93
20	30	73	76	82	88	72	75	81	86
20	40	71	73	78	82	70	72	76	80
20	60	69	71	74	78	68	70	73	76
30	20	78	82	88	92	77	81	87	92
30	30	73	75	80	85	72	74	79	84
30	40	70	72	75	78	69	71	74	77
30	60	68	69	71	74	67	69	70	73
30	80	67	69	69	72	67	68	68	71
40	20	79	82	87	92	79	82	87	91
40	30	74	76	79	84	73	75	78	83
40	40	71	72	74	77	70	71	73	76
40	60	68	69	70	72	68	69	69	71
40	80	67	68	68	70	67	68	67	69
40	100	67	68	67	69	67	67	66	68
60	30	75	76	79	83	74	76	78	82
60	40	71	72	74	76	71	72	73	76
60	60	69	69	69	71	68	69	68	70
60	80	68	68	67	69	67	68	66	68
60	100	67	67	66	67	67	67	65	66
100	40	74	75	75	78	74	74	75	77
100	60	71	71	71	72	71	71	70	72
100	80	70	70	68	69	70	69	67	69
100	100	69	68	66	67	69	68	66	67

Görsel konfor olasılığı çizelgesi hazırlanmasına bir örnek:

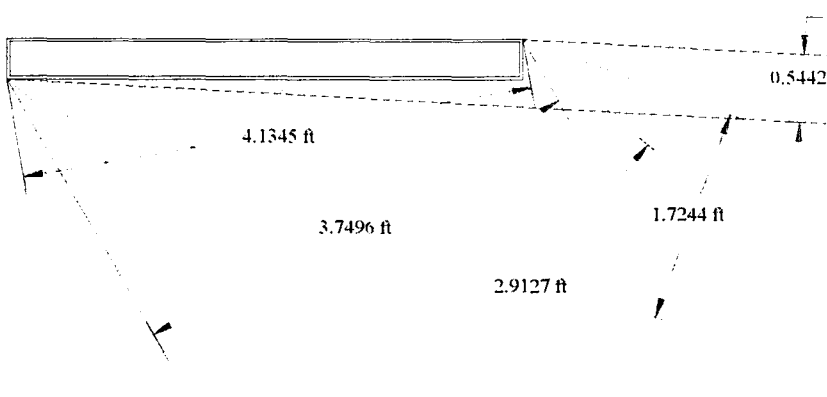
Zumtobel firmasının 1991 yılı ürün katalogunun 60. sayfasında bulunan KOP (KOP 2/36) kodlu aydınlatın (Bkz Şekil 4.8), bölüm 4.2.2.4'de anlatılan işlem sırası uyarınca görsel konfor olasılığı (VCP) çizelgesinin hazırlanması.

1) Aygit ile ilgili özelliklerin belirlenmesi ve gerekli verilerin sağlanması

- Aygitin tipi:
Yayınık yansıtıcılı, flouriştl lambalı sıva üstü aygit (Yarı dolaysız aydınlatma biçimini)
- Aygitin boyutları:
1262 x 192 x 100
- dpo1 eğrisinin bulunması için aygitin enine ölçekli kesitinin çizilmesi :
- dpo2 eğrisinin bulunması için aygitin boyuna ölçekli kesitinin çizilmesi:

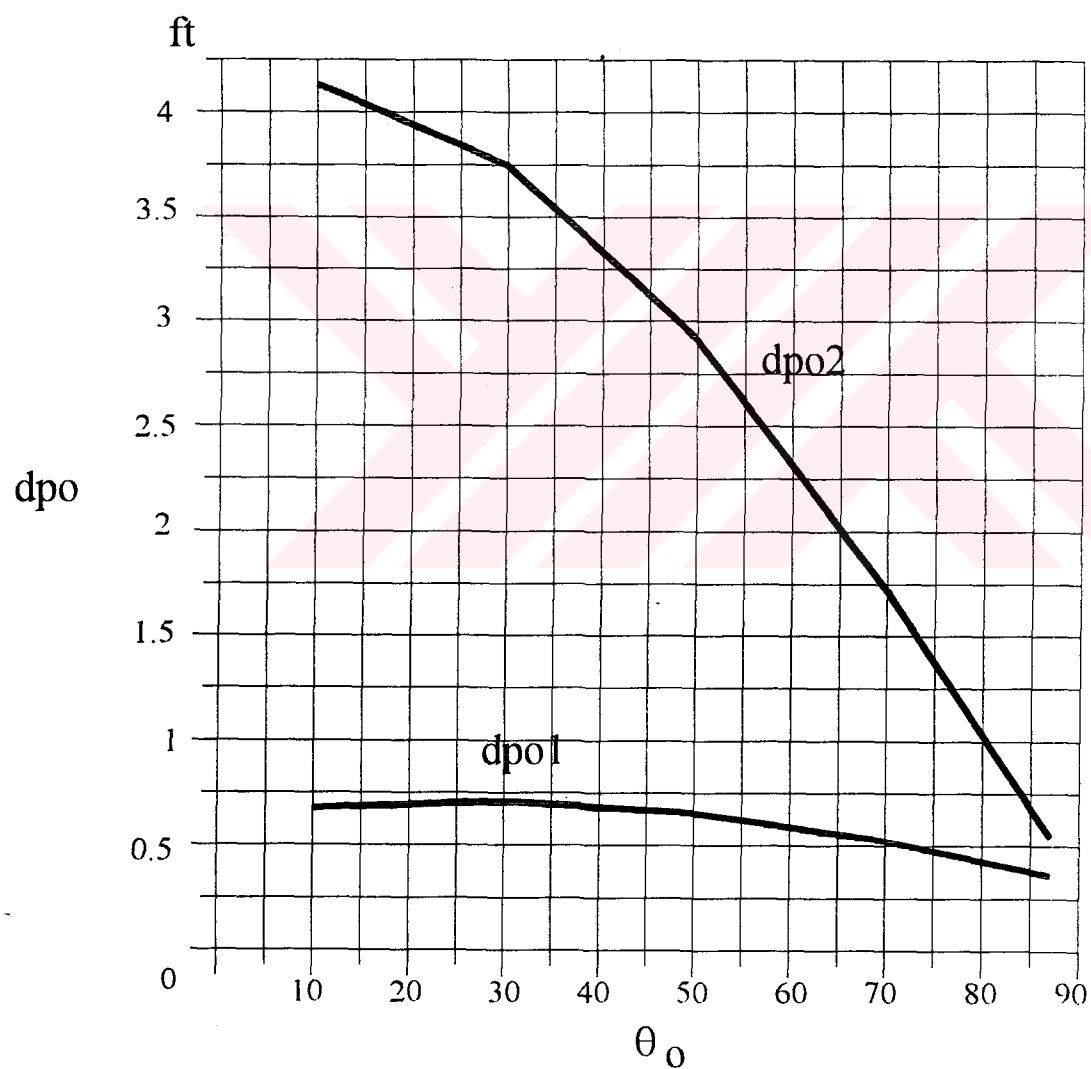


Şekil 4.21- KOP 2/36 kodlu aygitin enine kesiti.



Şekil 4.22- KOP (2/36) kodlu aygitin enine kesiti.

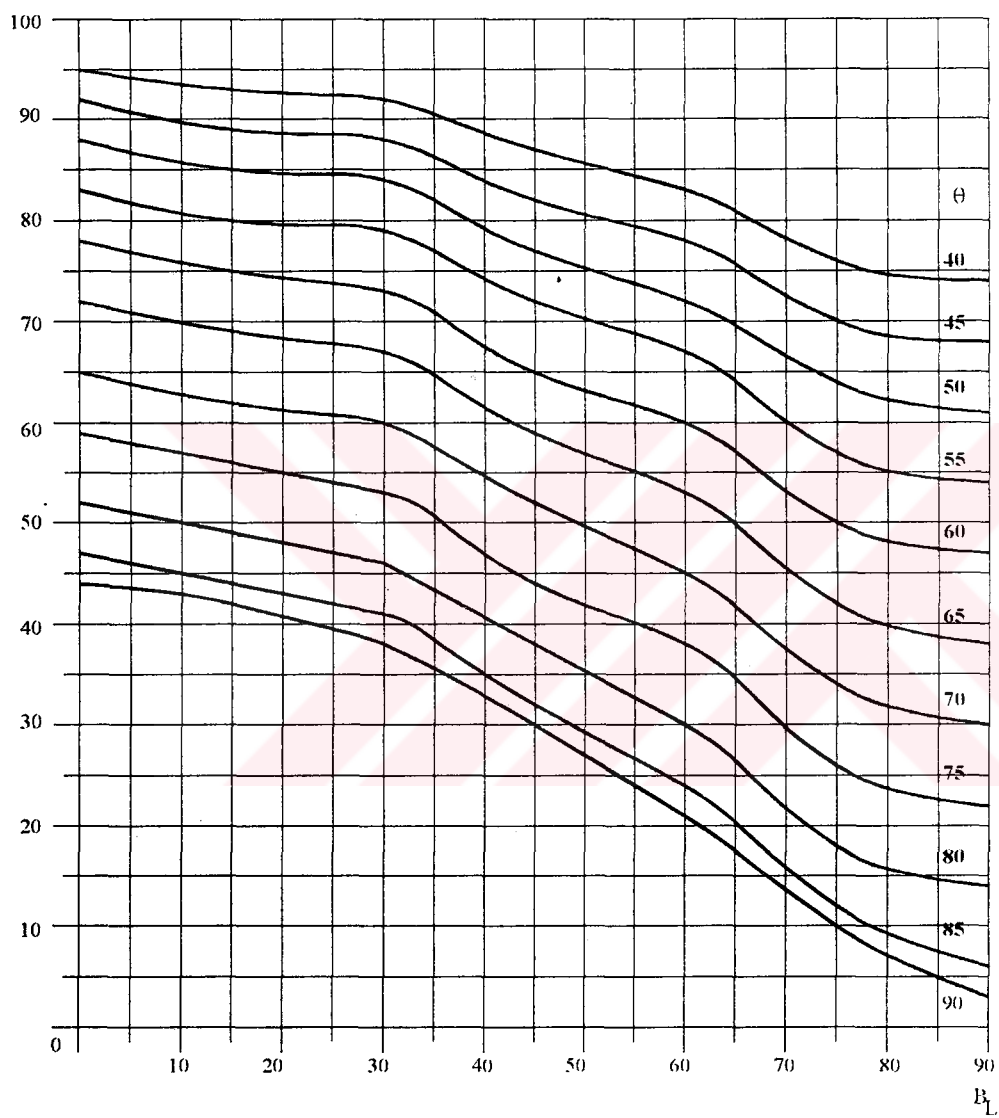
q_0	dpo1	dpo2
10	0.67	4.13
30	0.71	3.75
50	0.65	2.91
70	0.52	1.72
87	0.36	0.54



Şekil 4.23-KOP (2/36) kodlu aygıtın S_0 konumundaki görünen alanının genişliğinin θ_0 açısına göre değişimini veren eğriler.

- Aygıtın ışık yoğunluğu ile ilgili verilerden ışık yoğunlığı eğrileri 4.2.2.4.nolu bölümde 1. adımda anlatılan yöntemle çizilir.

cd/1000 lm



Şekil 4.24

2) Oda ile ilgili özelliklerin belirlenmesi

- Oda boyutlarının belirlenmesi

Bir aygıtın VCP çizelgesinin hazırlanması için varsayımlarla belirlenen tüm ortamlar için hesap yapılması gereklidir. Ancak, bu örnekte yalnız 30 x30x10 feet boyutlarındaki oda için hesap yapılmıştır.

- Oda yüksekliğinin belirlenmesi

$H = 10 \text{ foot (3.1 m)}$

- Oda indeksi değerleri (Room Cavity Ratios RCR) çizelge 4.23'den bulunur.

$RCR = 2.50$

- Kullanma çarpanı (CU) değeri aygıtın ışıkölçümsel verilerinden bulunur.

$CU = 42$

3) Ortamda bulunana tavan elemanları için göreceli kamaşma değişmezci (Mr) değerlerinin hesaplanması (Hesapçızelgesi 1)

Yukarıda 3. adımda anlatılan işlem sırası ile hesapçızelgesi 1 hazırlanır. (Bkz. çizelge 4.28)

4) Ortamın genel ışıklılık değerinin yalnızca sözkonusu oda için bulunması (hesapçızelgesi)

Yukarıda 4. adımda anlatılan işlem sırası ile, hesapçızelgesi 2 hazırlanır.(Bkz. çizelge 4.29)

5) GörSEL konfor olasılığı değerlerinin bulunması (hesapçızelgesi 3)

Yukarıda 5. bölümde anlatılan işlem sırası ile, bu örnek için $30 \times 30 \times 10$ feet'lik oda da görsel konfor olasılığı değerleri bulunur ve hesapçızelgesi 3 oluşturulur. (Bkz. çizelge 4.30)

Bu örnekte, yalnızca $30 \times 30 \times 10$ feet ($9.3 \times 9.3 \times 3.1$ m) boyutlarındaki odada, aygıtların bakış doğrultusuna göre paralel yerleşimi için hazırlanan hesapçızelgeleri ile yapılan hesapların diğer 23 oda ve 4 aygit yüksekliği için de yapılması sonucunda elde edilen VCP değerlerinin çizelge 4.27'de görüldüğü biçimde yerleştirilmesi ile, KOP (2/36) kodlu aygıtın VCP çizelgesi hazırlanmış olur.

Çizelgesi 4.28
THESAP ÇİZELGESİ 1
Firma Adı : Zumtobel
Aygit Kodu : KOP (236)

Oda yüksekliği : Ayaklı uzunluğu (da):
Oda boyutu: Ayaklı yükseklik Ağızı/Ağızı : 10 ft 4700 lm/aygit

30 x 30 Kullanma çarpanı (CU): **4,14 fü** arın doğruluğu:

Parallel 0.40

T. Eleman	ρ_01	ρ_{pol}	ρ	Bi	1	K1	CosQoI	Ls	K2	Ws	\overline{K}	P	Mr	LsWs
1	23	0.722	44	25	408.9	4.4	0.92	553.76	7.65	0.0132207	63.7	8.5	51.881481	7.32
2	51	0.656	57	55	310.2	5.76	0.629	413.82	3.41	0.0078316	84.6	8.4	32.64013	3.24
3	64	0.558	66	67	232.18	7.76	0.438	341.61	1.38	0.0038715	131.9	8.6	20.28402	1.32
8	23	0.722	56	16	380.7	5.6	0.92	656.18	12.3	0.0212568	50.3	4.2	16.70463	13.95
9	51	0.656	62	41	326.18	6.7	0.629	506.15	7.15	0.0164211	57.3	4.85	98.9587	8.31
10	64	0.558	68	56	418.3	8.49	0.438	673.34	3.5	0.0098191	74.2	5.2	94.34227	6.61
15	23	0.722	66	10	321.48	7.86	0.92	777.73	4.48	0.0077423	85.2	2.5	20.52089	6.02
16	51	0.656	69	29	293.28	8.7	0.629	590.95	3.3	0.0075790	86.6	2.7	14.36321	4.48
17	64	0.558	72	43	334.64	10.1	0.438	640.82	2.08	0.0058353	101	3.17	119.1425	3.74
22	23	0.722	74	7	277.3	11.5	0.92	981.52	2.82	0.0048735	113.6	1.81	30.2194	4.78
23	51	0.656	75	20	258.5	12.1	0.629	724.42	2.44	0.0056038	103.2	1.86	22.2393	4.06
24	64	0.558	76	31	244.4	13.2	0.438	611.67	1.88	0.0052742	108.1	2.11	165.793	3.23
													top Mr	top LsWs
													1626.115	67.06
													3252.23	134.13

HESAPÇIZELGESİ 2

Firma Adı : Zumtobel
Aygit Kodu KOP (2/36)

HESAP ÇİZELGESİ 3

Firma Adı : Zurnitobel
Aygit Kodu : KOP (2/36)

Oda yüksekliği : 10 Ft
İşik Akısı/Aygit : 4700lm/aygit

Aygıtların doğrultusu:

Paralel

1	2	3	4	5	6	7	8
En	Boy	CU	T Mr	n	F 0.44	Mt	DGR
20	20						VCP
30	0.42	3252.23027	24	534	566.869078	105	
40							
60							
30	20						
	30						
	40						
	60						
	80						
	100						

4.3 Kamaşma İndeksi (GI) ve Görsel Konfor Olasılığı (VCP) Yöntemlerinin Değerlendirilmesi ve Karşılaştırılması

Konforsuzluk kamaşması, ortamda görsel konfor olumsuz olarak etkileyen, ve varlığı aydınlatma niteliği açısından kabul edilemez olan, bir olgudur. Bundan ötürü de, bir ortamda oluşabilecek konforsuzluk kamaşmasının sınırlanması ve denetlenmesi gereklidir. Bunun gerçekleştirilebilmesi içinde, ortamda oluşan konforsuzluk kamaşmasının sayısal olarak ölçülendirilebilmesi ve buna bağlı olarak yarataceği duyulanmanın değerlendirilebilmesi gereklidir. Bu gereksinime yönelik olarak geliştirilen ve 4.1 ve 4.2 nolu bölümlerde, hesaplanma ve kullanılma biçimleri ayrıntılı olarak anlatılan *CIBSE Kamaşma İndeksi* ve *Görsel Konfor Olasılığı* yöntemlerinin değerlendirme ve karşılaştırılması aşağıdaki bölümlerde ele alınmıştır..

4.3.1 GI ve VCP Yöntemlerinin Değerlendirilmesi

Konforsuzluk kamaşmasının niceliği, bireysel duyulanmalara bağlı olduğundan, söz konusu yöntemlerin geliştirilmesinde, deneysel yöntemler temel alınmıştır. Yapılan ayrıntılı çalışmalarla, konforsuzluk kamaşmasına neden olan değişkenler bulunmuş, ve bu değişkenlerin, konforsuzluk kamaşmasını ne yönde etkilediği saptanmıştır. Bu verilerin ışığında da, kamaşmanın hesabı için temel formüller geliştirilmiştir. Kamaşmayı oluşturan etkenler belli olduğundan, geliştirilen formüller benzer olacağı ortadadır. Her iki yöntemde de, kullanılan kamaşma değişmezi formüllerinde, kamaşmanın niceliği, kaynak ışıklılığına ve aygıtın görünen büyüğüğünne göre doğru orantılı, arkaplan ışıklılığına ve kaynağın konumuna göre ters orantılı olarak artmaktadır. Sözkonusu kamaşma değişmezi formülleri arasındaki ayırmalar, yöntemlerin geliştirilmesindeki değişikliklerden kaynaklanır.

Eansaslarını bir temel formülün oluşturduğu, iki yöntem de, hesaplama işlemlerini kolaylaştmak ve kullanılabilirliği artırmak amacıyla, belli varsayımlar yaparak, kamaşma değerlerini kapsayan çizelgeler hazırlanmasını olanaklı kılmıştır.

- . Her iki yöntemde de hazırlanan çizelgeler (UGI VCP), yalnız belli bir aygit için geçerlidir ve bu aygıtın sözkonusu varsayımlara göre oluşturulan ortamlarda kullanılması durumunda, oluşabilecek kamaşma değerlerini kapsar.

4.3.1.1. CİBSE Kamaşma İndeksi Yönteminin (GI) Değerlendirilmesi

Kamaşma indeksi(GI), daha çok İngiltere ve Belçika gibi Avrupa ülkelerinde kullanılan, konforsuzluk kamaşmasının değerlendirilmesi için CIBSE tarafından geliştirilen, bir yöntemdir. Bu yöntemle oluşturulan düzeltilmemiş kamaşma indeksi (UGI) çizelgeleri ise, belli bir aygıtın bölüm 4.1.2.1'de verilen varsayımlar uyarınca oluşturulmuş ortamlardaki kamaşma indeksi değerlerini verir.

CIBSE kamaşma indeksi yöntemi ile hazırlanan UGI çizelgelerinden yararlanırken, oluşturulan aydınlatma düzeninde yapılan varsayımlara uymayan koşullar olması durumunda, kullanılması için dönüşüm değerleri çizelgeleri oluşturulmuştur. Bununla, kamaşma indeksi yönteminin, uygulama alanında kullanılabilirliğinin artırılması amaçlanmıştır.

Düzeltilmemiş kamaşma indeksi (UGI) çizelgeleri, 19 ayrı oda boyutu oranına bağlı olarak oluşan, tüm oda boyutları ve ortam yüzeylerinin, 5 ayrı yansıtma çarpanları kombinasyonu için kamaşma indeksi değerlerini bulundurur. Ayrıca, aygit yüksekliği ve aygıtta kullanılan lambanın ışık akısı için verilen dönüşüm değerleri (DDH ve DDΦ) ile, düzeltilmemiş kamaşma indeksi değerleri, dönüştürülerek koşulları, varsayımlardan değişik olan ortamlarda da kullanımı sağlanmıştır.

Ancak, aygitların oda içine varsayımlar uyarınca 2 m ara ile yerleştirilmesi, kullanıcıyı, aygit sayısı ve buna bağlı olarak oluşan aydınlik düzeyi, gibi kararların alınmasında sınırlamaktadır. Aydınlatma düzenlerinin kurulması ve hesaplanmasında aydınlik düzeyi ve buna bağlı olarak aygit sayısı ilk veri olduğundan sözkonusu varsayımları kullanmayı oldukça kısıtlar.

4.3.1.2. Görsel Konfor Olasığı Yönteminin (VCP) Değerlendirilmesi

Görsel konfor olasılığı (VCP), IES tarafından geliştirilen ve daha çok ABD'de kullanılan bir yöntemdir. Bu yöntemle oluşturulan VCP çizelgeleri ise, belli bir aygıtın bölüm 4.2.2.1'de verilen varsayımlar uyarınca oluşturulmuş ortamlardaki görsel konfor olasılığı değerlerini verir. Bu değerler, kişilerin sözkonusu ortamdan görsel olarak hoşnut olma yüzdesini belitir.

Görsel konfor olasığı çizelgeleri, 24 ayrı oda biçimini ve 4 değişik aygit yüksekliği kombinasyonu ile oluşan tüm ortamlar için sözkonusu aygit ile oluşturulan aydınlatma düzeninin görsel konfor olasılığı değerlerini kapsar. Uygulamada, söz konusu ortamlar için,

çizelgede verilen yüzey yansıtma çarpanlarının kullanılmaması durumunda, çizelgedeki değerlerin kullanılması olanağlı değildir. Bu koşul ise kullanıcıyı, yüzey yansıtma çarpanları açısından belli değerlerin kullanılmasına zorlamaktadır. Ayrıca yatay düzlemden, 100 sc 'lik aydınlatık düzeyinin oluşturulması koşulu, işlevlerin ayrımlar gösterdiği ortamlarda, sözkonusu aygit ile oluşturulan aydınlığın, görsel konfor olasılığı değerlerinin belirlenmesini güçleştirir.

4.3.2 Kamaşma İndeksi (GI) ve Görsel Konfor Olasılığı (VCP) Yöntemlerinin Karşılaştırılması

Kamaşma indeksi değerlerinin ve görsel konfor olasılığı değerlerinin bulunmasında kullanılan genel hesap aşamaları aşağıda verildiği gibi sıralanabilir.

Kamaşma İndeksi (GI)	Görsel Konfor Olasılığı (VCP)
genel hesap biçimi	genel hesap biçimi
1) Kamaşma Değişmezi $g = \frac{0.9 L_s^{1.6} \cdot \phi^{0.8}}{L_b \cdot P^{1.6}}$	Kamaşma değişmezi $M = \frac{L_s Q}{PF^{0.44}}$
2) Kamaşma İndeksi $GI = 10 \log_{10} [0.5(\Sigma g)]$	Kamaşma Oranı $DGR = \left[\frac{\sum M}{n} \right]^{-0.0914}$
3) $Görsel\ Konfor\ Olasılığı\ VCP = \frac{100}{\sqrt{2\pi}} \int_{-\infty}^{6.374 - 1.3227 \ln(DGR)} e^{\frac{-t^2}{2}} dt$	

Burada da görüldüğü gibi, her iki yöntemin de temelini oluşturan kamaşma değişmezinin hesabı birbirine benzemektedir. Ayrıca, ortamın kamaşma değerini bulunuşası her iki yöntemde de hesaplanan kamaşma değişmezlerinin (g ve M) toplanması ile bulunmaktadır.

Ancak, *kamaşma indeksinde*, kamaşmanın neden olacağı duyulanmanın değerlendirilmesi, bulunan toplam değere göre yapılırken, *görsel konfor olasılığı yönteminde*, bulunan toplam değer, duyulanmanın değerlendirilebilmesi için, bir işlemden daha geçer. Bu işlemin sonucunda, ortamındaki kamaşma, kişilerin, sözkonusu ortamda, görsel konfor içinde olmaları yüzdesi ile değerlendirilir.

Yani, kamaşma indeksinin sayısal değeri arttıkça kamaşmanın etkileri artarken, görsel konfor olasılığının sayısal değeri arttıkça, hoşnut olanların sayısı arttığından, kamaşmanın etkileri azalmaktadır. Sonuç olarak iki yöntem arasındaki en önemli ayrim, kamaşmayı değerlendirmeye biçimlerindedir. Bununla birlikte, sözkonusu yöntemler aracılığı ile hazırlanan çizelgeler arasında özellikle yapılan varsayımlardan ileri gelen ayrimlar vardır. Bu ayrimları aşağıdaki gibi sıralayabiliriz.

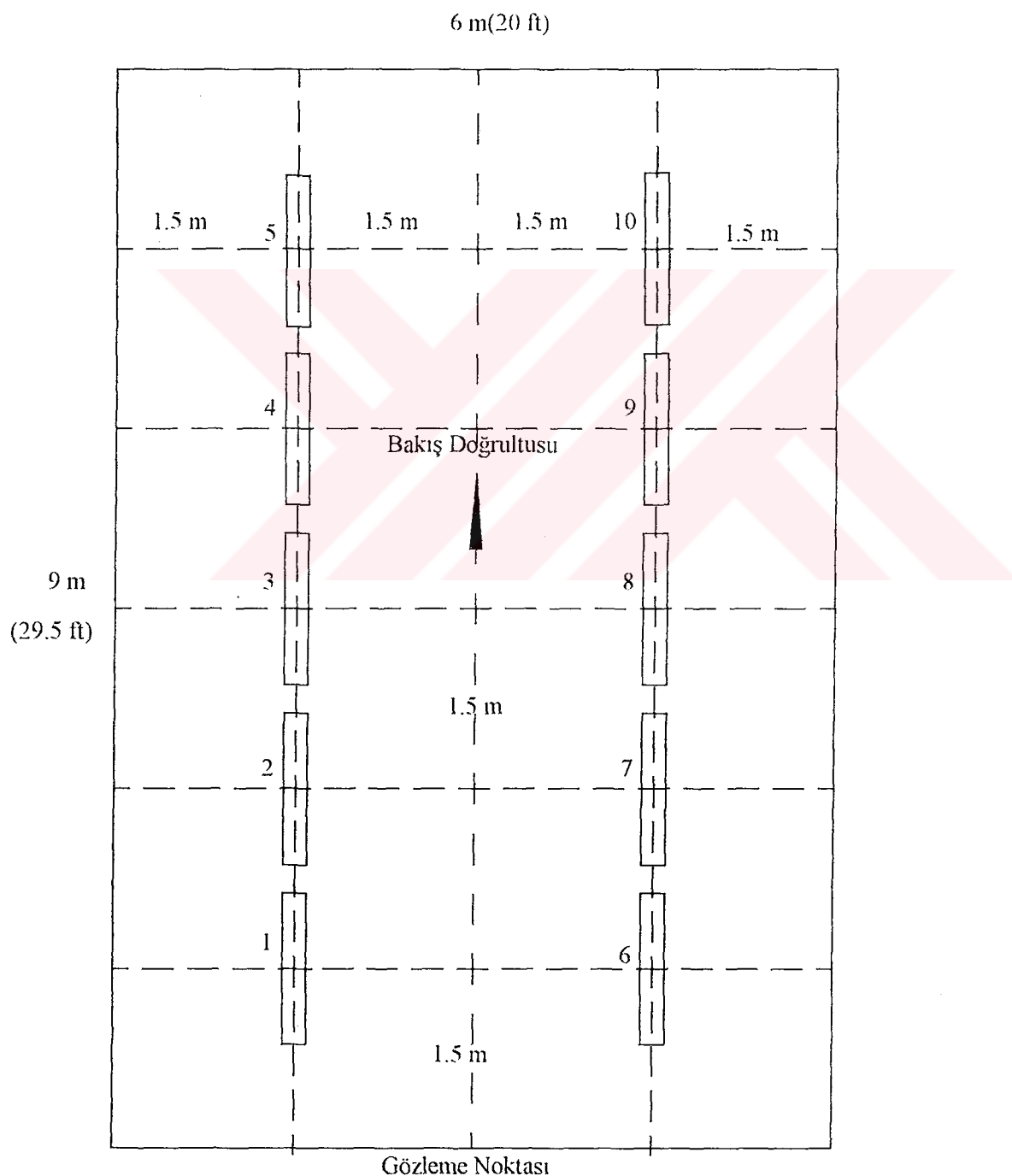
1. Kamaşma İndeksi yöntemi ile, yapılan varsayımlar uyarınca hazırlanan çizelgelerde (UGI), 19 değişik hacim boyutu ve iç yüzeylerin 5 ayrı ışık yansıtma çarpanı için, kamaşma değerleri bulunurken; VCP yöntemi ile hazırlanan çizelgelerde, 24 değişik oda boyutu, 4 ayrı aygit yüksekliği ve iç yüzeylerin belli ışık yansıtma çarpanı için, kamaşma değerleri bulunur.
2. UGI çizelgelerinde, aygitların yerleşimi için sabit belli sıralar kullanılırken, VCP çizelgelerinin hazırlanmasında, daha esneklik sağlayan, bölüm 4.2.1.2'de anlatılan, 5x5 ft'lik standard yerleşim düzeni kullanılır.
3. VCP çizelgelerinde, yatay düzlemdeki aydınlichkeit düzeyi için 100 fc (1000) gibi bir sınırlama getirilirken, UGI çizelgelerinde, bu tür sınırlama yoktur. Ancak yerleşim ile ilgili varsayımdan ötürü, istenen herhangi bir aydınlichkeit düzeyi değeri için, kamaşma indeksi değerinin çizelgeden bulunması olanaklı değildir.
4. Her iki çizelgenin oluşturulmasında, gözleme noktası belli bir yere konumlandırılmış ve bakış doğrultusu belirlenmiştir.

Ortamda oluşan kamaşmanın değerlendirilmesi için geliştirilen ve kamaşmanın oluşumuna bağlı olarak, temelleri aynı olan kamaşma indeksi ve görsel konfor olasılığı yöntemi, dünyanın ayrı yerlerinde, uygulayıcılar ve aydınlatma aygıtı üreten firmalar tarafından kullanılır. Aygit üreten firmalar, sözkonusu yöntemler uyarınca, aygitlar için oluşturdukları çizelgeleri, aygitin ışıkölçümsever verileri ile birlikte, ürün katologunda yayınlarlar.

Yukarıda da belirtildiği gibi, bu çizelgelerin kullanılması bir çok koşula bağlıdır. Bundan ötürü, uygulayıcı tarafından, herhangi bir ortamda, sözkonusu aygit ile oluşturulan aydınlatma düzeninin oluşturacağı kamaşma değerinin, sözkonusu çizelgelerden tam olarak bulunabilmesi olanaklı olmayabilir. Ancak, bu çizelgelerin temel amacı, uygulayıcıya, kullanmak üzere olduğu aygit ile ilgili genel bir bilgi vermek ve aygitlar arasında seçim yapma olanağı sağlamaktır.

**CIBSE Kamaşma İndeksi ve Görsel Konfor Olasığı Yöntemleri ile Aynı Ortam İçin
Konforsuzluk Kamaşmasının Hesaplanıp Karşılaştırılmasına Bir Örnek**

Koşulları aşağıda, planı şekil 4.20'de verilen ortamada, kurulan aydınlatma düzeninin neden olacağı kamaşma değerinin, CIBSE Kamaşma İndeksi ve Görsel Konfor Olasılığı yöntemleri ile hesaplanarak, sonuçların değerlendirilmesi ve karşılaştırılması



Şekil 4.20

Planı şekil 4.20'de verilen odanın ve aydınlatma düzeninin koşulları aşağıdaki gibi belirlenmiştir.

- Oda boyutları $6 \times 9 \text{ m}$ ($20 \times 29.5 \text{ ft}$)
- Oda yüzeylerinin Yansıtma Çarpanları $r_{\text{tavan}} = 70$
 $r_{\text{duvar}} = 50$
 $r_{\text{döşeme}} = 20$
- Oda yüksekliği $H = 4.2 \text{ m}$
- Çalışma düzleminin yerden yüksekliği $h = 1.2 \text{ m}$
- Çalışma düzleminde sağlanmak istenen aydınlatık düzeyi $E = 750 \text{ lm/m}^2$
- Seçilen Aygit Zumtobel KOP (2/36)
Opal yayıcılı.
floürişil lambalı
siva üstü aydınlatma
aygıtı (Bkz şekil 4.8)
- Kullanılan Lamba 36 W Floürişil (2750lm)
- Aydınlatma düzeninde kullanılan aygit adedi 10 (20 adet lamba)
- Aygitların bakış doğrultusuna göre yerleşimi Paralel

Koşulları yukarıda verilen aydınlatma düzeninin söz konusu gözleme noktası ve bakış doğrultusu için neden olabileceği kamaşma. bölüm 4.1 de anlatılan *CIBSE kamaşma indeksi* yöntemi uyarınca hesaplandığında, kamaşma indeksi(GI).

GI= 16.55 olarak bulunmuştur.

Hesaplanan kamaşma indeksi değerine göre, ortamda oluşan konforsuzluk kamaşması. çizelge 4.4 uyarınca değerlendirildiğinde, söz konusu ortamda, verilen konum ve bakış doğrultusu için, söz konusu aygit ile kurulan aydınlatma düzeninin neden olduğu kamaşma, ancak kabul edilebilir sınırlar içindedir. Yani ortamda, KOP (2/36) kodlu aygit, verilen ortam ve koşullarda, görsel konforu ancak sağlamaktadır. Sonuç olarak, ortamda aydınlatma düzeninden ve ortam koşullarından ötürü oluşan konforsuzluk kamaşması, ortamda bulunan kişilerin görsel konforu bakımından, rahatsız edici olmamakla beraber bu sınıra yakındır.

Aynı ortamın ve aydınlatma düzenin neden olacağı kamaşma, bölüm 4.2 de anlatılan görsel konfor olasılığı yöntemi uyarınca hesaplandığında, görsel konfor olasılığı (VCP).

VCP = 64 olarak bulunmuştur.

Sözkonusu ortamda, sözkonusu aydınlatma düzeninin, belirlenen gözleme noktası ve bakış doğrultusu için neden olduğu konforsuzluk kamaşmasının, görsel konfor olasılığı, bölüm 4.2.1.1'de verilen %70 değerinin altında kalmıştır. Hesaplanan görsel konfor olasılığı değerine göre, ortamda görsel konforun sağlanması olasılığı %64'dür. Yani, söz konusu ortam ve koşullarda bulunan 100 gözlemciden, 64'ü konforsuzluk kamaşmasından rahatsız olmazken, % 36'sı söz konusu ortamda, konforsuzluk kamaşması, bakımından rahatsızdır. Yani, ortamda oluşan konforsuzluk kamaşmasının görsel konfor bakımından rahatsızlık yaratma olasılığı % 36 dır.

Bu değere göre, ortamda sözkonusu aydınlatma düzenin neden olacağı konforsuzluk kamaşması, rahatsızlık verme ile vermeme sınırı arasında olarak değerlendirilebilir.

Sonuç olarak, iki ayrı yöntemle, aynı ortamda, aynı aydınlatma düzeninin oluşturacağı konforsuzluk kamaşması hesaplandığında, değerlendirmeler birbirine yakın çıkmaktadır.

Bölüm 4.1 ve 4.2'de ayrıntılı olarak anlatılan *CIBSE kamaşma indeksi ile görsel konfor olasılığı* yöntemlerinde, hesap biçimleri ve izlenen yol birbirinden ayrı olmasına karşın, sonuçlarda, yöntemlerde olduğu kadar ayrılık yoktur. Bunun nedeni ise, iki yöntemin de yapay ışık kaynaklarından ötürü oluşan kamaşmaya, aynı şekilde yaklaşmaları ve temellerini bu yaklaşımı göre oluşturmasıdır. Buradan da anlaşılabileceği gibi, izlenen hesap yöntemi ne kadar ayrı olursa olsun sonuçların birbirine yakın çıkacağı açıklıdır.

5 KONFORSUZLUK KAMAŞMASININ DENETİMİ

Konforsuzluk kamaşmasının en önemli nedeni, bölüm 3.1.1 de anlatıldığı gibi, bir ortamda, ışıklılıkların düzgün olmayan dağılışıdır. Özellikle, görme alanı içinde olan birbirinden çok ayrı ışıklılık düzeyleri görsel konforu oldukça bozar. Buradan da anlaşılabileceği gibi, özellikle, ortamda bulunan ışık kaynaklarının, ışıklılıkları, denetlendiği sürece, bu ortamda bulunan kişilerin, kamaşmadan rahatsız olmaları önlenir.

Ancak, konforsuzluk kamaşmasının niceliği, ortamda bulunan kaynakların ışıklılıklarına bağlı olduğu kadar, ortamda yapılan işlevin niteliğine de bağlıdır. Yapılan işlevlerin gerektirdiği görsel konsantrasyonun niceliği arttıkça, ortamdaki uygun olmayan ışıklılık dağılımlarının neden olduğu kamaşmanın niceliği de artar. Ancak, ortamdaki işlevi gerçekleştiren kişilerin devinimi arttıkça, aynı ışıklılık düzeninin neden olacağı kamaşma daha azdır. Buradan da anlaşılabileceği gibi, bir ortamda bulunan ışık kaynaklarının ışıklılık denetimi, o ortamda yapılan işlevin niteliğine göre, değişim gösterir.

Yapılan çalışmalar sonucunda, ortamda yapılan işeve göre, ışık kaynaklarının ışıklılıklarında sağlanması gerken denetim, 5 ayrı grup içinde toplanmıştır (Bkz. çizelge 5.1) (CIE Guide on Interior Lighting, 1986)

Çizelge 5.1

Işık kaynaklarının ışıklılıklarında sağlanması gerken denetim düzeyi	Yapılan işlevin niteliği
1	Çok fazla görsel dikkat gerektiren işlevler
2	Görsel dikkatin önemli olduğu işlevler
3	Görsel dikkatin önemli olduğu ve kişilerin belli oranda devinimini gerektirenlere de katır çok gerekli olmadığı ve kişilerin devinimini gerektirmediğinde işlevler
4	Kıksızlaşdırılmış işlevler
5	Kıksızlaşdırılmış işlevler

Sonuç olarak bir aydınlatma düzeneinde yapılacak konsorsuzluk kamaşması denetiminin önemi o ortamın ne amaçla kullanıldığına bağlıdır. Yapılan işlevin gerektirdiği iyi görme koşulları arttıkça, alınması gereken önlemler hem artar, hem de önem kazanır.

Genel olarak, konsorsuzluk kamaşmasının denetimi için bir ortamda karşılıklar arasında sağlanması gereken oranlar bölüm 3.4 de verildiği gibi olmalıdır. Ancak bu oranların sağlanması her zaman yeterli olmadığı gibi, kamaşmanın oluş biçimine göre de ayrılıklar gösterir. Bundan dolayı bu kamaşmanın denetimi.

- 1) Dolaysız kamaşmanın denetimi
 - 2) Yansımaya kamaşmanın denetimi
- olmak üzere 2 ayrı başlık altında incelenmiştir.

5.1 Dolaysız Konforsuzluk Kamaşmasının Denetimi

Ortamda bulunan yapay ışık kaynaklarının neden olduğu konforsuzluk kamaşmasının niceliği, kamaşmaya neden olan ışık kaynağının konumuna, ışıklılığına, görünen büyülüüğünne, ve ortamın genel ışıklılığına bağlıdır. Konforsuzluk kamaşmasını, kaynağın ışıklılığı ve görünen büyülüüğü doğru orantılı, arkaplan ışıklılığı ve kaynak ile bakis doğrultusu arasındaki açı ters orantılı olarak etkiler. Yani kaynağın ışıklılığı ve boyutları büyükçe kamaşmanın niceliği artarken, açı ve arkaplan ışıklılığı arttıkça kamaşmanın niceliği azalır.

Buradan yola çıkarak dolaysız konforsuzluk kamaşmasının denetim ilkeleri, aşağıdaki gibi belirlenebilir:

- 1) Kaynak ışıklılığının denetimi
- 2) Ortamın genel ışıklılığının artırılması
- 3) Kaynağın bakis doğrultusundan uzaklaştırılması

1) Kaynak ışıklılığının denetimi

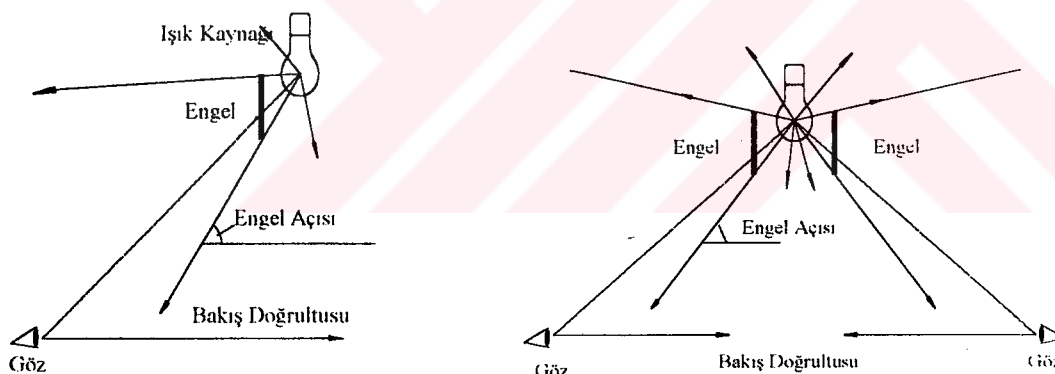
Dolaysız kamaşmanın denetiminde, kaynağın ışık yoğunlığının, bununla beraber ışıklılığının azaltılması alınabilecek en etkili önlemlerden biridir. Ancak bir ortamda yapılan işlevde göre, belli bir aydınlatım düzeyinin sağlanması gerekiğinden, ışık kaynaklarının ışıklılığını azaltmak, genellikle olanaklı değildir. Bunun yerine kaynağın ışıklılığı denetlenerek, kaynağın ışıklılıklı alanının görme alanının içine girmesi önlenebilir.

Işık kaynaklarının ışıklılıklarının denetimi aşağıdaki yöntemlerle sağlanabilir.

- a) Engelleme ile denetim (shielding)
- b) Yönlendirme ile denetim (Deflection)
- c) Geçirgenlik ile denetim (Translucence)
- d) Dolaylı aydınlatma ile denetim (indirect lighting)

a) Engelleme ile denetim; ışık kaynağı ile göz arasında saydam olmayan bir elemenin konulması ile kaynağın ışıklı alanının, görme alanı sınırları dışında kalmasını sağlamaktır.

Işık kaynaklarını gözden gizleyerek, görme alanının dışında bırakmak için, en çok uygulanan yöntem, onları ışık geçirmeyen yani, saydamsız bir elemenla beraber kullanmaktadır. Kullanılan elemen bir aydınlatma aygıtının parçası olabileceği gibi, mimari yapının da bir parçası olabilir. Uygulamada kullanılan aydınlatma aygıtlarının çoğu bu amaca yönelikdir. 5.1 nolu şekilde, engelleme ile denetim için uygulanan yöntemler gösterilmiştir.

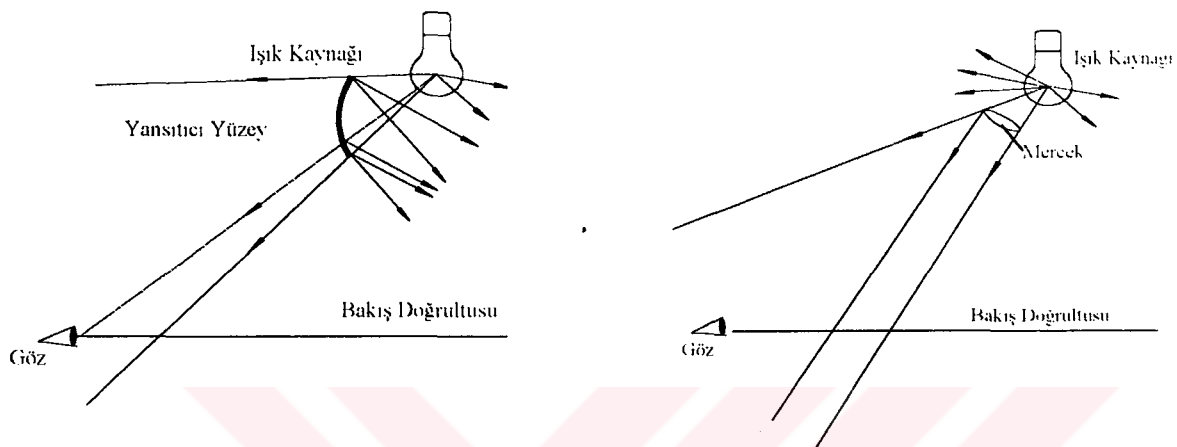


Şekil 5.1

a) Engelleme ile denetimin etkili olduğu bölge, engel açısıyla (shielding angle) belirlenir. Bu açı, bakış doğrultusuna paralel bir düzleme ile, kaynak merkezi ile engelin üç nöktasını birleştiren doğru arasında kalan açıdır. Bu açının büyüklüğü, söz konusu ışık kaynağının göre, ortamda, sağlanan kamaşmadan bağımsız bölgenin sınırlarını belirler ve açı büyüdükçe bölgenin alanı da büyür.

b) Yönlendirme ile denetim ; kaynaktan çıkan ışık akısının doğrultusunun değiştirilmesinde amaç, engelleme ile denetimde olduğu gibi ışık kaynağının görme alanının dışında kalmasını

sağlamaktır. Bu denetim biçiminde, ayna veya mercek gibi, gelen ışığın doğrultusunu değiştiren güçler, kaynak ile göz arasına yerleştirilir. Özellikle, ışığın yansıtıcılarla yönlendirilmesi ve göze gelmesinin önlenmesi, engelleme ve yönlendirme ile denetimin beraber uygulanmasıdır.(Bkz. Şekil 5.2)



Şekil 5.2

Burada engelleme ile denetimden ayrılan nokta, ışığın doğrultusunun denetlenmesi ve istenen yöne yoğunlaşarak gitmesini sağlamaktır. Aydınlatma düzenlerinde sıkça kullanılan bu yöntem, geriverim ve ışıklılıklarının düzenlenmesi açısından en iyi sonucu verir.

c) Geçirgenlik ile denetimde : amaç ışığın yönünü değiştirmeden, kaynak yüzeyini artırarak ışıklılığının düşmesini sağlamaktır. Işık kaynağı ile kullanılacak olan izotrop yayımık geçme yapan bir gereç, kaynaktan yayılanan ışığın nicelikinde fazla bir değişim yapmadan geçmesine izin verir. Ancak, kaynağın yüzeyi büyüdüğünden, ışıklılığı düşer ve bu da kamaşmanın etkilerini azaltır.

Lambaları, yayımık geçme yapan, globolların, silindirlerin veya değişik biçimdeki elemanlarla beraber kullanmak, ışıklılık denetiminin yüksek olması gereken ortamlarda yeterli olmaz. Bundan ötürü, ışık kaynaklarının ışıklılıklarının bu şekilde denetimi, genellikle pek iyi sonuç vermez.

d) Dolaylı aydınlatma ile denetim : Bir ortamda dolaylı aydınlatma yapıldığında, lamba ortamındaki her noktaya göre gözden saklanmış olduğundan, ışık kaynağı kamaşma kaynağı

olmaktan çıkar. Ancak bu kez de, ışığın dolaylı olarak geldiği yüzeyler, kamaşma kaynağı durumuna gelebileceği unutulmamalı ve buna göre önlem alınmalıdır.

Sonuç olarak bir ortamda, aydınlatma düzeni kurarken, ışık kaynaklarının kesinlikle gözden gizlenmesi ve görme alanından olabildiğince uzaklaştırılması gereklidir.

2) Ortamın genel ışıklılığının artırılması

Ortamın genel ışıklılığının artırılması ile ışık kaynağının ışıklılığı, genel oranların içinde kalacağından, neden olacağı kamaşmanın etkileri de azalır. Ortamın genel ışıklılığının artırılması ise iki şekilde gerçekleştirilebilir.

- 1) Ortam iç yüzeylerin yansıtma çarpanını yüksek tutularak ve/veya
- 2) Gözden gizlenmiş ek ışık kaynakları kullanarak ortamın genel ışıklılığı artırılır.

Buradan da anlaşılabileceği gibi bir mekanın, duvarlar tavan döşeme gibi iç yüzeylerinde düşük değerli renklerin kullanılmasından kaçınılmalıdır. Ayrıca, tefriş için seçilen mobilyaların renklerinin de, düşük değerli olmamasında yarar vardır. ışık kaynaklarının doğrultusunun, ortamda bulunan yansıtma çarpanlarının yüksek yüzeylere çevrilmesiyle ortamındaki genel ışıklılık düzeyi artar.

Bununla beraber uygulanabilecek diğer yöntem ise, gözden tamamen gizlenmiş, ışıklılığı yüksek ek ışık kaynaklarının ortamın genel aydınlatık düzeyini dolayısı ile ışıklılığını artırması için kullanılmasıdır.

3) ışık kaynaklarının bakış doğrultusundan uzaklaştırılması:

ışık kaynağı, bakış doğrultusuna yaklaştıkça, görme alanın içine girdiğinden kamaşmanın niceliğinin de artacağı açıklıdır. Bundan ötürü, kamaşma kaynağının bakış doğrultusundan olabildiğince uzaklaştırılması gerekmektedir.

Bunun için mekanda, aşağıya doğru sarkıtılan ışık kaynaklarının kullanımından kaçınılmalıdır.

5.2 Yansımaya Konforsuzluk Kamaşmasının Denetimi

Bölüm 3.1.3 de de anlatıldığı gibi, yüksek ışıklı yansımalar olan maskeleme yansımaları, yansımıaya konforsuzluk kamaşmasının en önemli nedenidir. Bakılan nesnenin karşıslığını düşüren ve eylemin gerçekleşmesini güçlendiren bu yansımaların niceliği, kişi kaynak ve nesnenin biribiriyile olan konumuna, bakılan nesnenin yüzey özelliklerine, ve kaynağın ışıklılığına doğrudan bağlıdır. Buradan yola çıkarak, yansımıya konforsuzluk kamaşmasının denetim ilkeleri:

- a) Kişi, ışık kaynağı, nesne üçüsünün konumunun ayarlanması**
- b) Kaynak ışıklılıklarının denetimi**
- c) Bakılan nesnenin yüzey özelliklerinin denetimi**

olarak sıralanabilir:

a) Kişi, ışık kaynağı, nesne üçüsünün konumunun ayarlanması

Yansımıya kamaşmanın temelini, kaynaktan gelen ışığın, parlak bir yüzeyden yansıyarak göze gelmesi oluşturduğundan, bunların uygun biçimde düzenlenmesi ile ışığın başka bir doğrultuya yansımıası sağlanır. Yani, kaynağı kusurlu bölgenin dışına çıkarmakla, yansımıya kamaşmaya karşı en etkin denetimlerden biri uygulanmış olur. Ancak, bu yöntem genellikle tek bir kaynak sözkonusu olduğunda ve kişinin konumunun kaynağa göre ayarlanabildiği durumlarda etkilidir.

b) Kaynak ışıklılıklarının denetimi

Yansımıya kamaşmanın etkileri kaynak ışıklılığı ile doğru orantılı olduğundan kaynak ışıklılığının denetlenmesi ile kamaşmanın etkileri azaltılabilir. Kaynak ışıklılığının denetimi ile ilgili ilkeler bölüm 5.1 de anlatılmıştır.

c) Yapılan işlevin niteliklerinin değiştirilmesi

Bu yöntemle kamaşmanın denetimi, genellikle aydınlatma düzenini yapan kişinin dışında kalmasına karşın, aydınlatma düzenin denetime göre ayarlanması kadar etkili bir yöntemdir. Ayrıca, yapılan işlevin nitelikinde yapılacak bir kaç küçük değişiklik aydınlatma düzeninde yapılacak ayarlamalara göre hem daha kolay hemde daha ucuzdur.

işlev niteliklerinin değiştirilmesi ile ilgili yapılabilecek birkaç düzenleme aşağıda verilmiştir:

- 1) Çalışma düzlemini ve görme alanına giren alanlarda parlak malzemenin kullanılmından kaçınılmalıdır.
- 2) Özellikle ofis işlerinde kullanılan kağıt kalem gibi, malzemelerin mat olmasına dikkat edilmelidir.
- 3) Çalışma düzenin ayarlanabilmesi ile kişinin bakış doğrultusu ve konumunun değişebilir olması, maskeleme yansımalarından sakınabilmek için etkili bir yöntemdir

6 SONUÇ

İnsan gözü, birbirinden çok değişik ışıklılık düzeylerine uyma yetisine sahiptir. Ancak bu uyma işlemi, hem görme organında bir hareket, hem de belli bir süre gerektirir. Işıklıkların sürekli değiştiği durumlarda ise, görme organı, değişen ışıklılıklara uyma yapabilmek için sürekli çalışmak zorunda kalır. Görme organının sürekli olarak hareket etmesi ise, zaman içinde, kişide yorgunluğa ya da görsel algılamanada bir azalmaya neden olur.

Karşılıklardan ötürü, gözün yapısına ve işleyişine bağlı olarak, oluşan ve görsel algılamanın zorlaşmasına neden olan kamaşma, kişide yarattığı duyulanmalara göre değişik isimler alır.

Karşılıkların belli oranları biraz geçmesi, kullanıcıkta görsel algılamayı bozmazken, bu oranların çok aşılması durumunda, görsel algılama olanaksız hale gelebilir. Kişiye rahatsızlık ve yorgunluk gibi, duyulanmalar yaratan kamaşma, konforsuzluk kamaşması olarak tanımlanırken, görsel algılamayı olanaksız hale getiren kamaşma, yetersizlik kamaşması olarak adlandırılır. Aslında, yetersizlik kamaşması, konforsuzluk kamaşmasının ileri durumu olarak da nitelendirilebilir.

Kapalı ortamlarda, yetersizlik kamaşması, ender olarak oluşurken, konforsuzluk kamaşması sık karşılaşılan bir olgudur, ve özellikle, yapılan işlev açısından dikkatin önemli olduğu ortamlarda, denetimi şarttır. Sözkonusu ortamda, konforsuzluk kamaşmasının denetlenebilmesi için, önce ortamda yapay ışık kaynaklarından ötürü oluşan, ya da oluşacak konforsuzluk kamaşmasının sayısal olarak ölçülebilmesi gereklidir.

Bu amaçla, çalışmanın 1., 2. ve 3. bölümlerinde, görsel konfor ölçütlerinden biri olan kamaşma olgusunun nedenleri ve türleri incelenmiş ve kamaşmanın değerlendirilmesinde yaygın olarak kullanılan iki yöntem olan *kamaşma indeksi (GI)* ve *görsel konfor olasığı (VCP)* yöntemlerinin hesap ve kullanılma biçimleri, çalışmanın 4.1 ve 4.2 nolu bölümlerde, ayrıntılı olarak ele alınmıştır.

İncelenen yöntemlerin temelini oluşturan formüller, birbirlerine benzemekle beraber, hesap biçimini açısından, birbirlerinden ayırmalar gösteren olan bu yöntemler, ortamda, söz konusu aydınlatma düzeninin, oluşturacağı kamaşmanın, neden olacağı duyulanmayı değerlendirmeye yönelikir.

CIBSE Kamaşma indeksi yöntemi, ortamda oluşabilecek kamaşma değerini sayısal olarak hesapladığı gibi, neden olacağı duyulanmayı da, çizelgeler aracılığı ile değerlendirir. Görsel konfor olasılığı (VCP) yöntemi ise, ortamda oluşan, kamaşma oranını (DGR) hesaplayarak, sözkonusu ortamda, sözkonusu aydınlatma düzeninin, sağlayacağı görsel konfor değerini yüzde olarak bulur. Kamaşmayı değerlendirmeye biçimleri ayrı olan iki yönteme de, kullanım ve hesap kolaylığı getirmek için, belli koşullardaki ortamların kamaşma ya da görsel konfor olasılığı değerlerini kapsayan çizelgelerin hazırlanması olanaklı kılınmıştır.

Belli bir aygit için hazırlanan bu çizelgeler ile, kullanıcılarla, aygit ile ilgili kamaşma durumunun verilmesi amaçlanmıştır. Kullanıcı bu çizelgelerden, sözkonusu aygitin belli koşullardaki ortamlarda neden olduğu kamaşma değerini bulabileceği gibi, benzer ortamlarda oluşturabileceği kamaşma ile ilgili bir fikir de edinir.

Bir ortamda, sözkonusu aydınlatma düzeninin oluşturacağı kamaşma, yukarıdaki yöntemler uyarınca hesaplanıp, neden olacağı duyulanma değerlendirildikten sonra, kamaşmanın önlenmesi için gereken denetim ilkeleri belirlenir. Bu nedenle, çalışmanın 5. bölümünde, denetim ilkeleri ele alınmıştır.

Kişilerin, eylemlerini, iyi görme koşullarında gerçekleştirmeleri ile, yaptıkları işin niceliği ve niteliği artacağı gibi, fiziksel ve ruhsal sağlıklarını korunur. Bundan ötürü, bir ortamda, yapay ışık kaynaklarının oluşturacağı kamaşma değerinin bilinmesi, ve gereken önlemlerin, kamaşmanın oluş biçimine bağlı olarak alınması gereklidir.

KAYNAKLAR

- 1- CIE. 1986. Guide on Interior Lighting Second Edition. Publication CIE. Vienna: 18-33
- 2- Flynn J.E., Mills M.S.. 1983. Architectural Lighting Graphics. Reinhold Publishing Co.. New York: 57-64
- 3- Hopkinson R.G., 1963. Architectural Physics Lighting. Her Majesty's Stationery Office. London: 96-108.
- 4- Hopkinson R.G., Petherbridge P., Longmore J.. 1980. Daylighting . Heinemann. London: 301- 330.
- 5- IES. 1984. IES Lighting Handbook Reference Volume. IES of North America. New York: 9.46- 9.49
- 6- Kaufman J.E.. 1984. IES Lighting Handbook Reference Volume. IES of North America. New York: 3.9- 3.27.
- 7- Küçükdoğu M.Ş.. 1976. İklimsel Konfor ve Aydınlatma Seviyesine Bağlı Olarak Konsor Gereksinimleri Açısından. Pencerelerin Tasarlanması Kullanılabilceek bir Yöntem. İ.T.Ü. Mimarlık Fakültesi Baskı Atölyesi. İstanbul: 25-27
- 8- Küçükdoğu M.Ş.. Berköz E.. 1977. ITU Mimarlık Fakültesi FÇK Kürsüsü Ders Notları. İ.T.Ü. Mimarlık Fakültesi Baskı Atölyesi. İstanbul:24-34
- 9- Moore F.. 1985. Concepts and Practice of Architectural Daylighting. Van Nostrand Reinhold. New York: 24-29.
- 10- Robbins C.L.. 1986. Daylighting Design and Analysis. Van Nostrand Reinhold Co.. New York: 235-244
- 11- Sirel Ş.. 1974. Konutlarda sun'i Aydınlatma. İstanbul :17-81
- 12- Stein B.. Reynolds J.S.. McGuiness W.J.. 1986. Mechanical and Electrical Equipment for Buildings. Seventh Edition. John Wiley & Sons. New York: 880-910
- 13- The Chartered Institution of Building Services. 1984. Code for International Lighting. CIBS. London: 18-20, 130-137.
- 14- The Chartered Institution of Building Services. 1985. Technical Memorandum. CIBSE. London: 3-19
- 15- Ünver R.. 1985. Yapıların İçinde Işık Renk İlişkisi. Yıldız Üniversitesi Matbaası. İstanbul :6-19
- 16- Ünver R.. 1990. Parılılı ve Işıklılık Terimlerinde Tarihsel Gelişme ve Bugünkü Tanımlar. Yıldız Üniversitesi Matbaası. İstanbul :2-9
- 17- Sirel Ş.. 1973. Aydınlatma Terimleri Sözlüğü. Türk Dil Kurumu Yayınları. Ankara
- 18- Kaufman J.E..Christensen J.E.. 1985. IES Lighting Ready Reference. Illuminating Engineering Society. New York.
- 19- Sirel Ş.. 1974. Aydınlatma Terimleri. Üçüncü basım. Yıldız Üniversitesi Yayınları. İstanbul.
- 20- Şerefhanoglu M.. 1972. Konutlarda Aydınlatma. Karaca Ofset Basımevi. İstanbul.

- 21- Arredamento- Dekorasyon, 1994, Dosya: Aydınlatmayı Aydınlatma, İstanbul.
- 22- Subcommitee on Direct Glare, 1973, RQQ Report No:2 Outline of a standard Procedure for Computing Visual Comfort Ratings for Interior Lighting, Journal of IES, New York: 328- 344.
- 23- McGowan T.K., Sylvester K.G., 1969, Extending and Applying the IES Visual Rating Procedure, IES Transactions, New York: 253- 259.
- 24- Subcommitee on Direct Glare, 1966, Visual Comfort Ratings for Interior Lighting, IES Transactions, New York: 643- 666.
- 25- Fischer D., 1983, Contrast Rendering in Office Tasks, International Lighting Review vol.34, Eindhoven: 9-13.
- 26- Glenn A.F., 1976, A Simplified Formula for Discomfort Glare, Journal of IES, October, New York: 10-20
- 27- Luckiesh M., Guth S.K., 1949, Brightnesses in Visual Field Borderline Between Comfort and Discomfort, Journal of IES, November, New York: 650-670.
- 28- Jack M., Glenn A.F., 1956, Relation of Changes in Pupil Size to Visual Discomfort, Journal of IES, July, New York: 537- 549.
- 29- IES Technical Report No.4, July 1972, IES, New York: 5-7.

ÖZGEÇMİŞ

Esra KILIÇ

1969 da Niğde'de doğdu. 1981 yılında Mersin Çankaya İlkokulunu bitirdikten sonra 1981-1987 yılları arasında, İçel Anadolu Lisesinde lise öğrenimini tamamladı. 1987-1991 yılları arasında Yıldız Teknik Üniversitesi Mimarlık Fakültesi Mimarlık Bölümünde lisans eğitimini tamamladı. Aynı yıl Yıldız Üniversitesi, Yapı Fiziği Anabilim Dalında yüksek lisans programına katıldı.

